



Escuela Superior Politécnica del Litoral

FACULTAD DE INGENIERIA MECANICA

"Diseño del sistema de Aire Acondicionado Central y del Sistema de Agua Caliente usando el calor rechazado en los condensadores de los enfriadores de agua para un Hospital de la ciudad de Guayaquil"

TESIS DE GRADO

Previa a la obtención del Título de INGENIERO MECANICO

Presentada por:

Francisco Javier Romay Novas

Guayaquil - Ecuador

1985

AGRADECIMIENTO

Al Ing. Eduardo Donoso Pérez, Director de Tesis, por su entusiasta colaboración y acertada dirección para la realización de este trabajo.

A mis padres y hermanos, quienes me dieron un ejemplo de responsabil<u>i</u> dad y seriedad para enfrentar la vida.

DEDICATORIA

A MIS PADRES

A MIS HERMANOS

A MI NOVIA

Guardo Oris

ING. EDUARDO ORCES P.
DECANO DE LA FACULTAD

DE ING. MECANICA

ING. EDUARDO DONOSO PEREZ DIRECTOR DE TESIS

ING. RAUL LASCANO H.

ING. ANGEL VARGAS Z.

DECLARACION EXPRESA

"La responsabilidad por los hechos, ideas y doctrinas expuestos en esta tesis, me corres ponden exclusivamente; y, el patrimonio intelectual de la misma, a la ESCUELA SUPERIOR POLITECNICA DEL LITORAL".

(Reglamento de Exámenes y Títulos Profesiona les de la ESPOL).

Francisco Javier Romay Novas

RESUMEN

El presente trabajo nos introduce en la Conservación Energética aplicada a sistemas de aire acondicionado central y de equipos de frío en general.

Todo equipo de frío rechaza calor a la atmósfera, energía que es des perdiciada al disiparse en el ambiente. Esta tesis pretende estudiar la posibilidad de aprovechar el calor rechazado de un sistema de aire acondicionado central y convertirlo en calor útil, por medio de una bomba de calor industrial.

Con el objeto de hacer una aplicación local a este estudio, se ha to mado como caso particular un hospital, en donde el sistema de agua caliente funcionará con una bomba de calor industrial. Por lo tanto, esta tesis empieza desde el cálculo de la carga de aire acondicionado del hospital, luego se hace la selección de la central de enfriamiento; después se establecen los requerimientos de agua caliente, para así seleccionar el equipo recuperador de calor y también se hace un análisis ingenieril del sistema bomba de calor-central de enfriamiento. Finalmente, un estudio económico nos dirá si el sistema propuesto es rentable comparado con un sistema convencional de calentamiento de agua. Esta tesis incluye las especificaciones técnicas de todos los equipos seleccionados y termina con las conclusiones y

recomendaciones con respecto a este trabajo.

INDICE DE ABREVIATURAS

A Area

BHP Caballos de fuerza al freno

BTU Unidad térmica británica

Cp Calor específico a presión constante

CFM Pies cúbicos por minuto

cm Centimetro

COP Coeficiente de performance

D Densidad de personas

DDTE Diferencia de temperatura equivalente

F Iluminación

Fu Factor de uso

FcE Factor de carga de enfriamiento

FCS Factor de carga sensible FDGS Factor de Ganancia solar

FPS Pies por segundo

Gal galón americano (3.785 lts)

GPM Galones por minuto
II Cabezal de presión

h Coeficiente de película

HP Caballos de fuerza

hr Hora

Hz Hertz (frecuencia)

K Conductividad térmica

Kw Kilovatios

Lb Libra lt Litro

m metro

m Flujo másico

MBTU/H Miles de BTU por hora

Min. Minuto mm Milímetro

NP Número de personas

P Presión Pa Pascales

PSIG Libras por pulgada cuadrada manométricas psig Libras por pulgada cuadrada manométricas

pulg Pulgada

q, Q Ganancia de calor

qs, Qs Ganancia de calor sensible
ql, QL Ganancia de calor latente

R Resistencia térmica

r Radio

RPM Revoluciones por minuto

s Segundo

T, t Temperatura

TONS Toneladas de refrigeración

U Coeficiente de transferencia de Calor

V Velocidad W Vatios

Δ Incremento o diferencial

T Eficiencia
Pulgada

pprox Aproximadamente igual

INDICE GENERAL

	Pág.
TITULO	T.
AGRADECIMIENTO	II
DEDICATORIA	
RESPONSABILIDAD DEL DIRECTOR DE TESIS	III
DECLARACION EXPRESA	IV
RESUMEN	V
INDICE DE ABREVIATURAS	VI
INDICE GENERAL	VII
INDICE DE DIGUES	Х
TNDTOE DE Wartag	XIII
INTRODUCCION	XΛ
CAPITULO 1:	18
DESCRIPCION DEL SISTEMA Y SUS COMPONENTES	24
1.1 Sistema de Aire Acondicionado	24
1.1.1 Equipo de Refrigeración Central	24
1.1.2 Sistema de Circulación de Agua Helada	25
1.1.3 Sistema de Enfriamiento de Agua	26
1.1.4 Sistema de Manejo de Aire	26
1.2 Sistema de Agua Caliente	26
1.2.1 Bomba de Calor	27
1.2.2 Sistema de Circulación de Agua Caliente	28
1.2.3 Sistema de Circulación del Agua Usada como Fuente	
de Calor	28
CAPITULO 2:	
CALCULO DE CARGA DE ENFRIAMIENTO	30
2.1 Ganancia a través de Techos, Paredes y Ventanas	31
2.2 Carga por Personas	37
2.3 Carga por Luces	38
2.4 Ganancia a Través de Paredes Interiores y Tumbados	40

2.5	Carga	por Ventilación	41
2.6	Carga	por Equipos	44
2.7	Resul	tados de Carga de Enfriamiento Total por Zonas	47
CAP	ITULO	3:	
SEL	ECCION	DEL SISTEMA DE AIRE ACONDICIONADO A USARSE	53
3.1	Sister	ma	53
	3.1.1	Sistema de Aire Acondicionado	53
	3.1.2	Tipos de Enfriadores	55
	3.1.3	Características Generales de los Enfriadores de	
		Máquina Centrífuga	56
3.2	Reque	rimientos de Agua Helada	57
3.3	Selec	ción del Equipo Enfriador	58
	3.3.1	Principales Características de Diseño de los En-	
		friadores de Doble Compresor Centrífugo Marca	
		McQUAY (Tipo PF)	58
	3.3.2	Selección	63
CAPI	TULO 4	1:	
REQ	JERIMII	ENTOS DE AGUA CALIENTE	66
4.1	Genera	alidades sobre el Sistema de Agua Caliente en Hos	
	pitale	es	66
	4.1.1	Parámetros Generales para la Selección de Calenta	
		dores de Agua	66
	4.1.2	Estudio de la Demanda de Agua Caliente en Hospita	
		les	67
	4.1.3	Principios Generales para Diseñar Sistemas de A-	
		gua Caliente	75
4.2	Datos	sobre los Requerimientos de Agua Caliente por Zo	
	nas .		77
	4.2.1	Requerimientos de Temperatura	77
	4.2.2	Cálculo de la Demanda Total de Agua Caliente	78
CAP]	TULO 5	5:	
SELE	CCION	DEL EQUIPO RECUPERADOR DE CALOR	80
5.1	Genera	alidades sobre la Bomba de Calor Industrial	80
	5.1.1	Ciclo Termodinámico	80
	5.1.2	¿Cómo Funciona la Bomba de Calor Industrial?	83
	5.1.3	Aplicaciones	83

5.2 Selección de la Bomba de Calor "Templifier"	86
CAPITULO 6:	
DISEÑO COMPLETO DEL SISTEMA Y OBTENCION DE RESULTADOS EN BA	
SE A CRITERIOS DE OPERACION	98
6.1 Selección de la Torre de Enfriamiento	100
6.2 Selección de Bombas, Válvulas y Accesorios para el Sis-	
tema Total	104
6.2.1 Tuberías	104
6.2.2 Válvulas	108
6.2.3 Bombas	113
6.2.4 Aislamiento Térmico	119
6.2.5 Tanque de Agua Caliente	125
6.3 Obtención de Puntos de Operación	126
6.3.1 Enfriador de Agua	126
6.3.2 Torre de Enfriamiento	133
6.3.3 Bomba de Calor	133
CAPITULO 7:	(55
ANALISIS ECONOMICO DEL SISTEMA RECUPERADOR DE CALOR Y COMPA	
RACION CON UN SISTEMA CONVENCIONAL DE CALENTAMIENTO DE AGUA	138
7.1 Costo Inicial - Equipo e Instalación	139
7.1.1 Selección del Sistema Convencional	139
7.1.2 Costo Inicial	141
7.2 Costo Operacional	144
7.2.1 Energía y Combustibles	144
7.2.2 Mantenimiento	146
7.3 Análisis del Costo-Beneficio del Sistema Recuperador	140
de Calor	147
7.3.1 Datos para Hacer el Análisis Económico	
7.3.2 Parámetros Calculados en el Análisis Económico .	148
CONCLUSIONES Y RECOMENDACIONES	153
APENDICES	157
BIBLIOGRAFIA	164
	185

INDICE DE FIGURAS

No.		Pág.
2.1	Construcción del Techo	32
2.2	Construcción de Pared Especial	35
2.3	Típica Distribución de Aire en un Hospital	43
3.1	Performance Típica del Impulsor de un Compresor	59
3,2	Performance Típica del Impulsor de un Doble Compre-	
	sor	59
3.3	Operación de los Compresores	62
3.4	Enfriador de Agua Seleccionado	65
4.1	Perfiles de Demanda Horaria de Agua Caliente en Hos-	
	pitales	69
4.2	Tasa de Recuperación vs. Capacidad de Almacenamiento	
	para Hospitales	70
4.3	Curva Modificada de Hunter para Flujos de Agua Ca-	
4 4	liente (hasta 400 Aplicaciones)	73
4.4	Curva Modificada de Hunter para Flujos de Agua Ca- liente (hasta 3000 Aplicaciones)	_
5.1		73
	Performance de una Bomba de Calor Industrial	82
5.2	Funcionamiento de una Bomba de Calor Industrial	84
5.3	Capacidad de Calentamiento y Enfriamiento de la TPB-	
	020A	88
5.4	Coeficiente de Performance de la TPB-020A	89
5.5	Potencia de Entrada a la TPB-020A	89
5.6	Capacidad de Calentamiento de la TPB-020A	92
5.7	Caída de Presión en el Condensador (Arreglo Estan-	
	dar)	9.4

No.		Pág.
5.8	Multiplicador para la Caída de Presión	95
5.9	Caída de Presión en el Evaporador	95
5.10	Bomba de Calor Seleccionada	97
6.1	Diagrama Esquemático de Acople de Sistemas	99
6.2	Pérdidas por Fricción para Agua en Tubería Comercial de Acero (Cédula 40)	107
6.3	Principales Tipos de Válvulas	111
6.4	Diagrama Esquemático de Tubería Aislada	123
6.5	Diagrama Esquemático del Sistema de Agua Caliente .	127
6.6	Diagrama Esquemático del Sistema de Enfriamiento de	
	Agua	128
6.7	Ubicación de Equipos en la Sala de Máquinas	129
6.8	Puntos de Operación de la Bomba de Calor a 3 Tempera	
	turas de la Fuente de Calor	136
8.1	Eficiencia del Sistema Recuperador de Calor	159
8.2	Eficiencia del Sistema Convencional	159

INDICE DE TABLAS

No.		Pág.
2.1	Coeficientes de Transferencia de Calor para Divisio-	
	nes Interiores	41
2.2	Ganancia de Calor de Equipos Médicos	46
2.3	Carga por Zonas en Planta Baja	48
2.4	Carga por Zonas en el Primer Piso (Central de Esteri	
	lización y Quirófanos	50
2.5	Carga por Zonas en 1ero., 2do., 3ero. y 4to. piso (Mospitalización)	51
2.6		
	Carga por Zonas en el 5to. piso	52
3.1	Alternativas de Enfriadores de Agua (Doble Com-	
	presor)	64
4.1	Demandas de Agua Caliente para Varios Tipos de Edif <u>i</u>	
	cios	72
4.2	Demanda de Agua Caliente en F.U. (Fixture Units)	74
6.1	Factores de Capacidad para enfriadores Evaporati-	
	vos Evapco	103
6,2	Tabla para Selección del enfriador Evaporativo E-	
	VAPCO	103
6.3	Caída de Presión	104
6.4	Cálculo de Tuberías	106
6.5	Rangos de Presión y Temperatura de Varios Tipos de	
	Válvulas	112
6.6	Características de las Bombas Centrífugas	115
6.7	Caída de Presión a Vencer por la Bomba del Sistema	
	de Enfriamiento	117

No.		Pág.
6.8	Caída de Presión a Vencer por la Bomba de Circulación	
	entre la Bomba de Calor y los Tanques de Almacenamie \underline{n}	
	to	118
6.9	Controles de Seguridad del Enfriador de Agua	131
6.10	Puntos de Operación del Enfriador de Agua a 10,	
	60 y 100% de la Carga de Enfriamiento	1 35
6.11	Puntos de Operación de la Bomba de Calor a 10, 60 y	
	100% de la Carga de Enfriamiento	137
7.1	Gastos de Compra e Instalación	142
7.2	Costo Inicial Total	143
7.3	Tarifa Promedio Esperada en el Sector Industrial	150
7.4	Precios Esperados para el Diesel	152
7.5	Ahorro en Costos de Energía	154
7.6	Valor Presente de los Ahorros de Energía	155
A-1	Propiedades Térmicas de Materiales Usados en Cons-	
	trucción	166
A-2	Diferencia de Temperatura Equivalente para Techos	
	Planos	167
A-3	Diferencia de Temperatura Equivalente para Paredes .	168
A-4	Posición Solar, Intensidad y Factor de Ganancia So-	
	lar para 2.19 grados Latitud Sur	169
A-5	Ganancia de Calor por Personas	171
A-6	Densidad de Personas	173
A-7	Tabla de Iluminación Recomendada	174
8-A	Relaciones Generales de Presión y Ventilación para	
	Diferentes Areas de Hospitales	176

No.		Pág.
A-9	Factor de Carga Sensible para Artefactos sin Campana	178
A- 10	Propiedades Físicas de Tubería sin Costura ASTM A-53	
	Cédula 40	179

INTRODUCCION

Objetivo

El objetivo principal de esta tesis es estudiar la factibilidad de utilizar en nuestro país una bomba de calor industrial, que use como fuente de calor el agua proveniente del condensador de un enfria dor de agua de un sistema de aire acondicionado central, con el fin de obtener un sistema de calentamiento de agua que no use combustibles derivados del petróleo.

Importancia del Proyecto

La conservación de la energía en el Ecuador es todavía un concepto apenas conocido dentro de su sector industrial. La mayoría de los in dustriales ecuatorianos, o no lo conocen, o sólo tienen de él una idea vaga porque lo han leído en algún artículo de revistas extranje ras (o nacionales raras veces) muy de pasada, y por esta falta de in formación no se ha evaluado y por tanto comprendido su profundo significado socio-económico.

Recién se están dando en los tiempos que corremos los primeros pasos -por cierto los más difíciles- para crear conciencia en la indus tria de la importancia real que entraña el ahorro de energía. La - pregunta: ¿Quién gana en un proyecto de conservación y ahorro energé tico? debe ser analizada y medida cuidadosamente para que nos conduz ca a una toma de decisiones enmarcadas dentro del campo de la produc tividad capaces de proporcionar sustanciales utilidades marginales - que hoy por hoy se desperdician.

Cada barril de petróleo ahorrado en el consumo de una factoría industrial representa:

- a) 28 U.S. dólares de entrada para el país, a través de su balanza de pagos, porque lo exporta. Resultaría entonces que el Ecuador, como país, es el primer beneficiado.
- b) El propio industrial obtendría una reducción de sus costos de producción equivalentes al ahorro de un barril de petróleo, o sea 42 galones de diesel, igual a 882 sucres (9.14 dólares) a precios de hoy (21 sucres por galón), que automáticamente pasan a incrementar los beneficios de la empresa.
- c) El erario nacional ganaría entonces, a groso modo por cada barril economizado por un consumo de energía racionalizado en la indus tria, la diferencia entre 28 y 9.14 dólares; o sea: 18.86 dólares que significan 1820 sucres.

Esta cifra la ganaría el fisco sin hacer nada, frente a sólo 882 sucres que ganaría el industrial haciéndolo todo.

A veces, implementar un programa de ahorro energético requiere para cualquier industrial inversiones muy altas. Tan altas que lo desaniman a su realización porque no le resultan rentables en términos de dinero. Y no va a cambiar, ni se le puede exigir que cambie su actitud, en tanto siga disfrutando de energía barata. Este es en grandes rasgos el primer problema a enfrentar. Un gran canador potential, el Estado, o sea todo el pueblo ecuatoriano permanece siendo el gran perdedor en la realidad por el mero hecho de no crear meca nismos de ayuda e incentivos en favor del sector industrial, para fo mentar el ahorro de energía proveniente de combustibles fósiles, por parte del Gobierno.

Si bien es cierto que debemos preocuparnos por la implementación de tecnologías modernas que traten de aprovechar fuentes de energía re novables, como la solar, la biomasa, eólica, etc., pienso que el primer gran paso debe ser encaminado hacia el mejor uso de la energía que hoy utilizamos: el petróleo, y tratar de aumentar la eficiencia energética del consumo en todas las industrias del país.

Un estudio hecho por el INE (Instituto Nacional de Energía), proyectado hasta el año 2000, establece que si el país sigue usando su <u>e</u> nergía proveniente del petróleo como se lo hace hoy, para dentro de 10 años nos convertiremos en importadores de petróleo. La misma proyección establece que si se implementan programas serios de conservación energética, este plazo de 10 años se duplicaría.

Por lo tanto, la importancia de cualquier estudio en conservación \underline{e}

nergética, es muy grande, tremenda diría yo, pues involucra la supe \underline{r} vivencia futura del país.

Este proyecto en particular, se concentra únicamente en una de las tantas maneras de ahorrar energía no renovable, mediante el uso de <u>u</u> na bomba de calor industrial, que a base de una fuente de energía - térmica de baja temperatura (30°C), y electricidad, obtiene energía térmica de mayor nivel de temperatura (60°C), y con un rendimiento - de 4 a 1; es decir, que por cada unidad de energía en forma de electricidad gastada por la bomba de calor en el compresor, se obtienen 4 unidades de energía térmica a nivel del condensador.

Las bombas de calor pueden ser usadas en todo tipo de industria, se gún se verá más adelante. Esta tesis hace el estudio del aprovechamiento del calor rechazado de un sistema de aire acondicionado cen tral, según se dijo en el resumen, mostrando una de las tantas posibilidades del uso de una bomba de calor.

Metodología

El desarrollo de los aspectos teóricos y prácticos relacionados con el sistema de calentamiento de agua presentado en esta tesis, se ha rá en base a un caso práctico: un Hospital de la ciudad de Guayaquil.

En el capítulo I se presenta una descripción somera de los sistemas

de aire acondicionado y de agua caliente seleccionados para este ${\mbox{Ho}}\underline{{\mbox{s}}}$ pital.

En el capítulo 2 se hace el cálculo de las cargas de aire acondicionado, empezando por las cargas externas a través de techos, paredes y ventanas; luego se establecen las ganancias de calor internas generadas por las luces, personas, divisiones interiores y equipos médicos; también se hace un cálculo de los requerimientos de aire exterior y total (recirculado más exterior), de cada zona del Hospital, de acuerdo con las más modernas normas americanas, con el fin de establecer la carga impuesta al sistema de aire acondicionado por ventilación.

En el capítulo 3 se hace la selección del tipo de sistema de aire acondicionado a usarse y de la unidad de enfriamiento central; tam bién se incluyen las especificaciones técnicas del mismo.

En el capítulo 4 se habla acerca del sistema de agua caliente en hos pitales; se establecen normas de diseño y la forma de calcular los requerimientos de agua caliente; también se calcula la demanda máxima probable para nuestro caso de estudio.

En el capítulo 5 se hace la selección de la bomba de calor industrial requerida, y se dan las especificaciones técnicas de la misma.

En el capítulo 6 se hace la selección del condensador evaporativo, -

de las bombas de circulación, válvulas, tubería, etc.; y se hace el análisis ingenieril del funcionamiento del sistema recuperador de calor a varias cargas de aire acondicionado impuestas al enfriador de agua; se establecen puntos de operación de todos los principales equipos.

El capítulo 7 se concentra en el análisis económico del costo-beneficio del sistema recuperador de calor, y se establece la rentabilidad del proyecto.

Finalmente, se presentan las conclusiones y recomendaciones con $\underline{\text{res}}$ pecto al presente estudio.

CAPITULO 1

DESCRIPCION DEL SISTEMA Y SUS COMPONENTES

A continuación serán descritos muy superficialmente los sistemas de aire acondicionado y agua caliente seleccionados para este hospital, sin entrar a consideraciones de diseño, puesto que cada sistema se \underline{a} nalizará en detalle en capítulos posteriores.

1.1 SISTEMA DE AIRE ACONDICIONADO

El sistema de aire acondicionado que será seleccionado es central, del tipo "todo aire" (aire primario conformado por una mez cla de aire fresco más aire recirculado, que es enfriado y filtado en unidades de manejo de aire y distribuído por un sistema de ducto único) y básicamente sus componentes son:

1.1.1 Equipo de Refrigeración Central

Será un enfriador de agua, compuesto de:

- Dos compresores centrífugos de refrigerante 12, siendo -

cada uno capaz de manejar el 60% de la carga máxima de - enfriamiento, con el fin de trabajar con un sólo compresor hasta el 60% de la carga del edificio. Cada compresor será movido por un motor eléctrico trifásico.

- Un evaporador de tubo y coraza, donde se enfría el agua.
- Un condensador de tubo y coraza, el cual deberá ser enfriado por un sistema cerrado de agua.
- Dos válvulas de expansión termostática para control del flujo de refrigerante.
- Un sistema de control confiable y versátil, diseñado $p\underline{a}$ ra máxima eficiencia del enfriador.

1.1.2 Sistema de Circulación de Agua Helada

Conformado por:

- Bombas de circulación, encargadas de impulsar y retornar el agua helada.
- Tubería de distribución, que llevará el agua helada has ta los serpentines de las unidades manejadoras de aire, y luego la retornará hasta el "chiller" (enfriador de a

qua).

- Tanque de expansión y filtro separador de aire.

1.1.3 Sistema de Enfriamiento de Agua

- Torre de enfriamiento del tipo "circuíto cerrado", donde se enfriará una parte del agua proveniente del condensa-dor.
- Bombas de circulación.
- Tubería de distribución con sus accesorios.
- Tanque de expansión-reposición.

1.1.4 Sistema de Manejo de Aire

Aunque su diseño y selección no será hecho en esta tesis, cabe anotar que este subsistema es el encargado del con-trol y distribución del aire acondicionado a los diferentes ambientes. Se compone de unidades manejadoras de aire, ductos y dispositivos de control de temperatura y humedad.

1.2 SISTEMA DE AGUA CALIENTE

Los sistemas convencionales de agua caliente usados en hospita-

les, son aquellos que usan como fuente de energía la liberada en un proceso de combustión.

En nuestro medio, los hospitales producen agua caliente a partir de vapor o de la conversión directa de la energía eléctrica.

El sistema propuesto en esta tesis, usará como fuente de energía el calor de rechazo generado por el sistema de aire acondicionado.

Las ventajas y desventajas de este sistema serán analizadas más adelante. Por ahora, sólo mencionaré los elementos que compondrán el sistema:

1.2.1 Bomba de Calor

No es más que un equipo de refrigeración central, cuya función principal será la de calentar agua en su condensador.

Consta de los mismos elementos que el equipo de refrigeración del sistema de aire acondicionado; es decir, compresor, evaporador, condensador y válvula de expansión. Deta lles sobre cada componente serán presentados en el capítulo 6.

1.2.2 Sistema de Circulación de Agua Caliente

Conformado por:

- Bombas de circulación.
- Tanque de agua caliente.
- Tubería de suministro y recirculación de agua caliente a través del hospital.
- Unidades terminales de servicio de agua caliente (llaves, duchas, equipos, etc.)

1.2.3 Sistema de Circulación del Agua Usada como Fuente de Calor

- Bombas de circulación.
- Tubería de suministro de agua hacia la bomba de calor, y de retorno hasta el enfriador:
- Sistema de control de flujo de agua hacia la bomba de ca lor.

El arreglo y disposición de los sistemas de aire acondici \underline{o} nado y agua caliente será discutido y analizado en el capí

tulo 6.

CAPITULO 2

CALCULO DE CARGA DE ENFRIAMIENTO

El cálculo de carga de enfriamiento de un hospital, requiere de un cuidadoso análisis de todas las ganancias de calor, ya que es muy importante mantener las condiciones de temperatura y humedad requeridas, de acuerdo con el ambiente a climatizar.

Para el presente estudio, se utilizará el método de la temperatura <u>e</u> quivalente o de los factores, adaptado a las condiciones climáticas de la ciudad de Guayaquil, por el Ing. Gustavo Acosta en su tesis de grado.

Este método consiste en calcular una diferencia de temperatura equivalente para cada una de las fuentes, tomando en cuenta las 24 horas del día, de manera que no es necesario hacer un balanceo, puesto que las relaciones usadas para hallar los factores dependen del tiempo.

Las condiciones generales de diseño fueron las siguientes:

Condición Exterior

Temp. bulbo seco 92°F (33.3°C)

Temp. bulbo húmedo 80°F (26.7°C)

Rango Diario 20°F (11.1°C)

Condición Interior

Temp. bulbo seco 75°F (23.9°C)

Humedad relativa 50%

Se escogió como día de diseño el 21 de Diciembre, ya que por experien cia se conoce que en este día se obtienen los mayores valores de in tensidad de radiación solar; además se tomó como hora de diseño las 15 horas (3 p.m.), ya que durante el día, ésta es la hora de mayor temperatura de bulbo seco del aire.

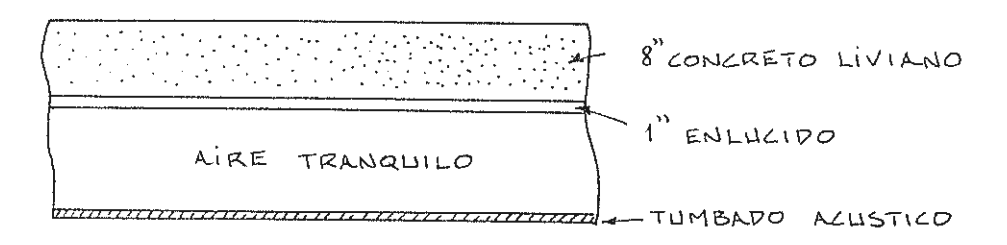
2.1 GANANCIA A TRAVES DE TECHOS, PAREDES Y VENTANAS

Techos

Para los techos expuestos al sol, se consideraron los siguientes valores de U:

Fig. 2.1 CONSTRUCCION DEL TECHO

AIRE EXTERIOR



Resistencia fílmica exterior	0.333	$(\frac{\text{hr-pie}^2 - {}^{\circ}F}{\text{BTU}})$
Resistencia 8" concreto liviano	6.670	12
Enlucido l"	0.200	11
Espacio aire tranquilo	1.000	11
Tumbado acústico	1.786	и
Resistencia fílmica interior	0.685	11

Para techo plano sin tumbado, se obtiene:

$$U = \frac{1}{\Sigma R} = \frac{1}{0.333 + 6.670 + 0.200 + 0.685} = 0.127 \frac{BTU}{hr-pie^2-°F}$$

$$(0.721 \frac{W}{m^2 - °C})$$

Para techo plano con tumbado:

$$U = \frac{1}{0.333 + 6.67 + 0.20 + 1.00 + 1.786 + 0.685} = 0.094 \frac{BTU}{hr-pie^2-\circ F}$$

$$(0.534 \frac{W}{m^2 - ^{\circ}C})$$

Los valores de resistencia térmica fueron obtenidos de la tabla A-1, que fue tomada del libro de Fundamentos de la ASHRAE.

Los valores calculados para U corresponden con el techo No. 8 de la tabla A-2, que nos da la diferencia de temperatura equivalente para cada hora del día 21 de diciembre.

Concluyendo, la ganancia por techos está dada por:

$$Q = U \times A \times DDTE$$

donde:

$$U = 0.127 \frac{BTU}{h-pie^2-\circ F} \quad 6 \quad 0.094 \frac{BTU}{h-pie^2-\circ F}$$

A = área de techo en pies cuadrados.

DDTE = diferencia de temperatura equivalente (°F), obtenida de la tabla A-2.

Paredes Exteriores

Se entiende por paredes exteriores a todas aquellas paredes que están expuestas a un ambiente exterior donde hay radiación solar. Para nuestro cálculo, se escogió el tipo de pared No. 4 de la tabla A-3, que tiene un valor de U = $0.415 \frac{BTU}{h-pie^2-°F}$, (2.36 W/m²-°C) y que corresponde a una pared de tipo construcción mediana construída de 4" (10.2 cm) de ladrillo común, 4" (10.2 cm) de ladrillo de acabado y 0.75" (1.9 cm) de enlucido, con un peso de 90 lb/pie² (440 Kg/m²).

La tabla A-3 nos da los valores de diferencia de temperatura equivalente (°F) para nueve diferentes orientaciones de pared y a las 24 horas del día.

Finalmente, la ganancia por paredes, se calculó por:

 $Q = U \times A \times DDTE$, donde:

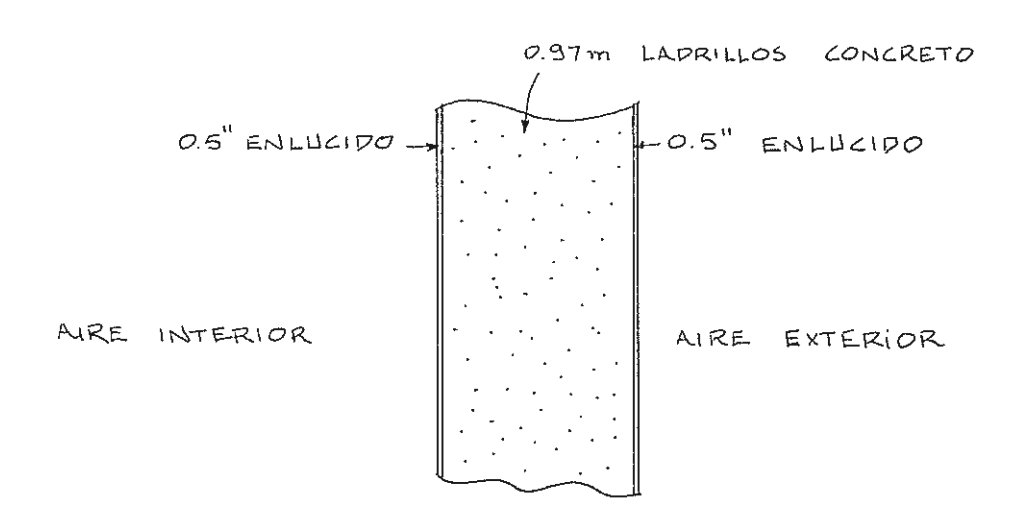
$$U = 0.415 \frac{BTU}{h-pie^2-°F}$$

A = Area de pared expuesta en pie².

DDTE = Diferencia de temperatura equivalente en °F de la tabla A-3, de acuerdo a la hora de di seño y orientación de la pared.

En el hospital hay dos cuartos cuyas paredes son de l m. de espe sor, donde lógicamente el valor de U es distinto del anterior, a sí que calcularé el coeficiente de transferencia de calor total para estos cuartos.

Fig. 2.2 CONSTRUCCION DE PARED ESPECIAL



Resistencia fílmica exterior	0.333	hr-pie ² -°F
0.97 m. de ladrillo de concreto	5.273	II
Enlucido l"	0.200	11
Resist. fílmica interior	0.685	11
	6.491	hr-pie ² -°F

$$U = \frac{1}{\sum R} = 0.154 \frac{BTU}{h-pie^2-{}^{\circ}F}$$
 (0.874 $\frac{W}{m^2-{}^{\circ}C}$)

Las diferencias de temperatura equivalente se sacarán del tipo - de pared No. 1, de la tabla A-3, cuyo U coincide con el calcula-do.

Ventanas

Para el cálculo de fenestración a través de ventanas, se asumió que no existen volados horizontales o verticales, ni otros elementos sombreadores externos o internos. De manera que la ganancia solar por ventanas estará dada por:

$$Q = A \times FDGS + U(t_0 - t_i)$$

donde:

 $A = Area de ventana en pie^2$

FDGS = Factor de ganancia solar obtenido de la tabla A-4,
de acuerdo con la hora de diseño y la orientación
de la fachada.

U = 1.13 BTU/h-pie 2 - °F (6.416 W/m 2 - °K) Coeficiente de transferencia de calor típico para vidrios comunes de 1/8" (3.2 mm).

t_O = 92°F (33.3°C) Temp. exterior de diseño

 $t_i = 75$ °F (23.9°C) Temp. interior de diseño

2.2 CARGA POR PERSONAS

La ganancia de calor en un ambiente debido a las personas, tiene dos componentes: sensible y latente.

La carga latente es instantánea; es decir, llega sin retraso al ambiente. Sin embargo, la carga sensible de una persona no es instantánea, puesto que parte de ella es almacenada en el cuarto antes de pasar al aire en el espacio. Este efecto de retraso es tá considerado en el factor de carga sensible, el cual depende - del total de horas que cada persona está en el espacio y varía con la hora de entrada al espacio a ambientar. Sin embargo, - cuando la condición del sitio de diseño es tal que siempre hay personas entrando o saliendo de los espacios a acondicionar, es recomendable usar un factor de carga sensible igual a 1; y como esta es una condición que se cumple en un hospital, entonces se consideró que FCS = 1.

Entonces, para calcular la ganancia por personas, se usaron las relaciones siquientes:

 $Qs = NP \times qs \times FCS$

 $QL = NP \times ql$

donde:

NP = número de personas en el espacio a acondicionar.

FSC = 1

- qs = componente sensible tomado de la tabla A-5, de acuerdo al tipo de actividad.
- q1 = componente latente tomado de la tabla A-5, de acuerdo al tipo de actividad.

Para estimar el número de personas en cada local, se usaron densidades normales de personas en hospitales, oficinas y lugares - de docencia, las cuales están tabuladas en la tabla A-6, y que fueron tomadas del Libro de Fundamentos de la ASHRAE 1977 y el - estándar ASHRAE 62-81.

$$NP = \frac{D \times A}{1000}$$

- D = Densidad de personas de la tabla A-6 en $(\frac{Personas}{1000 \text{ pie}^2})$
- A = Area de piso en pies cuadrados.

2.3 CARGA POR LUCES

La carga por luces es una de las principales fuentes de calor a

considerar. Es necesario considerar numerosos factores porque - la ganancia de calor puede diferir notablemente del vatiaje sumi nistrado a las luces.

Parte de la energía emitida por las luces en forma de radiación, es absorbida en el espacio y luego transferida al aire por convección. La manera en que las luces son instaladas, el tipo de distribución de aire y la masa de la estructura son importantes. También hay que considerar entre qué horas del día se encuentran encendidas las luces. Todos estos factores están considerados — en el factor de carga de enfriamiento. Sin embargo, cuando las luces están prendidas las 24 horas del día, o cuando el equipo — de aire acondicionado no tiene operación contínua, debe usarse — un factor de carga de enfriamiento igual a 1.

Para el presente cálculo se usaron los niveles de iluminación necesaria, recomendados por la ISI de Gran Bretaña, de acuerdo a las necesidades y uso del local, que están tabulados en la tabla A-7.

Entonces:

$$Q = A \times F \times FCE$$

donde:

A = Area de piso en pie².

F = Iluminación recomendada (tabla A-7)

FCE = 1, debido a 24 horas de contínua operación de las luces.

2.4 GANANCIA A TRAVES DE PAREDES INTERIORES Y TUMBADOS

Para este cálculo se consideraron condiciones estables de transferencia de calor, de manera que:

$$Q = U \times A \times \Delta T$$

donde:

U = Coeficiente de transferencia de calor.

A = Area de la división interior a considerar.

 $\Delta T = (92-75)-5 = 12$ °F (6.67°C)

los valores de U considerados se encuentran en la tabla 2-1.

Tabla 2-1

COEFICIENTES DE TRANSFERENCIA DE CALOR PARA DIVISIONES INTERIORES

División Interior	U			
	(BTU h-pie ² -°F)	(W m ² −°K)		
Pared Interior	0.415	2.356		
Vidrio Interior	1.13	6.416		

Cuando el ambiente tiene techo expuesto al sol, la carga por tumbado está considerada; si nó, se asumirá una ganancia por tumbado de 1.5 $BTU/h-pie^2$ (4.73 W/m^2).

2.5 CARGA POR VENTILACION

La función principal del aire exterior es controlar la calidad — del aire. La cantidad de aire exterior requerida en un ambiente, depende de la tasa de generación de contaminantes y del nivel máximo aceptable de los mismos.

El aire de ventilación es una mezcla de aire exterior, de calidad aceptable, y de aire recirculado desde el espacio acondicionado.

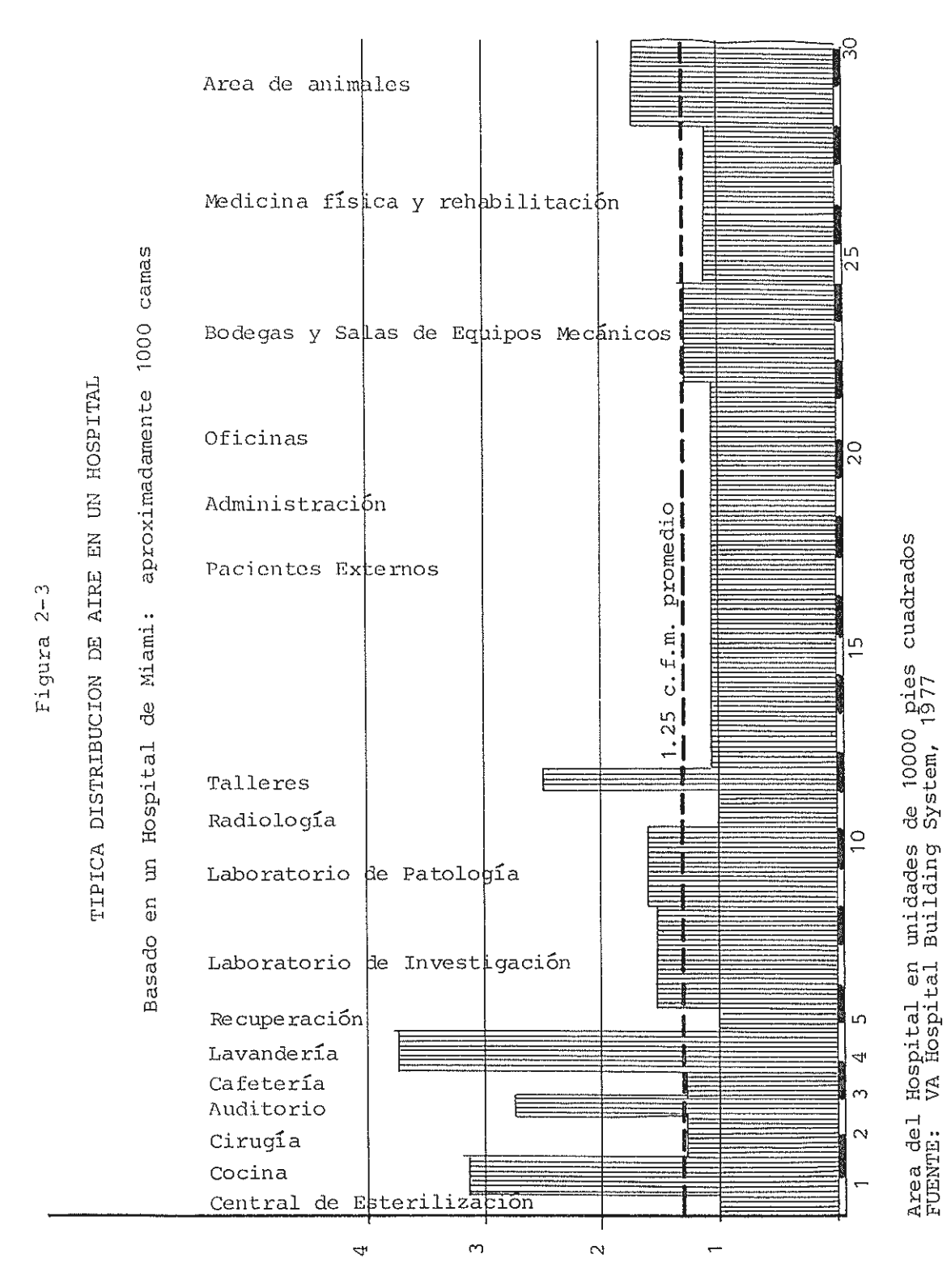
En un hospital, en adición a conseguirse un ambiente que sea con fortable y razonablemente libre de polvo, olores y contaminantes químicos, el ingeniero debe enfrentar otra importante consideración en su diseño, y ésta es la de eliminar bacterias y microorganismos en el aire. Se ha comprobado mediante investigaciones, que aire recirculado con cantidades convenientes de aire exterior, si está apropiadamente filtrado, estará libre de contaminación - bacteriana.

Ya que no es objeto de esta tesis estudiar los métodos de controlar la calidad y limpieza del aire en hospitales, me limitaré a presentar en la tabla A-8 los niveles mínimos recomendables de cambios de aire exterior y de cambios totales de aire para varias áreas de un hospital.

Esta tabla establece estándares normales para E.E. U.U. y fué obtenida del libro de Aplicaciones de ASHRAE (1982).

De esta tabla puede observarse que los cambios de aire variarán dependiendo de la zona. En la figura 2-3 puede verse el patrón típico de distribución de aire en un hospital, cuyo promedio se encuentra en el valor de 1.25 cfm/pie² (7.5 camb/hora).

La relación entre cambios por hora y CFM por pie^2 basado en 10 pies de altura promedio del piso al tumbado, es 6 camb/hora = 1.0 CFM/pie^2 .



AIRE DE SUMINISTRO EN CFM POR PIE²

El cálculo exacto de la carga de enfriamiento, considerando el aire de ventilación, requiere del análisis psicrométrico de cada ambiente. Sin embargo, un cálculo aproximado de la carga por - ventilación puede hacerse mediante las siguientes relaciones:

Carga sensible =
$$1.1(92-75)$$
CFM = $18.7 \times CFM (BTU/h)$

Carga latente =
$$4840 \times CFM \times .00993 = 48.1 \times CFM (BTU/h)$$

donde:

$$CFM(pie^3/min) = \frac{Cambios}{hora} \times Area(pie^2) \times Altura(pie) \times \frac{1 h}{60 min.}$$

Para mayor detalle de las relaciones usadas, consultar la referencia (1), págs. 95, 96 y 97.

La altura entre piso y tumbado es de 2.50 m., a excepción de los quirófanos, donde es 3.40 m.

Es necesario comprobar que los CFM de aire exterior en cada ambiente, sea superior al mínimo aceptable de 5 CFM por persona.

2.6 CARGA POR EQUIPOS

En la estimación de la carga de enfriamiento, la ganancia de ca lor ocasionada por la generación de calor de equipos, debe ser

tomada en cuenta. Existe una variedad infinita de equipos que - generan calor y por lo tanto éste es un factor que complica enor memente la estimación de este tipo de carga; por lo tanto, en es te estudio se consideraron individualmente los equipos de mayor importancia, y cuyas ganancias de calor se encuentran en sus res pectivos catálogos.

Para estos equipos se usaron las siguientes relaciones:

 q_S = Calor sensible x FCE x Fu

q₁ = Calor latente

donde,

FCE = factor de carga sensible de la tabla A-3

Fu = factor de uso = 0.50 y 1.00

Se usó un factor de carga sensible de 0.82, correspondiente a 8 horas de operación contínua desde las 9 a.m.

En la tabla 2.2 se encuentran las ganancias de calor suministradas en catálogos:

TABLA 2.2

GANANCIA DE CALOR DE EQUIPOS MEDICOS

EQUIPO	Carga Sensible (BTU/h)	Carga Latente (BTU/h)
Simulador	10239*	
Comp. planificación	7000*	
Cámara Gamma	7611	
RX Mamografía	1560*	
Tomógrafo Axial	13600	
Acelerador Lineal	34130*	
Esterilizador Vapor	14190*	7310
Esterilizador Eléctrico	1.2408*	6392
Lavadora Instrumentos	13200*	6800
Radiot. Superficial	6134	

^{*} En estos equipos se utilizó un factor de uso igual a 1.

NOTA: Estas ganancias son únicamente representativas para los \underline{e} quipos de este hospital. De ninguna manera se podrán usar para otros equipos similares de características distintas.

Para el resto de ambientes donde se conoce hay generación de calor por equipos, se usaron valores promedio obtenidos del libro de Fundamentos de ASHRAE 1981 y son los detallados a continuación:

Oficinas Generales	4(BTU/h-pie ²)	(12.6 W/m^2)
Oficinas con termin. Computac.	15(BTU/h-pie ²)	(47.0 W/m ²)
Dptos. Compras y Cobranzas	7(BTU/h-pie ²)	(22.0 W/m ²)
Area de Computador	125(BTU/h-pie ²)	(395.0 W/m ²)
Laboratorios en general	50(BTU/h-pie ²)	(158.0 W/m ²)

2.7 RESULTADOS DE CARGA DE ENFRIAMIENTO TOTAL POR ZONAS

Para realizar el cálculo de carga de cada ambiente, se utilizó — un computador personal. El programa usado está codificado en — lenguaje BASIC, el cual recopila todos los datos y fórmulas presentados anteriormente, y su listado se encuentra en el apéndice B.

Los resultados están tabulados a continuación, por pisos.

TABLA 2.3

CARGA POR ZONAS EN PLANTA BAJA

ZONA	AREA (M2)	SENSIBLE (MBTU/H)	TOTAL (MBTU/H)	DENSIDAD (BTU/H-M2)
Dirección	22.68	17.09	19.63	865.52
Reuniones	10.00	9.80	11.24	1124.00
Administración	12.95	3.91	5.36	413.89
Secretaría y Espera	66.25	27.74	36.21	546.56
Contabilidad	41.80	26.43	31.10	744.01
Jefe de Enfermería	22.00	5.66	8.11	368.63
Tomografía Axial	25.90	15.99	20.49	791.11
Mandos y Trabajo	21.50	6.97	10.70	497.67
Mamografía	15.50	6.98	9.67	623,87
Ecografía	15.50	5.91	8.61	555.48
Cuarto Oscuro	7.60	4.17	5.56	731.57
Bario	3.42	2.06	2.62	766.08
Archivo de Placas	8.17	4.47	5.45	667.07
Secretaría	39.40	21.14	25.58	649.23
Lab. Radioactivo	12.73	10.46	12.67	995.28
Rayos X General	20.39	7.68	11.22	550.26
Rayos X General	20.39	7.68	11.22	550.26
Inyecciones	18.40	4.77	7.12	386.95
Gamma y Scanner	44.10	32.00	39.67	899.54
Consultorio	15.20	3.96	6.35	417.76
Jefe de Servicio	13.30	3.20	4.69	352.63
Sala de Moldes	13.68	2.72	4.24	309.94
Lab. Física y Dosim.	13.60	9.63	12.21	897.79
Cámara Oscura	6.82	1.73	2.92	428.15
Electromiografía	17.49	6.54	9.58	547.74
Terapia de Juegos	15.17	10.62	13.48	888.59
Terapia Ocupacional	15.17	10.55	13.35	880.02
Electroterapia	13.12	6.73	9.01	686.73
Gimnasio	41.58	22.34	31.18	749.87
Farmacia	39.33	13.84	20.04	509.53
Banco de Sangre	6.29	2.79	3.89	618.44
Preparación Pacientes	7.80	2.79	4.14	530.76
Control de Muestras	10.89	3.91	5.71	524.33
Microb. y Bacteriología	19.00	26.48	30.08	1583.15
Reactivos	13.70	10.27	12.65	923.35
Esterilización	13.70	20.45	29.22	2132.84
Jefe de Laboratorio	13.70	9.51	11.04	805.83
Museo	13.70	12.27	14.24	1039.41
Fotografía	6.66	9.40	10.51	1578.07
Autopsias	18.00	9.26	12.10	672.22
Histología y Citología	46.04	46.69	55.44	1204.17

(Cont.) TABLA 2.3

CARGA POR ZONAS EN PLANTA BAJA

ZONA	AREA (M2)	SENSIBLE (MBTU/H)	TOTAL (MBTU/H)	DENSIDAD (BTU/H-M2)
Uroan. Biom. y Quim. Sang.	72.96	74.40	88.25	1209.56
Consultorio	17.10	4.96	7.93	463.74
Observación e Hidratación	30.72	12.71	18.55	603.84
Evaluación	40.96	17.15	24.92	608.39
Quimioterapia	48.00	18.92	26.49	551.87
Biopsias y Endoscopias	28.88	22.61	27.62	956.37
EEG 1	14.06	10.75	13.20	938.83
EEG 2	14.06	10.75	13.20	938.83
Urología	21.45	8.91	12.64	589.27
Medicina	21.20	8.97	12.66	597.16
Cirugía	21.20	17.33	25.51	1203.30
Psicología	20.28	9.27	12.79	630.67
Oftalmología	13.34	9.59	11.91	892.80
Otorrinolaringología	21.30	9.01	12.72	597.18
Ginecología	39.48	16.30	23.16	586.62
Preparación	30.08	13.90	19.60	651.59
Admisión	39.48	17.78	25.28	640.32
Curaciones	15.68	14.54	17.26	1100.76
Admisión	30.38	31.64	37.40	1231.07
Enfermería y Control	20.50	6.02	9.58	467.31
Secret. y Postconsulta	23.31	13.73	16.71	716.85
Servicio Social	27.70	16.27	19.81	715.16
A. Domiciliarias	14.80	5.79	7.44	502.70
Inspector del Hospital	17.64	4.12	6.09	345.23
Simulador	29.60	20.76	25.53	862.50
Mandos	12.88	4.49	6.52	506.21
Exámen	16.12	4.52	7.32	454.09
Radioterapia Superf.	16.12	8,72	11.52	714.64
Inserciones	24.00	8.22	12.39	516.25
Examen	14.26	4.04	6.52	457.22
Secretaría y Oficina	38.95	12.17	16.52	424.13
Equipo Computación	5.90	11.27	12.03	
Central Computación	10.80	7.30	8.68	
Cobalto	34.56	6.27	12.58	
Acelerador lineal	54.15	35.80	45.73	
Comedor	98,28	56.30	80.92	
Corredores y Esperas	799.40	254.08	387.17	484.32
тотаь	2602.20	1275.95	1722.45	

TABLA 2.4

CARGA POR ZONAS EN EL 1ER. PISO

(CENTRAL DE ESTERILIZACION Y QUIROFANOS)

ZONA	AREA (M2)	SENSIBLE (MBTU/H)	TOTAL (MBTU/H)	DENSIDAD (BTU/H-M2)
Quirófano General	37.50	37.99	57.24	1526.40
Quirófano General	38.50	40.26	60.02	1558.96
Lavabos Quirúrgicos	48.64	19.10	28.33	582.44
Quirófano Urología	38.50	33.83	53.59	1391.94
Microlaboratorio	11.20	13.10	15.23	1359.82
Oficina Anestesia	12.40	3.44	5.39	434.67
Estar-corredor	42.54	16.55	25.59	601.55
Recuperación	60.76	23.76	34.32	564.84
Corredor	59.52	19.44	32.09	539.14
Oficina Jefe	11.75	4.05	5.36	456.17
Control y Banco de Bacterias	11.75	3.74	5.78	491.91
Quirófano Séptico	24.00	20.12	32.44	1351.66
Capilla	36.12	19.45	26.72	739.75
UCI	91.00	35.43	51.24	563.07
Aislados	12.25	4.13	6.26	511.02
Antecámara	12.25	4.47	6.59	537.95
Oficina	11.40	4.80	6.07	532.45
Equipos	10.26	3.97	5.11	498.05
Microlaboratorio	10.78	14.54	16.58	1538.03
Central Esterilización	175.10	126.09	178.40	1018.84
Rayos X	5.28	3.30	4.21	797.34
TOTAL	761.50	451.56	656.56	

Z O N A	AREA (M2)	SENSIBLE (MBTU/H)	TOTAL (MBTU/H)	DENSIDAD (BTU/H-M2)
Cuarto	14.43	7.04	9.55	661.81
Exámen	14.43	7.04	9.55	661.81
Oficina	14.43	7.04	9.55	661.81
Dietas	14.43	6.80	8.88	615.38
Estación	14.40	7.40	9.47	657.63
Cuarto	50.16	23.94	32.65	650.91
Cuarto	50.16	27.11	35.83	714.31
Cuarto	50.16	27.11	35.83	714.31
Cuarto	50.16	27.70	36.41	725.87
Cuarto	14.43	6.96	9.47	656.27
Cuarto	14.43	6.96	9.47	656.27
Cuarto	14.43	5.73	8.24	571.03
Cuarto	14.43	5.73	8.24	571.03
Cuarto	50.16	27.99	36.71	731.85
Cuarto	50.16	30.94	41.43	825.95
Corredor	129.36	32.29	54.66	422.54
		-	******	
T O T A L	560.16	257.78	355.94	

TABLA 2.6

CARGA POR ZONAS EN EL 5^{to} PISO

ZONA	AREA (M2)	SENSIBLE (MBTU/H)	TOTAL (MBTU/H)	DENSIDAD (BTU/H-M2)
Sala de Usos Múltiples	198.33	117.52	159.01	801.74
Aula 1	15.91	9.34	12.54	788.18
Biblioteca	29.08	16.38	20.09	690.85
Aula 2	25.90	18.39	23.61	911.58
Aula 3	25.90	18.39	23.61	911.58
Estar	8.82	3.15	4.42	501.13
Secretaría Docencia	15.20	4.30	6.00	394.73
Coordinación Docencia	11.02	9.33	10.56	958.25
Cuarto	25.90	11.03	14.00	540.54
Cuarto	25.90	11.03	14.00	540.54
Cuarto	25.90	11.03	14.00	540.54
Estar	25.90	11.03	14.00	540.54
Cuarto	29.40	15.47	18.85	641.15
Cuarto	16.28	6.61	8.48	520.88
Cuarto	16.28	8.72	10.59	650.49
Corredor	92.40	19.77	31.88	345.02
TOTAL	588.12	291.49	385.64	

CAPITULO 3

SELECCION DEL SISTEMA DE AIRE ACONDICIONADO A USARSE

3.1 SISTEMA

3.1.1 Sistema de Aire Acondicionado

El sistema que he seleccionado para este hospital es uno - central del tipo "todo aire", de ducto único; debido a las ventajas que presenta este tipo de sistema en hospitales, y que son mencionadas más adelante.

La unidad central de refrigeración producirá agua helada, que será distribuída en el hospital hacia las unidades manejadoras de aire, las cuales, mediante un sistema de duc tos, suministrarán aire filtrado y acondicionado a los ambientes que conforman cada zona, y lo retornarán al equipo de manejo de aire, donde será mezclado con aire exterior y reacondicionado para volver a ser suministrado.

Las ventajas de los sistemas "todo aire" son:

1. La localización central de los principales equipos com

ponentes permite la operación y mantenimiento en áreas desocupadas, donde es posible seleccionar los sistemas con la adecuada filtración, control de ruído y olores, y con equipos durables de alta calidad.

- Los sitios acondicionados están libres de tuberías de drenaje, líneas de fuerza y filtros.
- 3. Permite acondicionar por zonas con gran flexibilidad y con un excelente control de humedad, bajo cualquier condición de operación.
- 4. Gran adaptabilidad a sistemas recuperadores de calor.
- 5. Completa libertad de diseño, en lo que respecta a distribución de aire.
- Es el mejor sistema para aplicaciones con mucho uso de aire exterior, tales como hospitales.

Las desventajas de estos sistemas son:

 Se requiere espacio para la colocación de los ductos de aire. Generalmente, exige el uso de tumbados para ocultar los ductos. Por lo tanto, los edificios deben tener más altura entre piso y piso.

- Si el sistema no tiene dispositivos automáticos de balanceo de aire, se hace difícil lograr dicho balanceo.
- 3. El acceso a los dispositivos terminales, demanda de un diseño conjunto y en colaboración entre los arquitectos, ingenieros estructurales e ingenieros mecánicos.

En lo que respecta al sistema de aire acondicionado, me concentraré en el análisis de la central enfriadora de agua, ya que la parte de distribución de aire y todos sus detalles de ingeniería, se desligan del objetivo principal de esta tesis.

3.1.2 Tipos de Enfriadores

Existen básicamente dos tipos de enfriadores de agua, de - acuerdo al proceso de refrigeración en sí; los que usan el ciclo de compresión de vapor, y los que usan el ciclo de absorción. Los primeros a su vez se clasifican en: reciprocantes y centrífugos.

Los enfriadores reciprocantes son usados para menores capacidades de refrigeración que los centrífugos, siendo esta la razón por la cual seleccionaré un enfriador de máquina Centrífuga

3.1.3 Características Generales de los Enfriadores de Méquina Centrífuga

Son diseñados y construídos para proporcionar una opera-ción bajo severas condiciones de trabajo en forma segura y contínua, para todo tipo de aplicaciones industriales y comerciales. La máquina consta de un compresor centrífugo, un evaporador y un condensador.

El agua es enfriada dentro de los tubos del evaporador, al transmitir su calor al refrigerante, causando su ebullición y vaporización. Este refrigerante en fase de vapor, es conducido a la línea de succión del compresor, donde es so metido a un proceso de compresión y descargado al condensa Debido a la alta temperatura del gas refrigerante, éste entrega su energía al circuito de aqua del condensa dor, logrando su cambio de fase gaseosa a fase líquida, pa ra pasar luego a una cámara flotante. Aquí una válvula de flotador, que automáticamente mantiene un sello líquido que previene el paso de gas al evaporador, se va abriendo a medida que sube el nivel de refrigerante en la cámara, pasando al evaporador que está a una presión inferior. Es ta presión ocasiona que parte del líquido se vaporice, per mitiendo que el líquido restante se enfríe hasta que su temperatura corresponda con la presión. Luego, el refrige rante líquido es distribuído igualmente en toda la longitud del evaporador. El ciclo descrito se repite contínuamente.

El equipo motriz del compresor puede ser un motor de combustión interna, una turbina a gas o a vapor, o un motor eléctrico.

El calor extraído del edificio, es generalmente rechazado al ambiente, mediante una torre de enfriamiento.

En esta tesis, se pretende usar este calor rechazado, como fuente de calor para una bomba de calor que produzca agua caliente.

3.2 REQUERIMIENTOS DE AGUA HELADA

El caudal de agua que deberá enfriar un enfriador de agua , es tá dado por:

Caudal (GPM) =
$$\frac{\text{TONS x 24}}{\Delta \text{T(°F)}}$$

Generalmente, se selecciona para un diferencial de temperatura – de $10\,^{\circ}\text{F}$ (5.6 $^{\circ}\text{C}$).

Entonces,

$$GPM = \frac{350 \times 24}{10} = 840 GPM (53 lts/seg)$$

3.3 SELECCION DEL EQUIPO ENFRIADOR

Para este estudio, seleccionaré un enfriador de doble compresor centrifugo, cuyas características principales de diseño serán des critas a continuación:

3.3.1 Principales Características de Diseño de los Enfriadores de Doble Compresor Centrífugo Marca McQuay (Tipo PF)

La mayoría de los sistemas de aire acondicionado, operan a un 60% o menos de las toneladas de diseño del edificio, du rante un 80% del año aproximadamente. Un gran número de estas horas de operación, ocurren entre el 50% y el 60% de la carga de enfriamiento de diseño.

Por esta razón, el enfriador modelo PF, está diseñado para producir hasta el 60% de su capacidad con un solo compresor, de manera eficiente y confiable.

La eficiencia de operación de un compresor, es una función del diseño de sus componentes, del rango de descarga, de - la estabilidad de funcionamiento y de las características del refrigerante. Sobre un rango típico de capacidad de - enfriamiento, desde un 100% hasta un 10%, la eficiencia - del impulsor de un compresor centrífugo, sigue la línea - del sistema presentada en la fig. 3.1. A un 55% de la ca

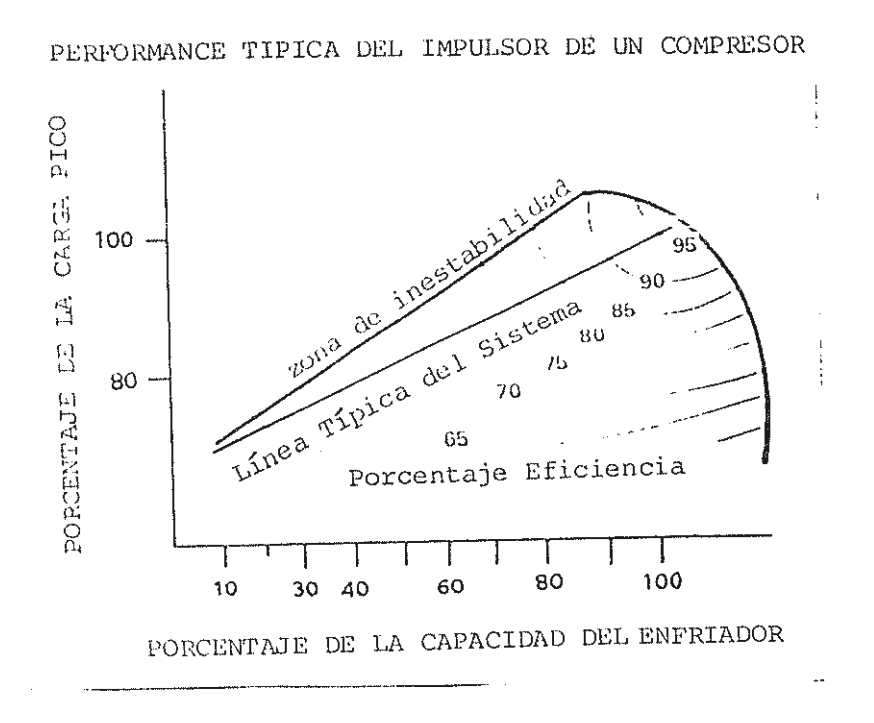
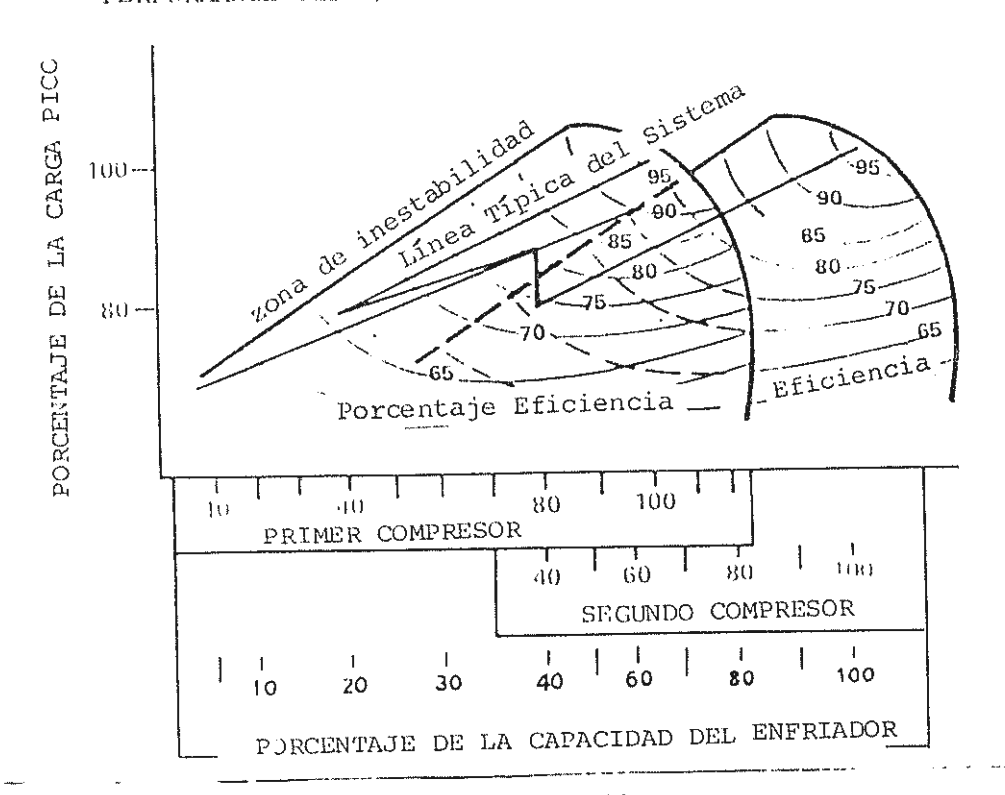


Fig. 3-2
PERFORMANCE TIPICA DEL IMPULSOR DE UN DOBLE COMPRESOR



FUENTE: Catálogo 960-2 de McQUAY, 1984

pacidad del enfriador, la eficiencia del impulsor de una unidad de un compresor, cae al 70%. El mismo impulsor, cuan do trabaja en una unidad con dos compresores, a la misma carga, trabajará con una eficiencia del 85%. (Fig. 3.2).

Este incremento en la eficiencia se debe a que la operación del primer compresor se realiza al 88% de su capacidad de diseño. Además, la superficie de transferencia de calor - disponible para este compresor está duplicada bajando la - diferencia de presión del refrigerante y desviando la línea de funcionamiento del sistema, mientras simultáneamente se expande la capacidad total del compresor.

El marcado mejoramiento de la eficiencia del impulsor, en las unidades de doble compresor sobre las unidades de un - compresor, se extiende desde el 5% hasta el 78% de la capa cidad del sistema, y es aplicable cuando uno o ambos compresores están funcionando.

Esta innovación en la eficiencia, constituye el principal factor que contribuye a una significante reducción en la potencia anual consumida.

Los compresores centrífugos McQuay:

- Tienen menor masa para una aceleración a la velocidad má

xima con arranque estrella-delta en menos de 10 segundos.

- Usan un sistema de descarga interno hidráulico, sin conexión al exterior o pérdida de refrigerante asociada.
- Tienen un sistema de control de velocidad variable, que simplifica el balance de la operación de ambos compresores.
- Cada compresor puede trabajar hasta un 10% de su capacidad sin "bypass" de gas caliente. (5% de la capacidad total).
- El compartimiento del motor es hermético, y está separado físicamente de la zona de compresión del refrigerante.

Estas unidades incluyen dos de los más importantes componentes necesarios para una óptima redundancia, excluyendo condensador y exporador:

- 2 Compresores
- 2 Enfriadores de Aceite
- 2 Bombas de Aceite con su respectivo Motor
- 2 Paneles de Control Completos
- 2 Arrancadores (requeridos)

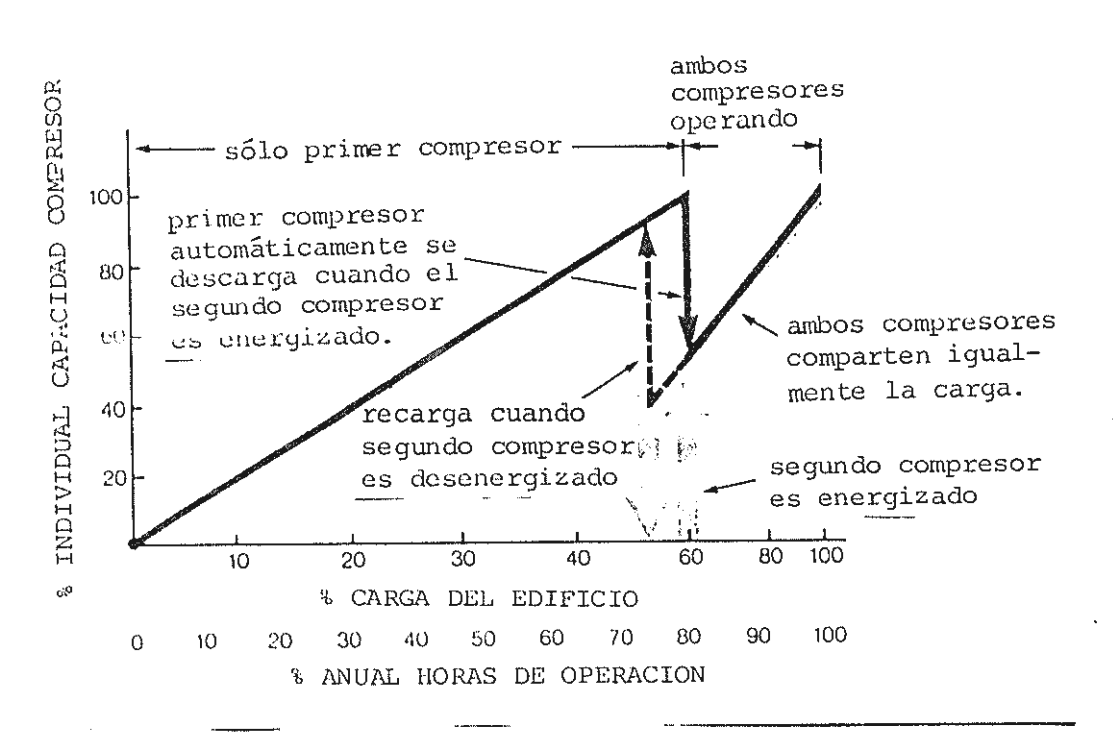
La operación de los compresores puede verse en la Fig. 3.3. El primer compresor es arrancado y parado en respuesta a la tempera-

tura de salida del agua helada. La operación del segundo compresor es controlada por el termostato del agua de retorno, el cual tiene un punto de ajuste de aproximadamente un 60% del ΔT de diseño del agua.

Un switch permite alternar la operación de ambos compresores.

La operación de uno o ambos compresores y el balance de carga es completamente automática.

Fig. 3.3
Operación de los Compresores



FUENTE: Catálogo 960-2 de McQUAY, 1984

3.3.2 Selección

Para la selección se consideraron las siguientes condiciones de diseño:

Evaporador

Temp. de entrada al evaporador: 52°F (11.11°C)

Temp. de salida del evaporador: 42°F (5.56°C)

Factor de incrustación: 0.0005 pie²-°F-hr

(0.1 m2-°C)KW

Condensador

Temp. de entrada al condensador: 90°F (32.22°C)

Temp. de salida del condensador: 100°F (37.78°C)

Factor de incrustación: 0.001 $\underline{\text{pie}2-\text{°F-hr}}$ BTU

 $(0.2 \frac{m^2 - ^{\circ}C}{KW})$

Capacidad neta de enfriamiento: 350 Tons.

La selección se realizó por computadora, gracias a un programa desarrollado por McQUAY Inc., dando cuatro alternativas posibles. (Ver tabla 3-1).

TABLA 3-1

ALTERNATIVAS DE ENFRIADORES DE AGUA , (DOBLE COMPRESOR)

ALTER.	CAUDAL EVAP. (GPM)	CAUDAL COND. (GPM)	ΔΡ (EVAP.) (PIES AGUA)	AP (COND.) (PIES AGUA)	POTENCIA (KW)	KW/TON.
1	840	1050	30.6	17.4	321.5	0.918
2	840	1050	30.6	33.4	296.1	0.846
3	840	1050	23.5	18.1	276.8	0.790
4	840	1050	8.3	7.8	258.1	0.737

Las cuatro alternativas consideran las condiciones de diseño mencionadas al principio de este parágrafo y poseen eva
poradores y condensadores de dos pasos.

El voltaje de operación es trifásico, de 60 Hz y 440 voltios; de acuerdo con las disponibilidades de energía eléctrica en el hospital.

Un análisis económico de las cuatro alternativas, nos determina que la mejor opción es la tercera, con un costo de \$ 96753,25 FOB (Dólares).

Las velocidades del agua en los tubos del condensador y del evaporador son:

- Condensador:

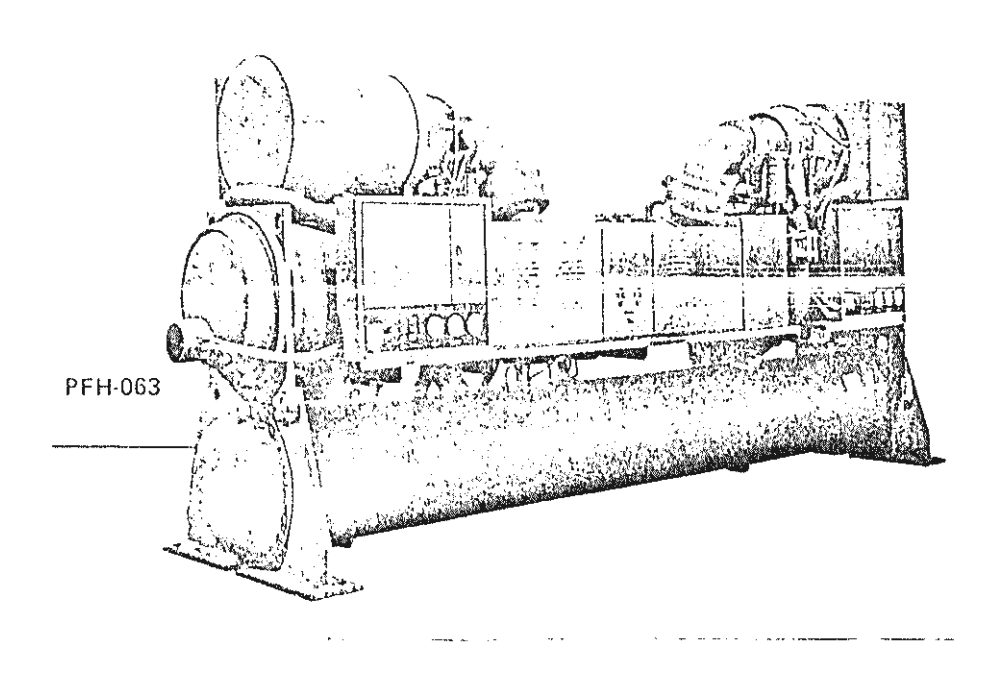
$$V(FPS) = \frac{GPM \text{ diseño}}{GPM \text{ máximo}} \times 10.0 = \frac{1050}{1587} \times 10 = 6.6 \text{ pie/s} (2.0 \text{ m/s})$$

- Evaporador:

$$V(FPS) = \frac{GPM \text{ diseño}}{GPM \text{ máximo}} \times 12.0 = \frac{840}{1454} \times 12 = 6.9 \text{ pie/s (2.1 m/s)}$$

Finalmente, la Fig. 3.4 nos muestra una fotografía del tipo de enfriador de agua seleccionado.

Fig. 3-4
ENFRIADOR DE AGUA SELECCIONADO



CAPITULO 4

REQUERIMIENTOS DE AGUA CALIENTE

4.1 GENERALIDADES SOBRE EL SISTEMA DE AGUA CALIENTE EN HOSPITALES

4.1.1 Parámetros Generales para la Selección de Calentadores de Agua

En general, el diseño de sistemas de agua caliente y de sus equipos componentes está basado en principios de Termodinámica, Transferencia de Calor y Mecánica de los Fluídos.

Esencialmente, tres parámetros interrelacionados son considerados: (1) Tasa de entrada de calor; (2) Capacidad de almacenamiento; y, (3) Flujo de agua caliente de suministro.

Los equipos de calentamiento de agua difieren en su diseño, de acuerdo a la manera en que éstos parámetros estén interrelacionados.

Así, estos equipos pueden clasificarse en:

 "Tipo Instantáneo": con una alta tasa de recuperación y almacenamiento no apreciable.

- 2. "Tipo de Almacenamiento": Con una menor tasa de recupera ción y una significativa capacidad de almacenamiento.
- 3. "Tipo Semi-instantáneo": Es una variación de los dos tipos básicos, que consiste en un arreglo de equipos con una limitada capacidad de almacenamiento y con una combinación de un intercambiador de calor y un sistema de control proyectado para obtener una temperatura constante de agua caliente.

El término "tasa de recuperación" se refiere al flujo de <u>a</u> gua caliente que debe ser repuesto mientras ésta se utiliza.

La selección de los equipos calentadores de agua, necesita un cuidadoso análisis de las variaciones de la demanda de flujo durante las 24 horas del día, la duración de los períodos de carga pico y de la temperatura requerida.

4.1.2 Estudio de la Demanda de Agua Caliente en Hospitales

En una investigación realizada en 129 edificios de los Esta dos Unidos por el EEI (Edison Electric Institute) en 1969, se obtuvieron datos sobre las demandas de agua caliente de sistemas de tipo "almacenamiento", para varias clases de edificios. 13 de estos edificios fueron hospitales, en los cuales las demandas de agua caliente incluyen lavabos, ver

tederos, duchas, bañeras, equipos de cocina y de limpieza - para uso del edificio.

Cuando haya otros equipos, tales como los de lavandería pesada y de hidroterapia, sus requerimientos adicionales de agua caliente deben ser añadidos a los recomendados.

Las demandas obtenidas para hospitales, fueron las siguientes:

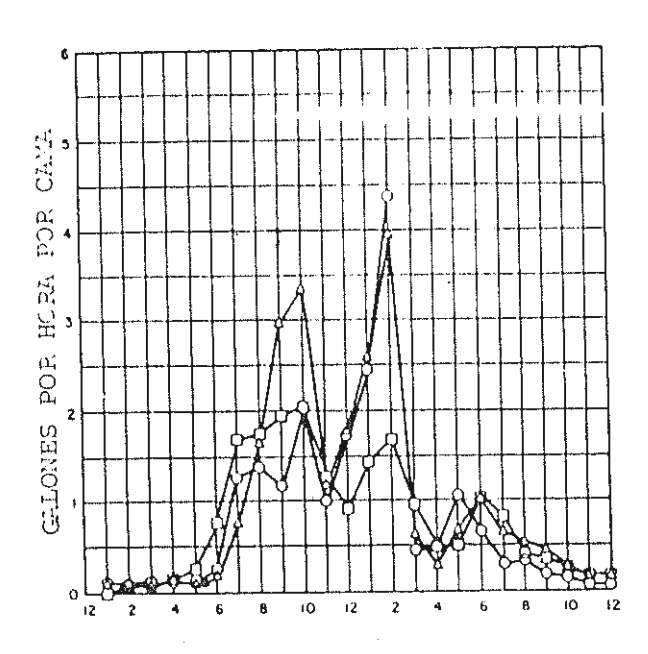
- Demanda horaria máxima: 4.5 gal/cama (17.03 lts/cama)
- Demanda diaria máxima: 30.0 gal/cama (113.55 lts/cama)
- Demanda diaria promedio: 18.4 gal/cama (69.64 lts/cama)

También se obtuvo el perfil horario de flujo para el día de la máxima demanda horaria, para el día en el cual ocurrió - la máxima demanda, y para el promedio de todos los días en los que se hicieron las mediciones. Estas curvas pueden - verse en la figura 4-1.

La figura 4-2 muestra la relación entre la tasa de recupera ción y la capacidad de almacenamiento. Cualquier combinación de estos dos parámetros que caiga dentro de la curva, satisfacerá los requerimientos del edificio. Usando la mí

Fig. 4-1

PERFILES DE DEMANDA HORARIA DE AGUA CALIENTE EN HOSPITALES



O Día en el cual ocurrió la máxima demanda horaria

A Día en el cual ocurrió el máximo consumo diario

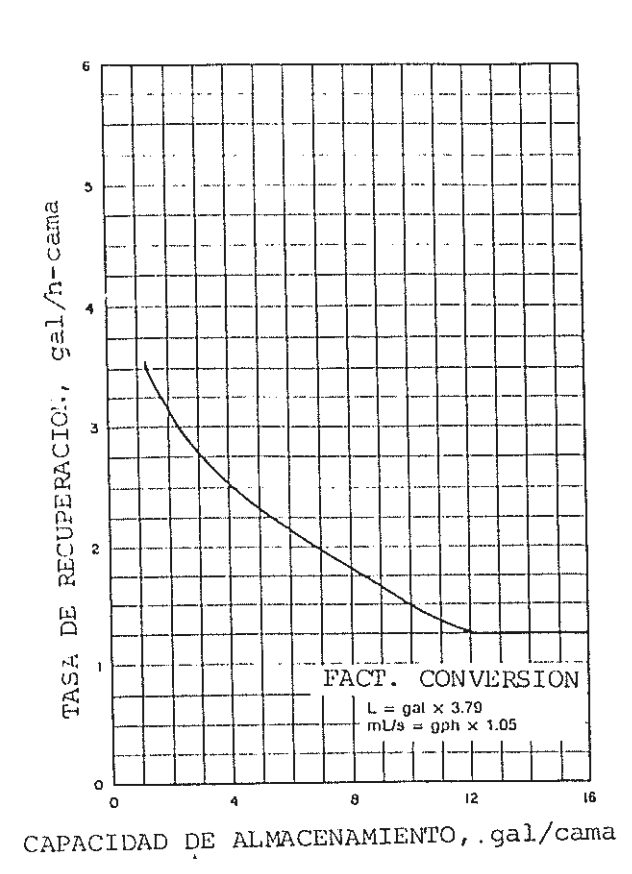
D Promedio de todos los días durante las pruebas

FUENTE: ASHRAE Handbook of Systems, 1976.

Fig. 4-2

TASA DE RECUPERACION VS. CAPACIDAD

DE ALMACENAMIENTO PARA HOSPITALES



FUENTE: ASHRAE Handbook of Systems, 1984.

nima tasa de recuperación y la máxima capacidad de almacena miento, nos llevará a seleccionar el equipo de menor capacidad que logrará cubrir las demandas del hospital. Mientras mayor sea la tasa de recuperación, mayor será la capacidad del equipo calentador y menor será el almacenamiento requerido.

Cuando queremos diseñar con baja capacidad de almacenamiento, estamos en el caso de los calentadores semi-instantáneos.

El cálculo de las demandas de agua caliente para sistemas tipo "almacenamiento", se realiza sumando los flujos de agua en galones por minuto de cada aplicación, los cuales están tabulados en la tabla 4-1. Para obtener la demanda máxima probable, se multiplica el resultado de la sumatoria de todos los flujos, por un factor de demanda, cuyo valor es -0.25 para hospitales.

Cuando el diseño requiere de sistemas tipo "instantáneo" o "semi-instantáneo", el cálculo de la demanda de agua caliente se lo hace por el método Hunter, (12), el cual consiste en obtener el número total de unidades (fixture units) del sistema y luego con este dato, entrar a las figuras 4-3 ó -4-4 (curva B), para encontrar la demanda máxima probable.

El cálculo del número de unidades (fixture units) debe ha-

TABLA 4-1

DEMANDAS DE AGUA CALIENTE POR APLICACION PAPA VAPIOS TIPOS DE EDIFICIOS

(Galones de agua por hora, por aplicación, calculados a una temp. final de 140°F - (60°C)

ESCUELA	20 7 7 7 7 7 7 7 7 7 7 7 7 7 7 7 7 7 7 7	20 15 1.00
RESIDENCIA PRIVADA	4 1 5 2 2 2 2 2 2 2 2 2 2 2 2 2 2 2 2 2 2	0.30
OFICINA	. 5 30 1 1 6 2 3	20 10 0.30 2.00
INDUSTRIA	2 12 12 12 12 20 20 20 20 20 20 20 20 20 20 20 20 20	30 15 0.40
HOTEL	2 8 20 3 3 30 28 10 75	27 10 0.25 0.80
HOGPITAL	20 20 20 3 20 10 10 400 600	165 20 10 0.25 0.60
GIMMASIO	20 30 12 1 2 2 2 2 2 2 3 2 3 3 4 4 4 4 4 4 4 4 4 4	0.1.00 0.1.00
CLUB	2 6 20 20 3 20 28 10 150 20	0.30
DEPARTAMENTO	2 4 2 2 4 2 5 2 4 2 5 2 5 2 5 5 5 5 5 5	s 0.30 1.25
APLICACICM	1. Lavabo privado 2. Lavabo público 3. Baneras 4. Lavablatos (a) 5. Lavabo de pies 6. Vertedero Cocina 7. Lavandería 8. Vertedero de Despensa 9. Duchas 10. Vertedero inclinado 11. Duchas hidroterapia 12. Bañeras Hubbard 13. Baños de piernas 14. Paños de brazos	15. Bide (baño de asiento) 16. Baños flujo contínuo 17. Vertederos circulares 18. Vertederos semicirculares 19. Factor de demanda 20. Factor capac.almac. (b)

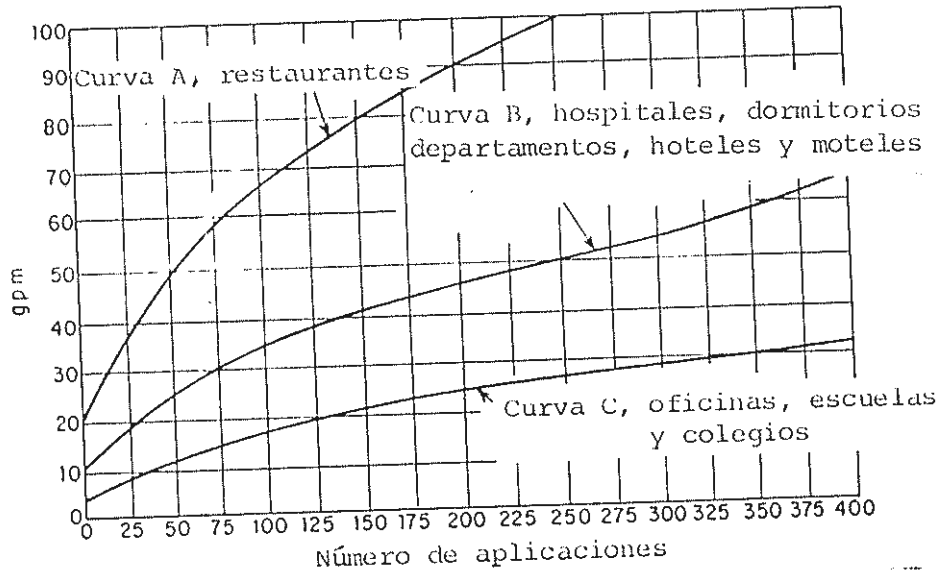
(b) Relación de la capacidad de almacenamiento, a la demanda máxima probable horaria. La capacidad de almacenamiento puede ser reducida cuando se cuenta con una gran disponibilidad de vapor. (a) Los riquerimientos de los lavaplatos deben ser tomados de los datos del fabricante, si es que son conocidos.

FUENTE: ASHDAE Handbook of Systems (1984)

Fig. 4-3

CURVA MODIFICADA DE HUNTER PARA FLUJOS

DE AGUA CALIENTE (hasta 400 aplicaciones)

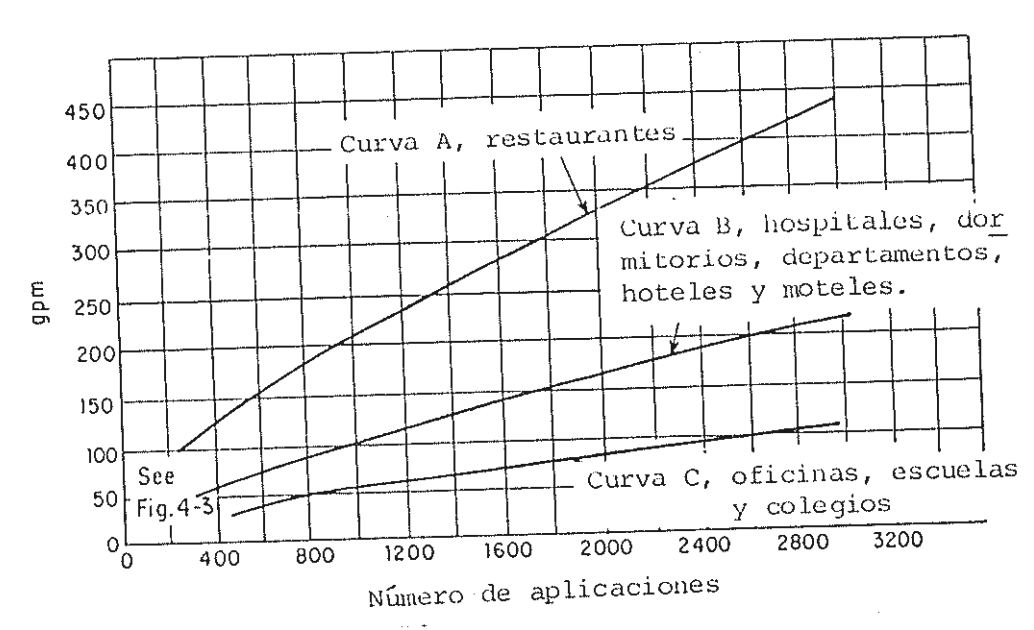


FUENTE: Practical Plumbing Design Guide, 1979.

Fig. 4-4

CURVA MODIFICADA DE HUNTER PARA FLUJOS

DE AGUA CALIENTE (hasta 3000 aplicaciones)



FUENTE: Practical Plumbing Design Guide, 1979.

TABLA 4-2

DEMANDA DE AGUA CALIENTE EN F.U. (FIXTUPE UNITS)

(AGUA A 143°F (60°C))

Layabos privados Layabos públicos Bañeras Lavaplatos Baño terapéutico Vertedero de despensa Vertedero inclinado 1.5 Vertedero inclinado 1.5	2	0.75 0.75	0.75 0.75 1.5 1.5 0.75 2.5 2.5 2.5	0.75 0.75 0.75 0.75 1.105721A 9 0.75 0.75 0.75 0.75 0.75 0.75 0.75 0.75	0.75 0.75 1 1 DE CAPACIDAE 3 3 4	0.75	0.75 0.75 1 0.75 2.5 2.5 2.5
Variedero circular Variedero semicircular	2,5	7.5	1.5	i t	· m	1	,

* En aplicaciones donde el principal uso es duchas, como gimnasios, o al final de la jornada de trabajo, en in dustrías, use un factor de conversión de 1.00 para obtener el flujo de diseño en GPM.

FUENTE: ASHRAE Handbook of Systems, 1984.

cérselo en base a la tabla 4-2. Cuando se desconoce el número de aplicaciones del edificio, se recomienda usar un factor de 2.5 F.U. (fixture units) por cada cama hospitalaria, aunque dicha estimación generalmente da demandas un poco mayores, comparadas con el conteo efectivo de las unidades (fixture units).

Todas las aplicaciones que requieran de flujo de agua cont \underline{i} nuo, deben ser añadidas a los GPM obtenidos por las figuras 4-3 ó 4-4.

4.1.3 Principios Generales para Diseñar Sistemas de Agua Caliente

Existen numerosas recomendaciones y principios básicos para el diseño eficiente de sistemas de agua caliente. A continuación presento los principios generales más importantes y de mayor uso en esta tesis.

- (1) Provea a la cocina de un sistema separado de agua caliente (140°F - 60°C).
- (2) Provea a las lavanderías con lavadoras de tipo comercial de un sistema separado de agua caliente (180°F - 82.2°C). Si son grandes, incluya equipos recuperadores de calor y calentadores tipo "almacenamiento", para la elevación de temperatura requerida.

- (3) Los calentadores de agua deben ser del tipo "semi-ins tantáneo" con control de calor, a menos que circunstancias especiales requieran de otro tipo.
- (4) Cuando la energía eléctrica es la fuente de calor, los calentadores deben ser del tipo "almacenamiento", para minimizar el consumo eléctrico (Kw), para calentamiento.
- (5) Para hospitales, grandes lavanderías y cocinas, y otras áreas donde el servicio es crítico, deben proveerse dos calentadores, cada uno a mitad de capacidad.
- (6) Aproveche cualquier fuente de calor rechazado para el precalentamiento del agua.
- (7) Provea todos los sistemas de agua caliente con circulación forzada, de líneas de recirculación hasta el calen tador. (Con el fin de conservar la temperatura de traba jo). Para hospitales, grandes lavanderías y cocinas, y otras áreas críticas, las bombas de circulación deben instalarse en sistemas "duplex", cada una para capaci dad completa.
- (8) Diseñe el sistema de tuberías de manera de llegar a to dos los puntos de servicio, con una distribución bien planificada y balanceada, tratando de evitar lazos de

subcirculación o complicadas rutas de las líneas principales.

- (9) Dimensione apropiadamente el sistema de circulación de agua caliente, para obtener una operación económica y eficiente.
- (10) Provea al sistema de válvulas atemperadoras, en los lu gares donde es posible el sobrecalentamiento del agua.
- (11) Provea de válvulas termostáticas de mezcla, donde se requiera un control preciso de la temperatura.
- (12) Los calentadores deben ser preferiblemente localizados en la parte inferior del sistema.

4.2 DATOS SOBRE LOS REQUERIMIENTOS DE AGUA CALIENTE POR ZONAS

4.2.1 Requerimientos de Temperatura

Para el cálculo de agua caliente, se consideraron tres zonas con las siguientes temperaturas de diseño:

- 1) Zona del hospital propiamente dicha 140°F (60°C)
- 2) Alimentación y dietética 140°F (60°C)

3) Lavandería

180°F (82.2°C)

4.2.2 Cálculo Total de la Demanda de Agua Caliente

El cálculo de la demanda de agua caliente, se hizo en base al número de camas hospitalarias, considerando 2.5 F.U. por cama.

Así:

120 camas
$$\times \frac{2.5 \text{ F.U.}}{\text{cama}} = 300 \text{ F.U.}$$

De la figura 4-3, la demanda máxima probable es de 55 GPM - (3.47 lts/seg).

A falta de datos disponibles sobre perfiles de demanda \underline{du} rante las 24 horas del día para hospitales locales, se toma ron como base los resultados de la investigación citada en 4.1.1.

Demanda máxima horaria = 4.5 gal/cama x 120 camas = 540 gal

Demanda máxima diaria = 30.0 gal/cama x 120 camas = 3600 "

Demanda promedio diaria = 18.4 gal/cama x 120 camas =2208 "

El cálculo de la demanda correspondiente a la lavandería, -

se lo realizó considerando un flujo máximo de 4 gal/h(15.14 lt/h), por cada libra de ropa de capacidad de las máquinas lavadoras.

GPM =
$$\frac{\text{Capac.(lb)} \times 4}{60} = \frac{250 \times 4}{60} = 16.67 \text{ GPM (63.09 Lts/min).}$$

Estos 16.67 GPM están incluídos dentro del gran total de 55 GPM, ya que la capacidad de lavado es pequeña, y por lo tanto está considerada en la figura 4-3.

CAPITULO 5

SELECCION DEL EQUIPO RECUPERADOR DEL CALOR

5.1 GENERALIDADES SOBRE LA BOMBA DE CALOR INDUSTRIAL

La bomba de calor es un dispositivo capaz de extraer energía de una fuente de calor a baja temperatura, y amplificarla a una mayor temperatura, permitiéndole así un uso o aprovechamiento más efectivo.

La mayoría de las bombas de calor operan con un ciclo de compresión de vapor, aunque también hay algunas que operan con el ciclo de absorción, el ciclo de Rankine, y otros.

5.1.1 Ciclo Termodinámico

Termodinámicamente, la bomba de calor ideal es denominada "Ciclo de Carnot Invertido", el cual puede ser usado con fines de refrigeración o de calentamiento.

El coeficiente de performance (COP) para esta segunda aplicación está definido como la relación entre el calor desarrollado y el trabajo requerido para lograr el fin anterior.

Alternativamente, en el caso de un ciclo ideal, el COP pue de expresarse en función de las temperaturas absolutas de - la fuente de calor (T_C) y del fluído procesado (T_H) .

$$COP = \frac{TH}{TH - TC} *$$

(*) Las temperaturas deben estar en escala absoluta (grados Rankine ó grados Kelvin).

Analizando la relación anterior, vemos que el COP disminuye a medida que la temperatura del fluído procesado aumenta. Por esta razón, es muy importante determinar con buen criterio la temperatura requerida en el proceso y así llegar a seleccionar la bomba de calor más apropiada.

En el mundo real de las bombas de calor industriales, varios factores impiden lograr los coeficientes de performance teóricos obtenidos a partir del ciclo ideal de Carnot.

Por ejemplo:

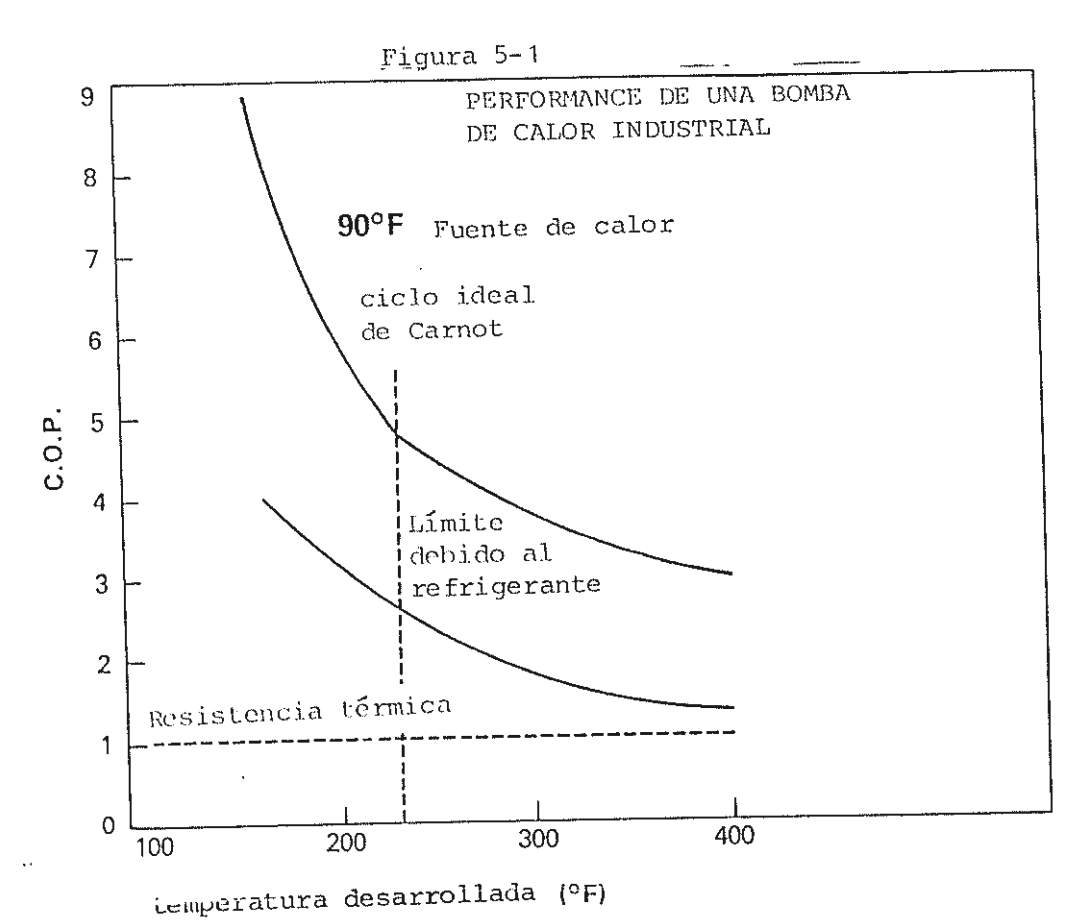
- Para lograr los flujos de calor, el evaporador debe trabajar a una temperatura inferior a $T_{\rm C}$, y el condensador a una temperatura superior a $T_{\rm H}$.
- En los compresores, hay pérdidas ocasionadas por la fric-

ción de fluídos, válvulas, pérdidas de calor a través de las paredes del compresor, eficiencia del motor, y pérdidas por rozamiento.

La figura 5-1 nos presenta los COP esperados en una instala ción industrial, con una fuente de calor a 90°F.

La curva superior muestra el COP ideal, mientras que la inferior muestra el COP real.

Es importante notar que el COP disminuye al aumentar la te $\underline{\mathbf{m}}$ peratura final del proceso.



No debe inferirse de esta introducción que una determinada bomba de calor industrial es capaz de desarrollar un amplio rango de temperaturas de agua caliente, ya que para un funcionamiento óptimo, los componentes del sistema deben ser seleccionados de acuerdo con el tipo de aplicación, conside rando la temperatura de la fuente de calor, la temperatura requerida en el fluído de proceso y la capacidad de calentamiento que se necesita.

5.1.2 Cómo Funciona la Bomba de Calor Industrial?

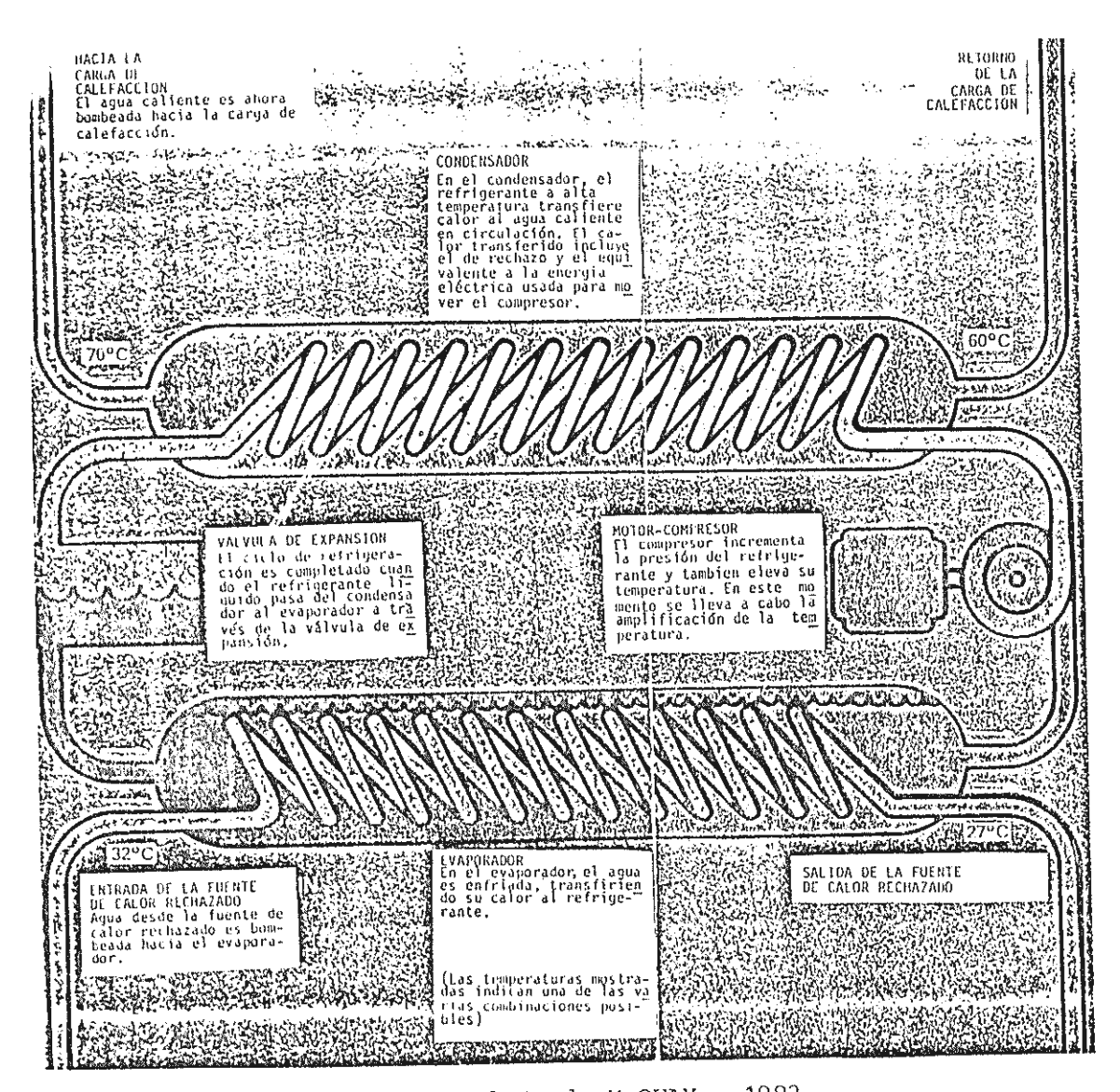
Una bomba de calor industrial usa los principios de refrigeración para aprovechar calor de rechazo de torres de enfriamiento, plantas industriales y otras fuentes de energía de bajo grado, (temperaturas cercanas a la ambiental).

La figura 5.2 explica claramente el funcionamiento de una - bomba de calor industrial, con un ciclo de compresión de va por.

5.1.3 Aplicaciones

El uso de bombas de calor industriales se hace cada vez ma yor, ya que convierte calor rechazado en calor útil, conser va combustibles escasos, y opera con energía eléctrica, que es confiable y segura. Como fuente de calor, se puede apro

Figura 5-2
FUNCIONAMIENTO DE UNA BOMBA DE CALOR INDUSTRIAL



FUENTE: Boletín Internacional TP de McQUAY. 1982.

vechar el agua de enfriamiento en un sinnúmero de procesos:
- Hornos metalúrgicos
- Máquinas de soldadura
- Compresores de aire
- Moldes de inyección
- Máquinas de extrusión
- Procesos de refrigeración
- Condensadores de vapor
- Sistemas de aire acondicionado central
- Procesos industriales en general.
A su vez, la aplicación del uso de bombas de calor puede ser muy variada, siendo unos pocos ejemplos:
- Sistemas de agua caliente

- Sistemas de calefacción

- Precalentamiento del agua de alimentación a calderos
- Procesos de lavado
- Procesos en la industria alimenticia (limpieza, cocción, pasteurización, etc.)
- Procesos de secado.

5.2 SELECCION DE LA BOMBA DE CALOR "TEMPLIFIER"

La bomba de calor que seleccionaré es denominada "Templifier", - construída por McQuay bajo licencia Westinghouse. Es un equipo - diseñado para trabajar bajo condiciones severas de servicio, en aplicaciones industriales, comerciales o institucionales.

Pueden generar agua caliente entre los 120°F (49°C) y 220°F (104°C) en un amplio rango de capacidades de calentamiento. (desde 30 Kw - térmicos hasta 6000 Kw).

Para la selección de la bomba de calor, hay que considerar los siguientes datos:

- Máxima demanda instantánea: 55 GPM (3.47 lts/seg)

- Máxima demanda horaria: 540 gal (2043.9 lts)

_	Temperatura	del	agua	caliente:	140°F	(60°C)
	_				,	

- Temperatura del agua de la ciudad: 80°F (26.67°C)
- Temperatura del agua usada como fuente de calor: 100°F (37.78°C)
- Minima carga de enfriamiento del sis tema de aire acondicionado: 420 MBTU/H(123.09 KW)
- Caudal disponible de agua usada como

 fuente de calor: 1050 GPM (66.24 lts/
 seg)

Considerando la máxima demanda horaria, tendremos el punto de par tida para la selección de la bomba de calor.

$$Q = mcp \Delta T =$$

$$Q = 540 \text{ gal/h } \times 8.33 \text{ lb/gal } \times 1 \text{ BTU/lb-°F } \times (140-80) \text{°F}$$

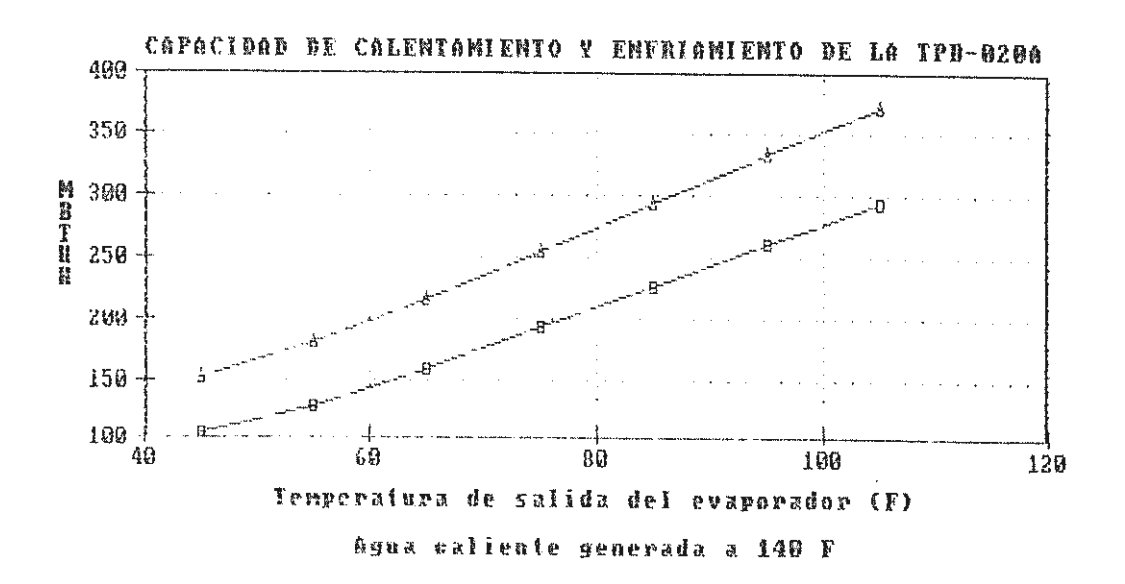
 $Q = 269892 \text{ BTU/h} \approx 270 \text{ MBTU/H}$ (79.13 kW).

Consultando el catálogo 1200 de las bombas de calor "Templifier", la bomba de calor de menor capacidad, la TPB-020, satisface los - requerimientos del hospital.

Por lo tanto, el modelo seleccionado es el TPB-020-A, que permite la generación de agua caliente a una temperatura máxima de $140\,^{\circ}\text{F}$ (60°C).

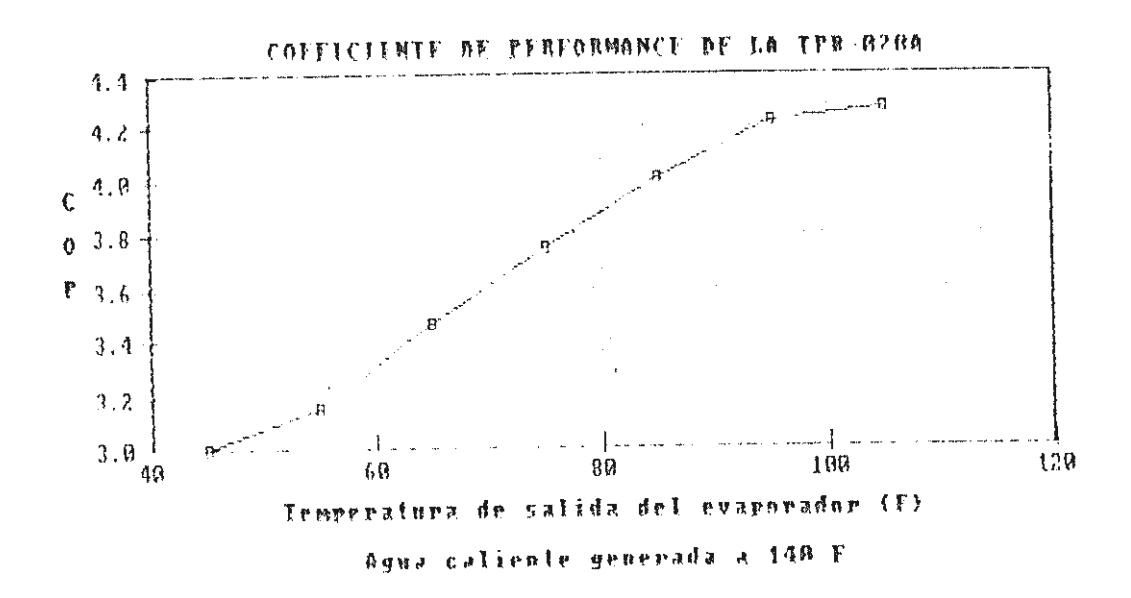
Las curvas de funcionamiento de esta bomba de calor, están presentadas a continuación, en las figuras 5-3, 5-4 y 5-5.

Figura 5-3



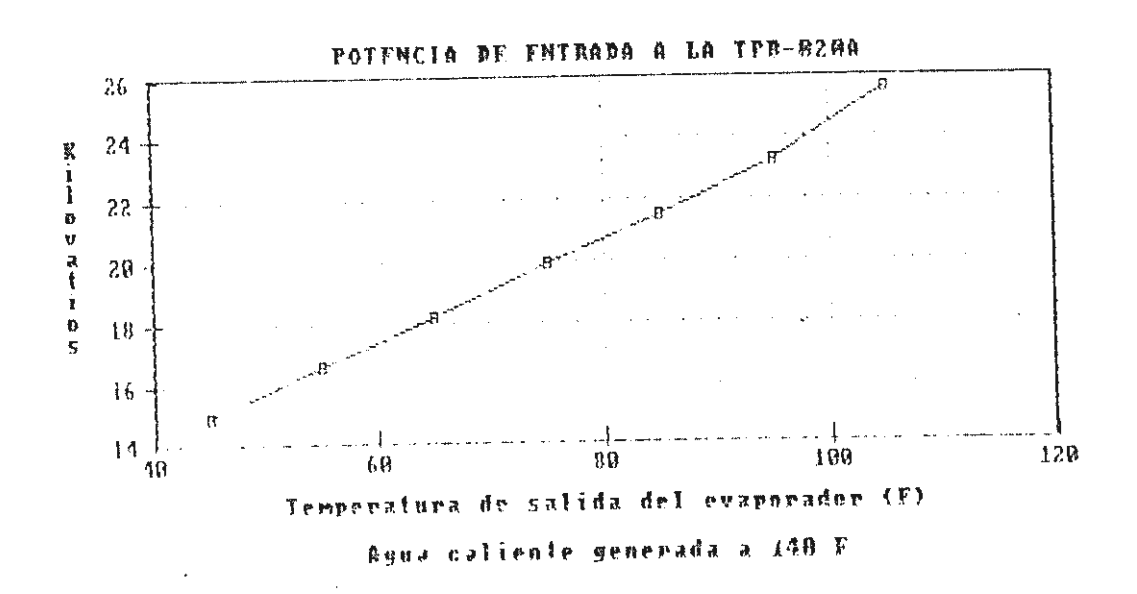
FUENTE: Catálogo 1200 McQUAY.

Figura 5-4



FUENTE: Catálogo 1200 McQUAY.

Figura 5-5



FUENTE: Catálogo 1200 McQUAY

Para la obtención de los caudales de agua, consideré las siguientes temperaturas de estado estable:

- Temperatura de entrada al condensador: 130°F (54.44°C)
- Temperatura de salida del condensador: 140°F (60.00°C)
- Temperatura de entrada al evaporador: 100°F (37.78°C)
- Temperatura de salida del evaporador: 90°F (32.22°C)

De la figura 5-3, cuando la temperatura de salida del evaporador es 90°F, las capacidades de calentamiento (condensador) y de enfriamiento (evaporador), son respectivamente, 314 MBTU/H y 244 MBTU/H.

Entonces:

GPM (Condensador) =
$$\frac{\text{Cal. (MBTU/H)}}{\Delta \text{T(°F)} \times 0.500} = \frac{314}{10 \times 0.500} = 62.8 \text{ GPM}$$

GPM (Evaporador) =
$$\frac{\text{Enfriam. (MBTU/H)}}{\Delta \text{T(°F)} \times 0.500} = \frac{244}{10 \times 0.500} = 48.8 \text{ GPM}$$

De las figuras 5-4 y 5-5 puede verse que bajo estas condiciones, - la potencia de entrada requerida es 22.35 KW y el COP es 4.12.

La bomba de calor seleccionada puede proporcionar 62.8 GPM de a-gua a 140°F (60°C), aún en el caso de que el sistema de aire acondicionado tenga una carga de enfriamiento del 10% de la carga \underline{pi} co.

El tiempo que el sistema se demora en llegar a las condiciones es tables de operación, es muy difícil de calcular, pues depende de la temperatura del agua de recirculación y de la demanda instantá nea de agua caliente. Sin embargo, a continuación haré una estimación aproximada, asumiendo lo siguiente:

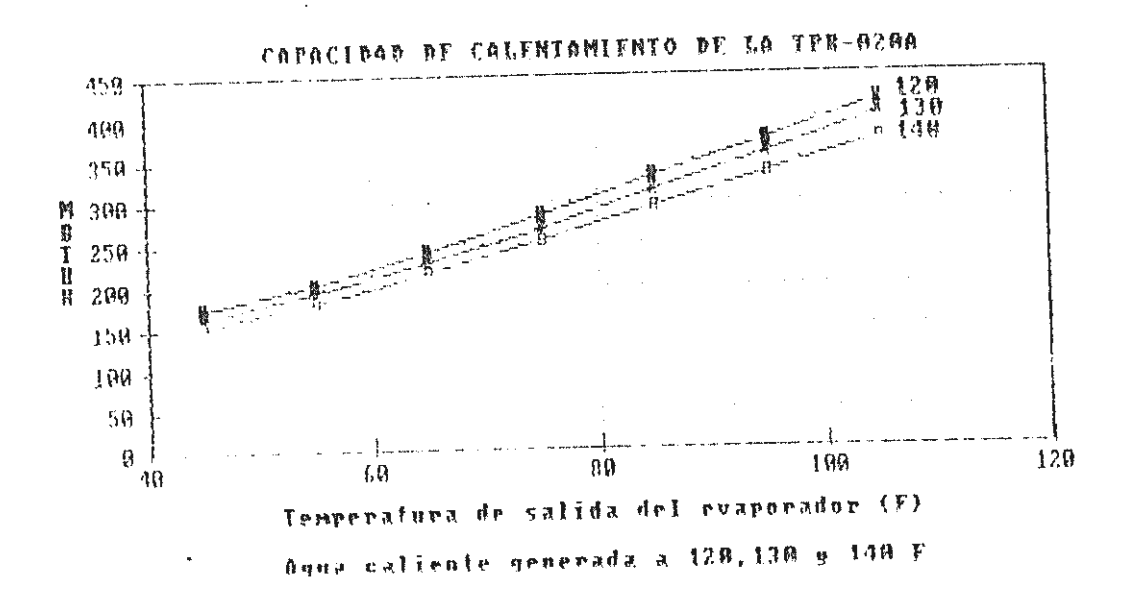
- Capacidad de almacenamiento: 2000 gals. (7570 lts)
- No hay pérdidas de calor
- No hay demanda de agua caliente.

La figura 5-6 nos da la capacidad de calentamiento de la bomba de calor a diferentes temperaturas de salida del agua caliente.

Tomando los puntos correspondientes a una temperatura de salida - del evaporador de 90°F (32.22°C) y linealizando la curva obtenida por el método de los mínimos cuadrados, se obtiene la ecuación:

Capac. (MBTU/H) = -1.85 T + 574

Figura 5-6



FUENTE: Catálogo 1200 McQUAY

donde,

Capac. = Capacidad en MBTU/H

T = Temp. de salida del agua caliente en °F

La capacidad promedio estará dada por:

$$\frac{1}{\dot{Q}} = \frac{\int_{T_1}^{T_2} \dot{Q} dT}{T_2 - T_1} = \frac{\int_{100}^{140} (-1.85 \text{ T} + 574) dT}{140 - 100}$$

$$\frac{7}{0} = \frac{1}{40} \left[-\frac{1.85 \text{ T}^2}{2} + 574 \text{ T} \right]^{140} = 352 \text{ MBTU/H}$$

El calor requerido para calentar 2000 galones de agua, desde 80°F hasta 140°F, es:

$$Q = 2000 \text{ gal x } \frac{8.33 \text{ lb}}{\text{gal.}} \times \frac{1 \text{ BTU}}{\text{lb-°F}} \times 60^{\circ}\text{F} \frac{1 \text{ MBTU}}{1000 \text{ BTU}} = 999.6 \text{ MBTU}$$

Luego t =
$$\frac{Q}{\dot{O}} = \frac{999.6 \text{ MBTU}}{352 \text{ MBTU/h}} = 2.84 \text{ hrs.}$$

Este cálculo aunque es muy teórico, nos da una idea del tiempo - que tarda el sistema en llegar a las condiciones de operación. En todo caso, este tiempo será menor de 5 horas.

La bomba de calor seleccionada tiene 2 condensadores de 4 pasos

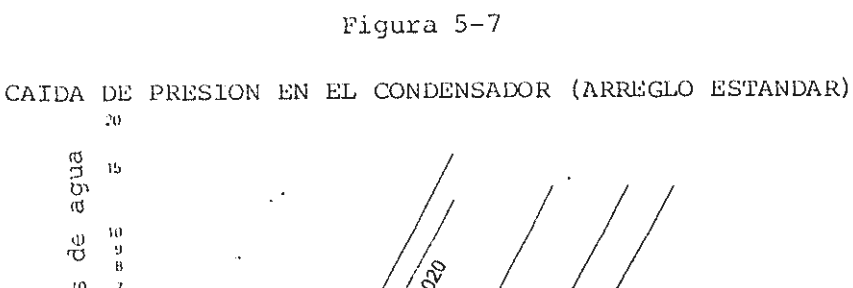
conectados en paralelo, circulando por cada uno, el 50% del ca \underline{u} dal de aqua.

El caudal mínimo permisible es 20 GPM (1.26 lts/seg) y el máximo es de 80 GPM (5.05 lts/seg); por lo tanto, el flujo calculado - cae dentro del rango permitido.

Las caídas de presión, tanto en el evaporador como en el arreglo de condensadores, puede obtenerse con ayuda de las figuras 5-7, 5-8 y 5-9, tomadas del catálogo 1200 de McQUAY.

Caída de presión = 7.8 pies de agua x 0.926 = 7.22 pies de agua en el condensador (2.20 mts. de agua).

Caída de presión = 14.0 pies de agua (4.27 mts de agua) en el eva porador.



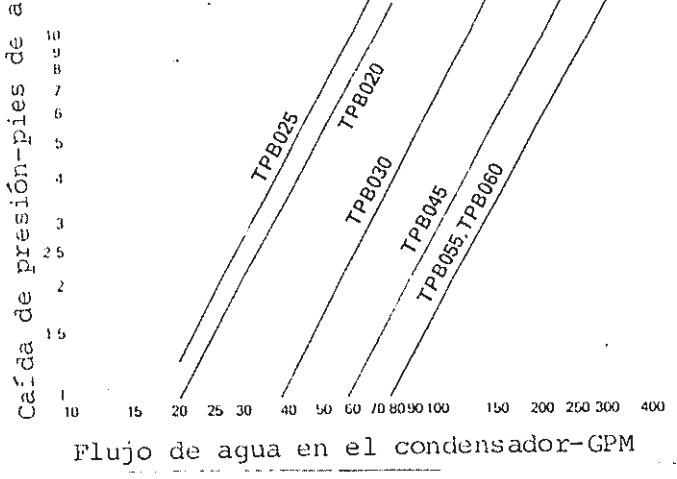
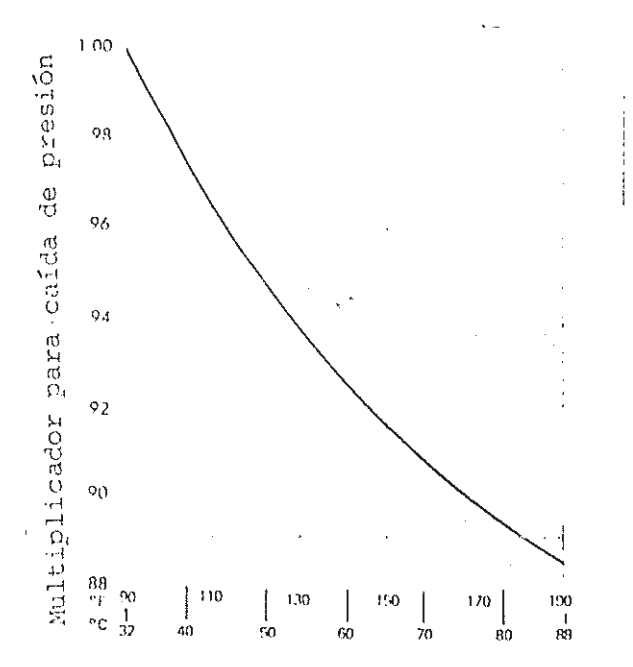
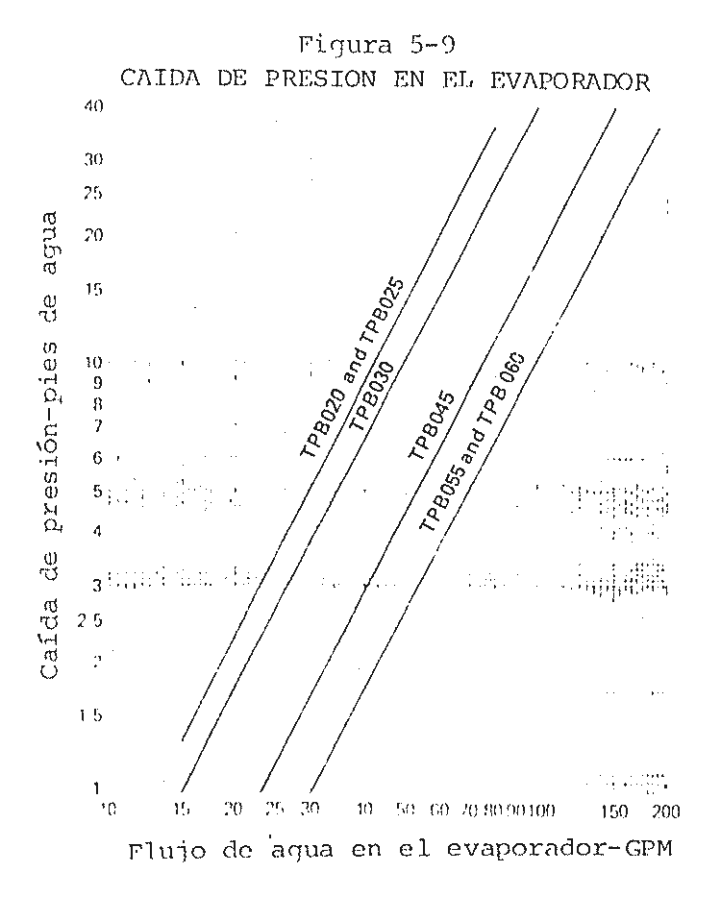


Figura 5-8 MULTIPLICADOR PARA LA CAIDA DE PRESION



Temperatura promedio del agua caliente



CARACTERISTICAS DE DISEÑO DE LAS BOMBAS DE CALOR MCQUAY TEMPLIFIER, MODELO TPB

Son bombas de calor disponibles para la mayoría de aplicaciones comerciales e industriales. Están completamente ensambladas en la fábrica y por lo tanto, son enviadas listas para operar una vez hechas las conexiones de agua y eléctricas.

Son de operación silenciosa y el sistema incluye múltiples motocompresores herméticos, controles de operación y de seguridad, fuente de poder interna, control de conexiones y carga de refrigerante puesta en fábrica. Cada compresor opera con su condensador en un circuíto separado. La variación de la capacidad de la unidad se realiza por la operación cíclica de los compresores, en respuesta a las variaciones en la temperatura de retorno del agua caliente.

El centro de control tiene termostatos cíclicos para la operación de los compresores, y no permite el arranque simultáneo de dos o más de ellos. Además, tiene arrancadores para los motores, switches ON-OFF, indicadores de luces y manómetros de succión y descarga, en cada compresor.

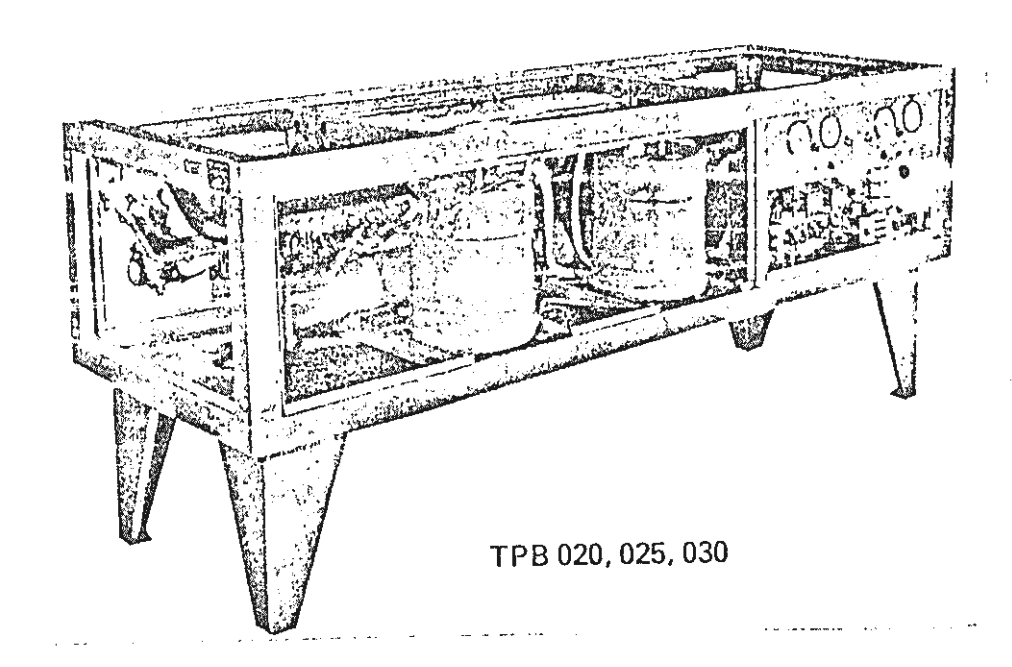
La unidad entera es ensamblada y soportada en un bastidor de acero, que encierra y protege todos sus componentes de daños físicos; permitiendo el acceso a sus instalaciones y controlando la emisión de ruídos a un nivel muy bajo. La unidad puede estar ubicada cerca de espacios ocupados.

El evaporador es de expansión directa, con un haz de tubos de cobre, accesible por el lado del agua, para su inspección, limpieza y reemplazo, en caso de ser necesario.

Los condensadores son del tipo multitubular, con tubos aleteados, para mayor eficiencia. Los cabezales de agua son desmontables y permiten la limpieza de los tubos. La coraza está aislada con una cubierta de caucho resistente a alta temperatura.

La figura 5-10 nos muestra una fotografía de la bomba de calor seleccionada.

Figura 5-10 BOMBA DE CALOR SELECCIONADA



CAPITULO 6

DISEÑO COMPLETO DEL SISTEMA Y OBTENCION DE RESULTADOS EN BASE A CRITERIOS DE OPERACION

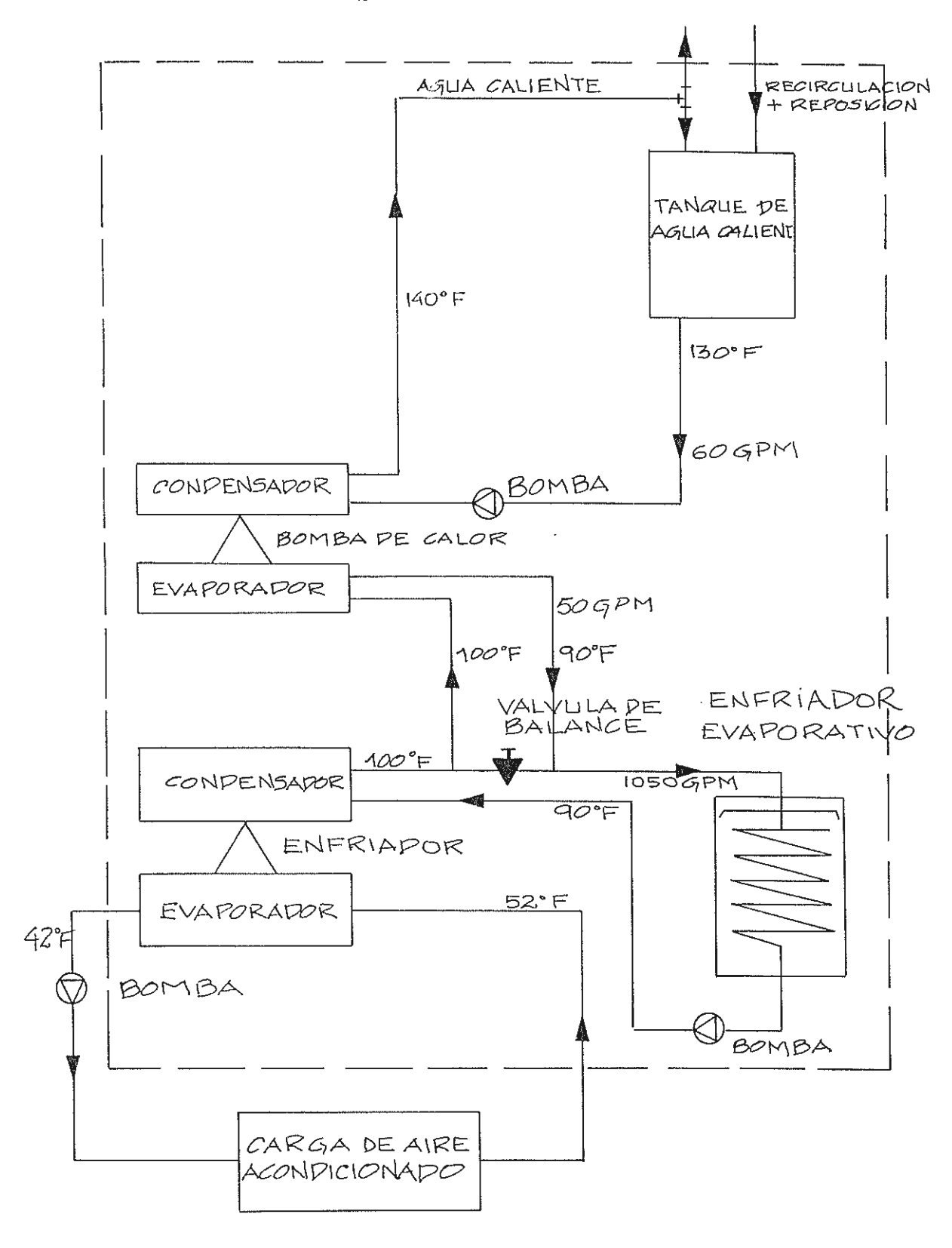
El acople del sistema de agua caliente con el sistema de aire acondicionado puede observarse esquemáticamente en la Fig. 6-1.

El enfriador tiene la función principal de enfriar el agua que servirá como fluído de trabajo de las unidades de acondicionamiento de aire de todo el hospital.

El agua del circuito del condensador del enfriador después de retirar el calor del refrigerante, aumentará su temperatura, y requerirá un proceso de enfriamiento, el cual se llevará a cabo en un enfriador evaporativo y en el evaporador de la bomba de calor. La tubería que provee de agua a dicho evaporador enviará un flujo constante, cu ya temperatura será de 100°F (37.8°C), cuando la carga de aire acondicionado esté en su valor pico, y que será un poco menor para otras cargas del edificio.

La función principal de la bomba de calor se llevará a cabo en su con densador, donde se calentará el agua del servicio de agua caliente -- del hospital.

DIAGRAMA ESQUEMATICO DE ACOPLE DE SISTEMAS



El uso del tanque de almacenamiento se hace necesario porque el servicio de agua caliente es intermitente y varía durante el día.

A dicho tanque, llega el agua caliente recirculada por todo el hospi tal, más la que debe ser repuesta debido al consumo que se tenga.

Las temperaturas y flujos mostrados en la figura 6-1, representan el funcionamiento del sistema cuando la carga de aire acondicionado es tá en su valor máximo.

Es importante notar que el flujo de agua que es desviado hacia la -bomba de calor, es apenas el 4.76% del flujo total que circula por - el enfriador evaporativo. En otras palabras, en este caso, nuestra fuente de calor es exageradamente grande para las necesidades de la bomba de calor seleccionada, de manera que aunque la carga de a condicionamiento de aire baje a un 10% de su valor máximo, nuestro - equipo generador de agua caliente podrá seguir funcionando, según se verá más adelante.

El amálisis de ingeniería que se hará en este capítulo, se concentrará en el área encerrada en el rectángulo de rayas mostrado en la Fig. 6-1; es decir, que no incluirá la distribución de agua helada ni la de agua caliente por los diferentes puntos de servicio del hospital.

6.1 SELECCION DE LA TORRE DE ENFRIAMIENTO

La torre de enfriamiento será del tipo "ciclo cerrado", también

denominada enfriador evaporativo, con el fin de disminuir el efecto de las incrustaciones provocadas por la dureza del agua.

El calor que deberá extraérsele al agua del enfriador será el - correspondiente para bajarse su temperatura hasta 90°F (32.2°C).

Entonces:

Q = m x
$$c_p$$
 x ΔT = GPM x .5 x ΔT = 1050 x .5 x 10 = 5250 MBTU/H

Los otros datos necesarios para la selección son:

Temperatura de entrada del agua: 100°F (37.78°C)

Temperatura de salida del agua: 90°F (32.22°C)

Temperatura de bulbo húmedo: 80°F (26.67°C)

Rango: $100 - 90 = 10^{\circ}F$ (5.55°C)

Aprox.: $90 - 80 = 10^{\circ}F$ (5.55°C)

Factor de Capacidad: 0.64 (Tabla 6-1)

Q (corregido): $5250 \times 0.64 = 3360 \text{ MBTU/H}$ (984.5 Kw)

De la tabla 6-2 con el caudal y la capacidad corregida, escojo el modelo PMW-174C.

La caída de presión se la obtiene de la tabla 6-3 y es igual a - 10.5 psi (24.26 pies de agua ó 7.39 metros de agua).

El modelo seleccionado tiene dos ventiladores de flujo axial, uno de 7.5 HP (5.59 Kw) y el otro de 15 HP (11.19 Kw), con un flujo - máximo total de 87500 CFM (41.3 m3/s).

El control de capacidad del enfriador evaporativo se realiza en base a la operación de los motores de los ventiladores, con dos velocidades, 1800/900 RPM. Este arreglo permite obtener capacida des del 10% con los ventiladores apagados, del 60% con los ventiladores a media velocidad y del 100% con alta velocidad. El con trol se lleva a cabo en respuesta al valor dado por un sensor de temperatura, que trabaja con intervalos de 5°F (2.8°C), para e vitar el excesivo ciclaje de los ventiladores.

La bomba que produce el efecto "ducha" en el enfriador evaporativo, tiene un motor de 5 HP (3.73 Kw), y maneja un caudal de 510 GPM (32.17 lits/s).

TABLA 6-1

FACTORES DE CAPACIDAD

PARA ENFRIADORES EVAPORATIVOS EVAPCO

TEMPERATURA BULBO HUMEDO = 80°F												
R A N G O												
Aprox.	_8°	10°	<u>12°</u>	<u>14°</u>	<u>16°</u>	<u>18°</u>	<u>20°</u>	22°	24°	26°	28°	30 °
7°	. 85	.78	. 72	.67	.62	.58	.55	.52	.49	.47	.45	.43
8°	. 79	.73	.67	.62	.58	.55	.52	.49	.46	.44	.42	.40
9°	. 73	.68	.63	.58	.55	.52	.49	.46	.43	.41	. 39	. 38
10°	. 69	.64	.59	.55	.52	.49	.47	.44	.41	. 39	.37	, 36
11°	.65	.60	.56	.53	.50	.47	.45	.42	.40	. 38	. 36	. 35
12°	.62	.57	. 54	.50	.47	.45	.42	.40	. 38	. 36	. 35	. 34
13°	.58	.55	.51	.48	.45	.43	.40	. 38	. 36	. 35	. 34	. 33
14°	.56	.52	.49	.46	.43	.41	.38	. 36	. 35	. 34	. 33	. 32
15°	.53	.50	.47	.44	.42	. 39	.37	. 35	. 34	.33	. 32	. 31
16°	.51	.48	.45	.42	.40	.38	. 36	. 34	. 33	. 32	.31	. 30
17°	.49	.46	.43	.41	.38	. 36	. 35	. 33	. 32	.31	. 30	.29
18°	.47	.44	.42	. 39	.37	.35	. 34	. 32	. 31	. 30	.29	.28
19°	.45	.43	.40	.38	. 36	. 34	.33	.31	. 30	. 29	.28	.27
20°	.44	.41	. 39	.37	.35	.33	. 32	. 30	.29	.28	.27	.26
21°	.43	.40	.37	. 35	. 34	.32	.31	.29	.28	.27	.26	. 25
22°	.41	.38	. 36	. 34	.33	.31	. 30	.28	.27	. 26	. 25	. 24
23°	. 39	.37	. 35	.33	.32	.30	. 29	.27	.26	.25	.24	.23
24°	.38	. 36	. 34	. 32	.31	. 29	.28	.26	.25	. 24	.23	.22
25°	. 36	. 34	.33	.31	.30	.28	.27	.25	. 24	.23	.22	.21

FUENTE: Catálogo 202A de EVAPCO

TABLA 6-2
TABLA PARA SELECCION DEL ENFRIADOR EVAPORATIVO EVAPCO

FLU	JO-GPM	CAPAC	IDADES-M	BTU/H		
900	1000	1100	1200	1300	1400	1500
1860	1920	1960	2000	2030	2070	2110
2000	2050	2090	2130	2170	2200	2240
2170	2240	2280	2320	2 360	2390	2430
2550	2620	2660	2700	2740	2770	2810
2960	3080	3150	3190	3230	3270	3310
3230	3330	3420	3480	35 30	3590	3650
	900 1860 2000 2170 2550 2960	1860 1920 2000 2050 2170 2240 2550 2620 2960 3080	900 1000 1100 1860 1920 1960 2000 2050 2090 2170 2240 2280 2550 2620 2660 2960 3080 3150	900 1000 1100 1200 1860 1920 1960 2000 2000 2050 2090 2130 2170 2240 2280 2320 2550 2620 2660 2700 2960 3080 3150 3190	900 1000 1100 1200 1300 1860 1920 1960 2000 2030 2000 2050 2090 2130 2170 2170 2240 2280 2320 2360 2550 2620 2660 2700 2740 2960 3080 3150 3190 3230	900 1000 1100 1200 1300 1400 1860 1920 1960 2000 2030 2070 2000 2050 2090 2130 2170 2200 2170 2240 2280 2320 2360 2390 2550 2620 2660 2700 2740 2770 2960 3080 3150 3190 3230 3270

FUENTE: Catálogo 202A de EVAPCO

TABLA 6-3

CAIDA DE PRESION

ΛJ	IDA	DE	PRESION	(PSI) I	LUJO-	GPM			
	100	00	1100		1200		1300	 1400		1500
	5. 6. 7.	4 6 2 9	6.2 7.7 9.3 7.5 9.6	3	7.2 9.1 10.9 8.8 11.3		8.4 10.5 12.7 10.2 13.1	9.6 12.1 14.5 11.7 15.0		10.9 13.7 16.5 13.3 17.0
	7. 9.		9.6 11.5		11.	_	_	 	3 13.1 15.0	3 13.1 15.0

FUENTE: Catálogo 202A de EVAPCO

6.2 SELECCION DE BOMBAS, VALVULAS Y ACCESORIOS PARA EL SISTEMA TOTAL

6.2.1 Tuberías

Básicamente, existen dos tipos de sistemas de distribución de fluídos. Los sistemas de lazo abierto son aquellos en los que alguna parte del circuito está abierta a la atmósfera. Los sistemas de lazo cerrado no tienen conexión con la atmósfera, razón por la cual se hace necesaria la instala - ción de un tanque de expansión y de un separador de aire. - El tanque de expansión protege al sistema de daños causados por cambios de volumen, debidos a variaciones en la tempera tura, y también provee espacio para el aire removido por el separador. Los sistemas de lazo cerrado operan ligeramente

presurizados, de manera que el ciclo completo se efectúe sobre la presión atmosférica.

Los sistemas de lazo abierto deben ser diseñados para velocidades de 5 á 10 pies/s (1.5 á 3.0 m/s). El ruído generado por el fluído no es de importante consideración para es te caso, mientras que minimizar el dimensionamiento de tube rías es un factor económico importante a considerarse. Velocidades sobre los 10 pies/s (3.0 m/s) originan grandes pérdidas de presión, que requieren bombas de mayor tamaño y costo.

Los sistemas de lazo cerrado pasan comúnmente por zonas ocupadas, donde el ruido generado es un factor importante a considerarse. Por esta razón, se impone un límite de velocidad de 4 pies/s (1.2 m/s) para tuberías de diámetro menor o igual a 2" (50.8 mm), y para tuberías de mayor diámetro, la norma es tener una caída de presión máxima de 4 pies de agua por 100 pies de tubería (0.4 KPa/m).

En ambos tipos de sistema es importante hacer un diseño balanceado, a fin de prevenir ajustes drásticos por medio de válvulas y obtener un sistema silencioso. Además, un buen diseño requiere el uso adecuado de válvulas, filtros, juntas de expansión y de instrumentos (medidores de flujo, termómetros, manómetros, etc.).

Selección del Tipo de Tubería y Dimensionamiento

La tubería que seleccioné para este proyecto es de acero al carbono, sin costura, cédula 40, cuyo material cumple con la norma ASTM A-53, grado A. Este tipo de tubería se usa en todo tipo de aplicaciones industriales para conducción - de vapor, agua fría, agua caliente, gases no corrosivos y aire, en un rango de temperatura desde -20°F (-29°C) hasta 750°F (400°C). Sus especificaciones pueden verse en la tabla A-10.

Los resultados del dimensionamiento de tubería para los circuítos considerados en esta tesis, están en la tabla 6-4.

TABLA 6-4
CALCULO DE TUBERIAS

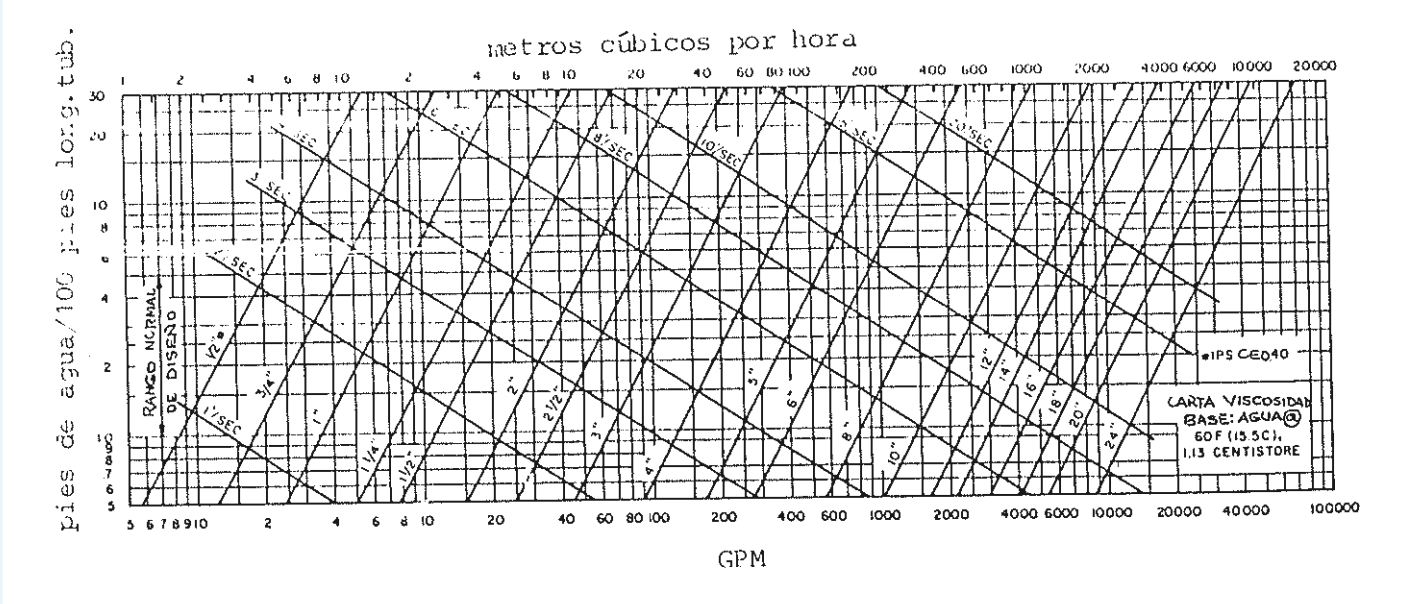
CIRCUITO	GPM	DIAM. (Pulg.)	Δp (p/100 p)	VELOC. (pie/s)
Agua enf. chiller	1050	8	1.70	7.0
Evap. de TPB-020A	50	2.5	1.90	3.4
Cond. de TPB-020A	60	2.5	2.70	4.0

Las caídas de presión y velocidades se obtuvieron de la Fig. 6-2, una vez seleccionado el diámetro en base al flujo y a los criterios de diseño mencionados anteriormente.

Fig. 6-2

PERDIDAS POR FRICCION PARA AGUA EN TUBERIA

COMERCIAL DE ACERO (CEDULA 40)



Fuente: ASHRAE Handbook of Fundamentals, 1981.

Accesorios para la Tubería

Los accesorios para la tubería tales como codos, tes, bridas, etc., serán de acero al carbono, material según ASTM A-234 y dimensiones según ANSI B16.9 radio largo. Las uniones soldadas se harán con electrodos 6011, con una capa de penetración y una de acabado, para tuberías entre las 2" y las 4" de diámetro; y con dos capas de penetración y una de acabado, para tuberías de diámetro mayor a 4".

6.2.2 <u>Válvulas</u>

El manejo de fluídos no es concebible sin válvulas. Ellas significan un rubro importante en los gastos de sistemas de aire acondicionado y agua caliente.

Un sistema diseñado con equipos de gran confiabilidad puede fallar a causa del uso inadecuado de válvulas, o por falta de ellas en sitios claves.

Los materiales usados en la fabricación de válvulas dependen de las variaciones en el tamaño de la tubería, temperatura, presión y condiciones corrosivas.

De acuerdo con la función que cumplen las válvulas, éstas - pueden clasificarse en:

- 1. De servicio abierto-cerrado (ON-OFF)
- 2. De estrangulamiento
- 3. De prevención de contraflujo
- 4. De control
- 5. Válvulas especiales

Me referiré brevemente a las principales válvulas operadas manualmente, que corresponden a los numerales 1, 2 y 3 en la clasificación anterior.

Válvulas de Compuerta

Sus ventajas son: flujo completo sin restricciones, baja - caída de presión, diseño aceptable para todo tipo de mate - riales y aplicaciones. Sus desventajas son: no están diseñadas para estrangular flujos, no son recomendadas para uso frecuente, limitadas a líquidos relativamente limpios, no tienen buen sello de estanco.

Válvulas de Globo

Sus ventajas son: sirven para estrangulamiento y control - de flujo; permiten un uso frecuente debido a su excelente - resistencia al desgaste por erosión; tienen asientos de - buen calibre; alta resistencia estructural del cuerpo a la deformación; hay variados diseños de asientos y discos para todo tipo de aplicaciones; son de fácil reparación del asiento y permiten mantenimiento en línea. Sus desventajas son: no producen flujo recto; generan turbulencias que oca sionan un incremento en la caída de presión; son más costosas que las de compuerta.

Válvulas de Retención Oscilante

Sus ventajas son: pueden ser instaladas en posición horizontal o vertical; tienen baja caída de presión; son adap tables a todo tipo de materiales. Sus desventajas son: no tienen buen sello estanco; no se recomienda su uso en flujos pulsátiles; pueden generar golpe de ariete.

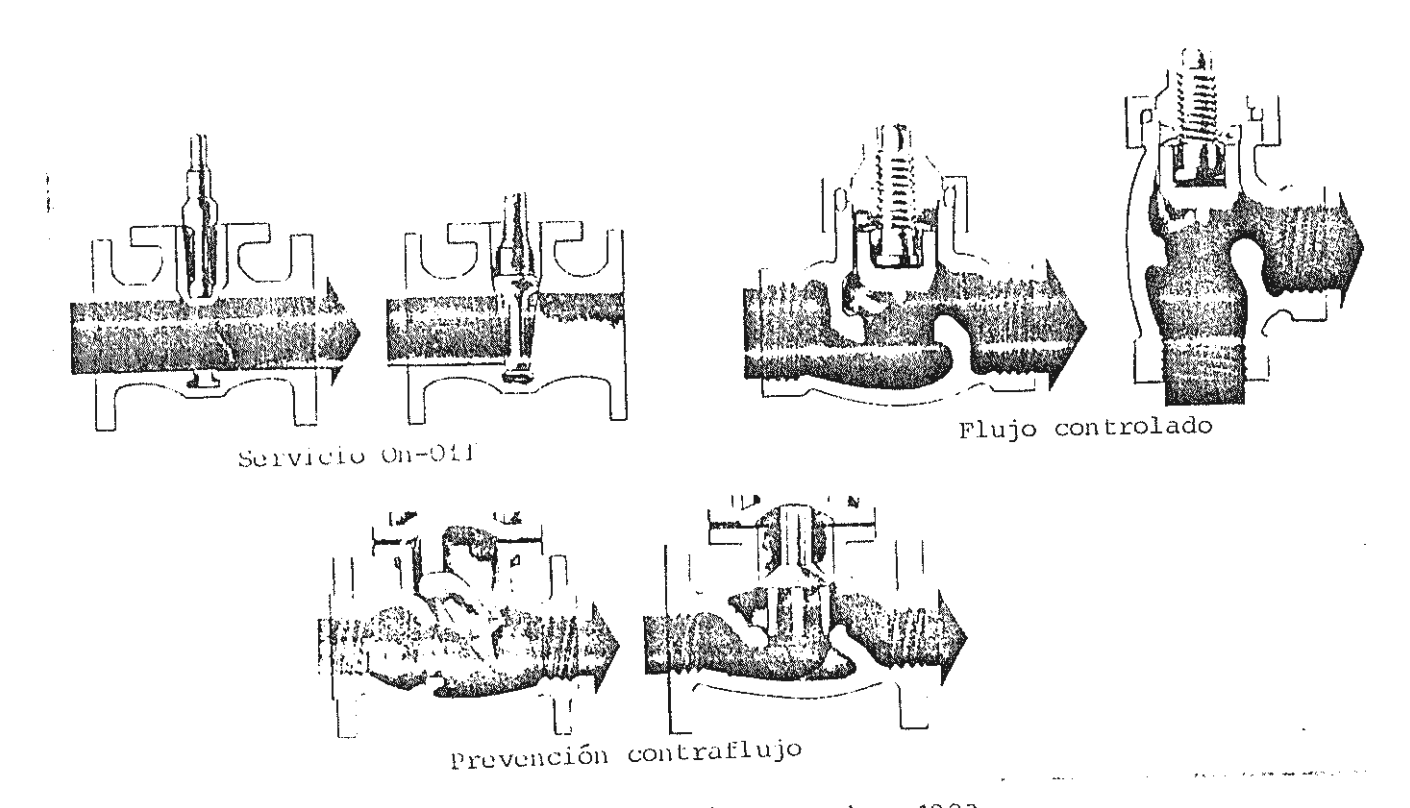
Válvulas de Retención de Cierre Vertical

Sus ventajas son: tienen un mejor sello que las oscilantes; pueden usarse con flujos pulsátiles. Sus desventajas son: tienen alta caída de presión y restringen el flujo; disponibles sólo en tamaños pequeños; restringidas principalmente a instalaciones horizontales.

Las válvulas mencionadas anteriormente, pueden verse en la Figura 6-3.

Para esta tesis, he seleccionado válvulas para aplicación — en sistemas de temperatura media, cuyas características están resumidas en la tabla 6-5.

Figura 6-3
PRINCIPALES TIPOS DE VALVULAS



Fuente: Heating/Piping/Air Conditioning, Octubre 1983

TABLA 6-5

RANGOS DE PRESION Y TEMPERATURA

DE VARIOS TIPOS DE VALVULAS

FUNCION	DIMENSION (PULG.)	CLASE	TIPO	MATERIAL CUERPO	MATERIAL INTERNO	PRESION TEMPER.
Bloqueo	2-12	125	Compuerta	Hierro	Bronce	200-200
Retención	2-12	125	Oscilante	Hierro	Bronce	200-200
Estrang.	2-12	125	Globo	Hierro	Bronce	200-200

NOTA: Presión en psi

Temperatura en °F

FUENTE: Revista Heating/Piping/Air Conditioning, Octubre 1983.

El hierro fundido debe satisfacer la norma ASTM Al26, Clase A y el bronce la norma ASTM B-62.

6.2.3 Bombas

En aire acondicionado y servicios de agua fría y caliente, se usan bombas centrífugas para crear el flujo requerido en la red de tubería.

En las bombas centrífugas, parte del torque suministrado - por el motor, es convertido en energía de presión por acción de la fuerza centrífuga, la cual es función de la velocidad periférica del impulsor.

La energía de presión entregada al fluído sirve para:

- Vencer la fricción causada por el flujo, a través de los equipos (tuberías, válvulas, enfriadores, serpentines, etc.);
- 2. Elevar el fluído a sitios altos sobre el nivel al que se encuentran las bombas.

Las principales aplicaciones de las bombas centrífugas en - aire acondicionado y calefacción son:

- 1. Agua del sistema de enfriamiento (torre de enfriamiento);
- 2. Agua helada;

- 3. Agua caliente;
- 4. Agua de alimentación a calderos y condensador.

Existen diversos tipos de bombas centrífugas, que se distinguen por el tipo de impulsor, número de impulsores, tipo de carcaza, método de conexión al motor y posición de montaje. En la tabla 6-6 puede verse un resumen de las diferentes - clases de bombas centrífugas con sus respectivas diferencias de diseño.

Selección de Bombas Centrífugas

Para seleccionar una bomba centrífuga es necesario tener in formación acerca de:

- 1. Flujos máximo y mínimo en el sistema;
- 2. Cabezal del sistema en los flujos máximo y mínimo;
- 3. Operación contínua o intermitente;
- 4. Presiones y temperaturas de operación;
- 5. Condiciones ambientales en el lugar del montaje;

- 6. Número de bombas y porcentaje de reserva requerido;
- 7. Características eléctricas disponibles;
- 8. Calidad química del fluído a bombearse.

TABLA 6.6

CARACTERISTICAS DE LAS BOMBAS CENTRIFUGAS

TIPO	TIPO DE	NO. DE		CONEXION	POSICION
11PO	IMPULSOR	IMPULSORE:	CARCAZA	AL MOTOR	DE MONTAJE
De circulación	Succión simple	Uno	Voluta	Acople flexible	Horizontal
Monobloque, suc- ción en el fondo		Uno ó dos	Voluta	Impulsor monta- do en eje motor	Horizontal
Montada en una base, succión en el fondo	Succión simple	Uno ó dos	Voluta	Acople flexible	Horizontal
Doble succión Horizontal	Succión doble	Uno	Voluta	Acople flexible	Horizontal
Horizontal de e- tapa múltiple	Succión simple	Dos á cin co	Voluta	Acople flexible	Horizontal
Vertical en lí- nea	Succión simple	Uno	Voluta	Acople flex. ó directo eje mo-	Vertical
Turbina Vertical	Succión simple	Uno a vei <u>r</u> te	Difusor	Flexible	Vertical

FUENTE: ASHRAE Handbook of Equipment, 1979.

Selección de la Bomba del Sistema de Enfriamiento

Para la selección de la bomba del sistema de enfriamiento, - se considerará un flujo de 1050 GPM (66.24 lts/seg.), contra un cabezal de 80.2 pies de agua (24.45 m.), el cuál fué obtenido sumando todas las caídas de presión del sistema, - las mismas que se encuentran en la tabla 6-7.

Por lo tanto, la potencia al freno que deberá vencer la bomba asumiendo una eficiencia mecánica del 80%, será:

BHP =
$$\frac{\text{GPM x } \Delta \text{H(pies)}}{\gamma \times 3960} = \frac{1050 \times 80.2}{0.80 \times 3960} = 26.58 \text{ HP}$$

Considerando un factor de servicio igual a 1.15 para el motor eléctrico de la bomba, ésta deberá ser impulsada por un motor de 30 HP.

Se deberá disponer de dos bombas, idénticas, una para servicio normal y una para reserva. Serán de tipo centrífugo, - de una etapa, con cuerpo de hierro fundido, impulsor de - bronce, eje de acero, rodamientos de bolas con graseras y conexiones con bridas. Tendrán sello mecánico con anillo - de acero al carbón y asiento de cerámica.

Las bombas serán del tipo monobloque, su eje girará a 1750 RPM, y la alimentación eléctrica será de 460 V, 60 Hz, 3 fa

ses. Los motores de las bombas serán del tipo a prueba de goteo, con devanado de cobre, ventilación interna y rodamientos de bolas.

TABLA 6-7

CAIDA DE PRESION A VENCER POR LA

BOMBA DEL SISTEMA DE ENFRIAMIENTO

TUBERIA O ACCESORIOS	LONGITUD EQUIVALENTE (PIES)
Tubería de 8"	115.0
(12) Codos 90° 8"	84.0
(4) Tees 8"	96.0
(6) Válvulas de compuerta 8"	19.2
(1) Válvula de retención 8"	90.0
(1) Filtro de 8"	300.0
(1) Separador de aire	100.0
804.2 pies x $\frac{0.017 \text{ pies agua}}{\text{pie}}$ = 13.67 pies de agua	804.2
Tubería de 2.1/2"	33.0
(2) Codos 2.1/2"	5.8
(2) Reducciones de 8"aa 2.1/2"	25.0
(3) Válvulas de compuerta 2.1/2"	8.1
(1) Válvula de globo 2.1/2"	77.0
148.9 pies x $\frac{0.019 \text{ pies agua}}{\text{pie}} = 2.8 \text{ pies de agua}$	148.9
Condensador del "chiller" 18.1 pies de agua	
Serpentín Cond. Evap. 24.3 pies de agua	
Evaporador Bomba Calor 14.0 pies de agua	
ΔP_{TOTAL} (pies de agua) = 1.1 (72.9) = 80.2 pies de a	gua agua)

TABLA 6-8

CA1DA DE PRESION A VENCER POR LA BOMBA DE

CIRCULACION ENTRE LA BOMBA DE CALOR Y LOS

TANQUES DE ALMACENAMIENTO

TUBERIA O ACCESORIOS	LONGITUD EQUIVALENTE (PIES)
Tubería 2 1/2"	60.0
(6) Codos 2 1/2"	17.4
(3) Tees 2 1/2"	22.5
(1) Filtro 2 1/2"	28.0
(5) Válvulas compuerta 2 1/2"	13.5
(l) Válvula de Globo 2 1/2"	77.0
(1) Válvula de retención 2 1/2"	21.0
	239.4

239.4 pies x $\frac{0.027 \text{ pies agua}}{\text{pie}} = 6.46 \text{ pies de agua}$

Condensador de la bomba de calor 6.22 pies de agua

 $\Delta P_{\text{TOTAL}} = 1.1 \text{ (13.68)} = 15.05 \text{ pies de agua}$

Selección de la Bomba de Circulación entre los tanques de
Agua Caliente y la Bomba de Calor

Esta bomba deberá manejar 60 GPM contra un cabezal de 15 - pies de agua, cuyo cálculo está en la tabla 6-8.

Asumiendo una eficiencia mecánica del 60%, la potencia al freno será:

BHP =
$$\frac{60 \times 15}{0.60 \times 3960} = 0.379 \text{ HP}$$

Considerando un factor de servicio igual a 1.25, la potencia requerida en el motor de la bomba será de 1/2 HP.

Las especificaciones de esta bomba serán iguales que las - mencionadas anteriormente, excepto la alimentación eléctrica que ahora será 220 V, 60 Hz, una fase y una velocidad de 1750 RPM.

6.2.4 Aislamiento Térmico

Los aislantes térmicos son materiales o combinaciones de ellos, que al estar correctamente aplicados, retardan el flu
jo de calor en sus tres formas de transmisión: conducción,
convección y radiación.

Al retardar el flujo de calor, pueden cumplir una o más de las siguientes funciones:

- Conservan energía al reducir pérdidas o ganancias de calor en tuberías, ductos, tanques, equipos y estructuras.
- Controlan la temperatura de la superficie exterior de equipos, para protección personal y control.
- Facilitan el control de temperatura en procesos industria les.
- Previenen la condensación de vapor en superficies cuya temperatura es inferior a la del punto de rocío del aire.
- Reducen fluctuaciones de temperatura dentro de un sistema cerrado, cuando no se necesita calentamiento o enfriamiento.

Aparte de estas funciones, hay otras como la reducción de ruido y vibraciones, la protección de equipos a una exposición directa al fuego, etc.

Aislamiento para Tuberías Calientes

Los tres factores más importantes a considerarse en la selec

ción de aislamiento para tuberías son: límites de temperatura de servicio, rendimiento térmico y costo (compra e instalación).

Los aislantes térmicos más usados en tuberías calientes son:

(1) Fibra de vidrio; (2) Silicato de calcio; y, (3) Lana mineral.

Para nuestro estudio, escogeré como aislante para la tubería y tanque de agua caliente (140°F - 60°C), lana mineral, por razones de disponibilidad en el mercado local.

La lana mineral tiene un coeficiente de conductividad térmi ca K = 0.27 Btu/(hr) (pie2) (F/pulg), a una temperatura me dia de 115°F (46.1°C). (0.039 W/m-°C).

El estándar ASHRAE 90A-1980 establece una pérdida de calor máxima de 25 Btu/hr-pie² para tuberías sobre el piso, y de 35 Btu/hr-pie² para tuberías subterráneas, calculándose la máxima pérdida de calor a un $\triangle T$ equivalente a la máxima temperatura del agua, menos una temperatura ambiental no mayor a 65°F (18.3°C).

Para calcular el espesor de aislamiento adecuado en la tubería que conduce el agua caliente desde la bomba de calor - hasta el tanque, usaré la siguiente expresión:

$$q_S = \frac{\text{to - ta}}{\text{rs ln}(r_S/r_0) k + \frac{1}{h}}$$

donde:

qs = calor transferido al ambiente en BTU/hr por pie² de superficie exterior de aislamiento.

t_a = temperatura del aire ambiente en °F.

 t_0 = temperatura de la superficie interior del aislamien to, en °F.

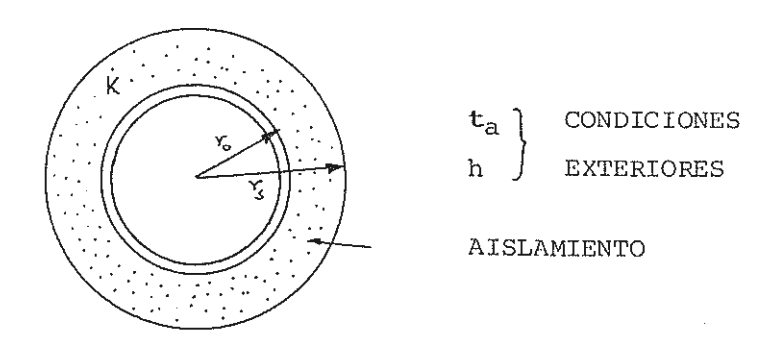
 r_{O} , r_{S} = radios en pulgadas, según Fig. 6-3.

k = conductividad térmica del aislamiento a la temperatura media, en BTU-pulg/hr-pie²-°F.

h = coeficiente de película exterior, en $BTU/hr-pie^2-°F$

ln = logaritmo neperiano.

Figura 6-4
DIAGRAMA ESQUEMATICO DE TUBERIA AISLADA



Para calcular el flujo de calor por pie cuadrado de superficie exterior del tubo, usaré la siguiente relación:

$$q_0 = q_s(r_s/r_0)$$

donde,

 $q_{\rm O}$ = flujo de calor en BTU/hr por pie cuadrado de área exterior del tubo.

Los datos usados para calcular el espesor de aislamiento - son los siguientes:

t - 65°F (18.3°C), según ASHRAE 90A-1980;

 $t = 140 \, ^{\circ}F \, (60 \, ^{\circ}C);$

 $h = 1.46 \text{ BTU/hr-pie}^2 - {}^{\circ}\text{F}$ (8.29 W/m²- ${}^{\circ}\text{C}$)

r = 1.438 pulgadas (radio exterior de la tubería de 2 1/2" ced. 40); (36.52 mm)

 $k = 0.27 BTU-pulg/hr-pie^2-°F; (0.039 W/m-°C)$

 $q = 25 BTU/hr-pie^2$. (78.88 W/m²)

Las asunciones hechas son:

- La temperatura de la superficie interior de aislamiento igual a la del agua caliente circulando por el interior de la tubería.
- Radio interior de aislamiento igual al radio exterior del tubo.
- Coeficiente de película para aire tranquilo.

$$- r_S = r_O + L$$

Al sustituir los datos presentados en las ecuaciones ante - riores, se obtiene un radio exterior de 2.33 pulgadas, que nos lleva a un espesor mínimo de aislamiento de 0.895 pulgadas, dato con el cual selecciono un espesor de aislamiento de 1 pulgada. (25.4 mm).

6.2.5 Tanque de Agua caliente

La capacidad de almacenamiento de agua caliente se calcula en base a los siguientes datos:

- Máxima demanda instantánea probable: 3300 gals/hr (871.8
 lts/hr);
- Factor de almacenamiento: 0.60.

De donde,

Capacidad almac. (gals) = 3300 x 0.60 = 1980 gals \approx 2000 gals (7570 lts).

Del cálculo anterior se puede concluir que se necesita un - tanque de almacenamiento, con una capacidad de 2000 galones (7570 litros).

El tanque debe ser cilíndrico, vertical u horizontal, cons

truído de lámina de acero, capaz de resistir 100 psig (6.9 x 10⁵ Pa), con conexiones para entrada de agua de alimentación (fría y de recirculación) y salida de agua caliente, de -2 1/2" (64 mm) de diámetro, con sus respectivas válvulas; ~ válvula de seguridad (presión y temperatura) de 1 1/2" (38 mm) de diámetro; conexión de válvula de purga de fondo de 2 1/2" (64 mm) de diámetro, con su respectiva válvula; conexión para termómetro graduado en grados centígrados, de 0°C a 100°C. El tanque deberá ser aislado con 2" (50.4 mm) de lana de vidrio y terminado con un recubrimiento de lámina de acero de 0.5 mm. de espesor, que garantice la estanqueidad del aisla miento.

Los diagramas esquemáticos de conexión de los equipos seleccionados para el sistema total, pueden verse en las figuras 6-5 y 6-6.

La disposición del enfriador de agua , la bomba de calor y el tanque de agua caliente en el cuarto destinado para la central de aire acondicionado del hospital, también puede verse en la figura 6-7.

6.3 OBTENCION DE PUNTOS DE OPERACION

6.3.1 Enfriador de Agua

Figura 6.5
DIAGRAMA ESQUEMATICO DEL SISTEMA DE AGUA CALIENTE

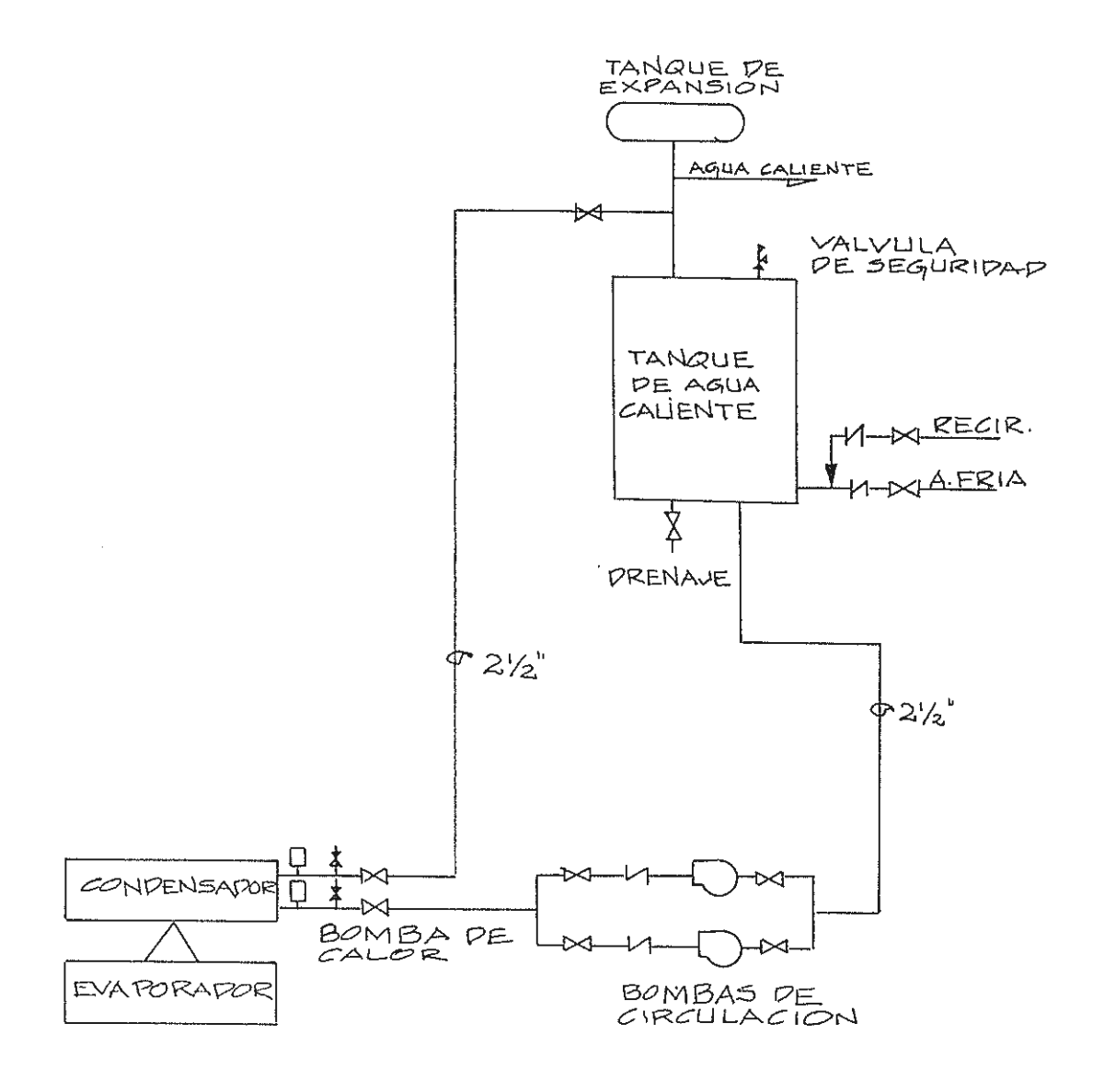
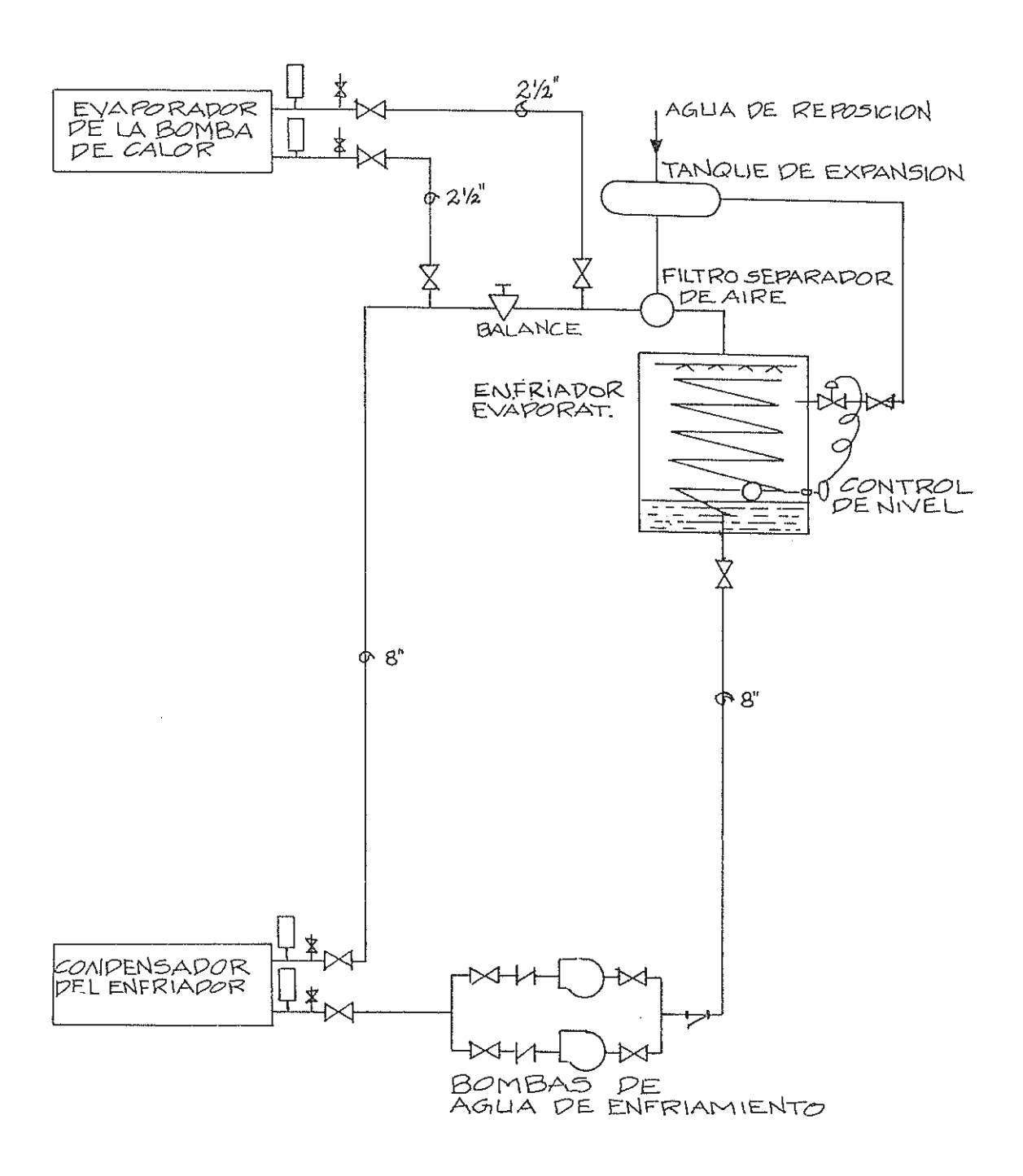
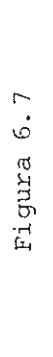
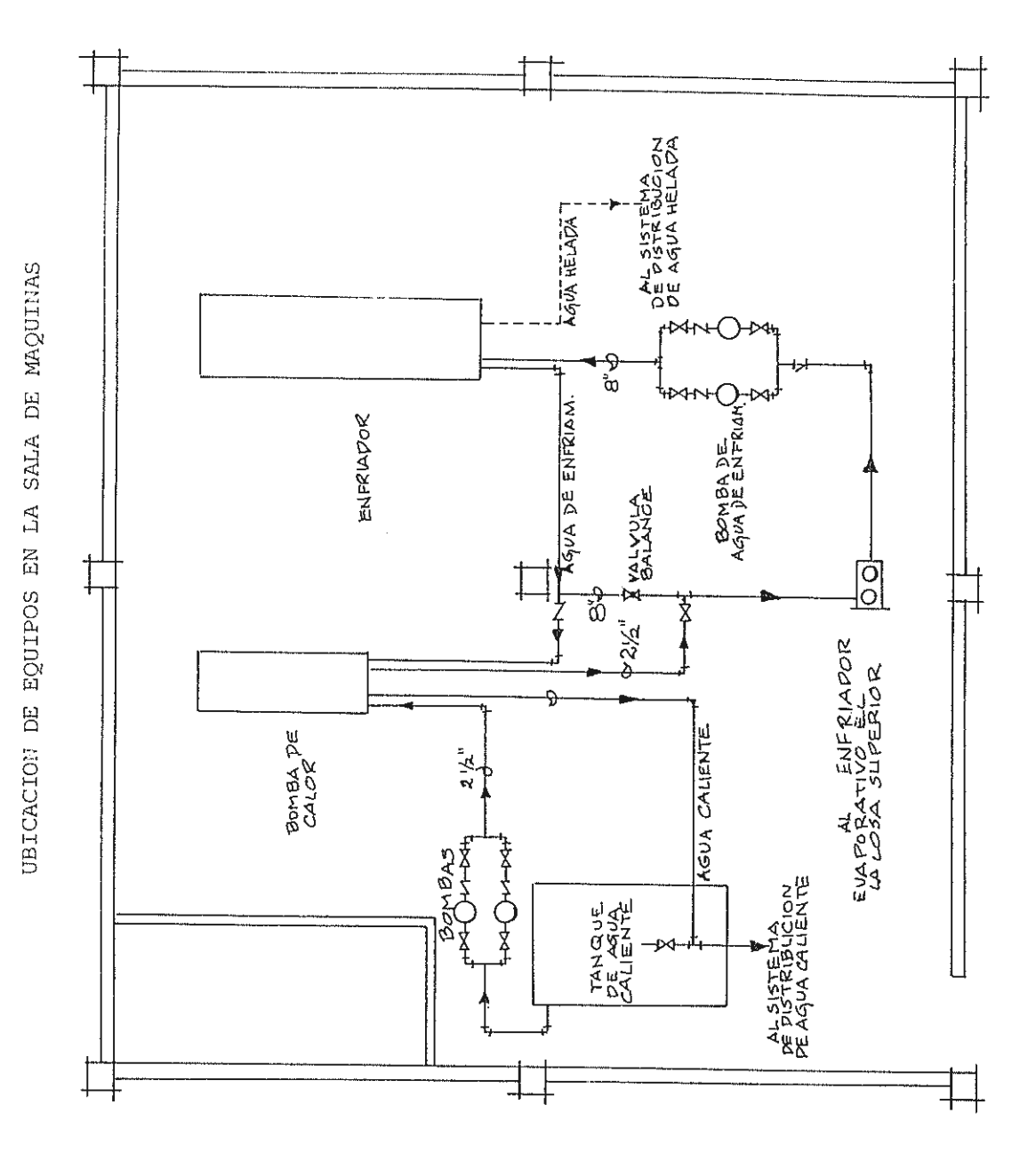


Figura 6.6
DIAGRAMA ESQUEMATICO DEL SISTEMA
DE ENFRIAMIENTO DE AGUA







La selección del enfriador de agua se hizo en base a un punto de operación correspondiente a la máxima carga de enfriamiento. Dicho punto establece los siguientes flujos y temperaturas:

Evaporador:

840 GPM, 42°F/52°F

(53 lts/s, 5.56°C/11.11°C)

Condensador:

1050 GPM, 90°F/100°F

(66.2 lts/s, 32.22°C/37.78°C)

Capacidad:

350 TONS.

Como la carga de enfriamiento cambia durante el día, lógica mente nuestro enfriador deberá tener tantos puntos de opera ción como condiciones de carga.

El enfriador seleccionado es capaz de controlar su capacidad de enfriamiento hasta un 10% de su capacidad neta, manteniendo la temperatura de salida del agua helada a 42 ± 0.5 °F. (5.56 + 0.28°C)

Cuando la carga de enfriamiento es inferior al 10% de la ma xima, el compresor principal del enfriador se apaga, y con él, es aconsejable que se apague la bomba de agua de la torre de enfriamiento, con el fin de ahorrar energía eléctrica, y también para mantener una adecuada separación entre el aceite y el refrigerante dentro del enfriador.

El enfriador de agua seleccionado, tiene un sistema de - control con fines de protección para el equipo, cuyos puntos de ajuste y funciones, se detallan en la Tabla 6-9.

TABLA 6-9

CONTROLES DE SEGURIDAD DEL ENFRIADOR DE AGUA

CONTROL	PUNTO DE AJUSTE	FUNCION
Circuito"Guardistor"	210°F (98.9°C)	Detiene el motor del compresor cuando la temperatura del deva nado se aproxima a límites in seguros.
Presión de descarga alta	150 psig (1.03x10 ⁶ Pa)	Detiene el compresor cuando la presión de descarga llega a 150 psig.
Temp. de descarga alta	230°F (110°C)	Detiene el compresor cuando la temperatura en la línea de des carga llega a 230°F.
Presión de succión baja	26 psig (1.79x10 ⁵ Pa)	Detiene el compresor en excesiva caída de la presión de succión.
Presión de aceite baja	50 psig (3.45x10 ⁵ Pa)	Detiene el compresor cuando el diferencial de presión de acei te cae al punto de ajuste.
Temp. de aceite alta	140°F (60°C)	Detiene el compresor cuando la temperatura del aceite es superior a 140°F.
Temp. de aceite baja	120°F(Ajust <u>a</u> ble) (48.9°C)	Previene la operación del com- presor cuando la temperatura del aceite cae al punto de a- juste.

(Cont.)

TABLA 6-9

CONTROLES DE SEGURIDAD DEL ENFRIADOR DE AGUA

CONTROL	PUNTO DE SET	FUNCION
Presión de succión baja	28-31 psig. diferencial (1.93-2.14 x 10 ⁵ Pa)	Cierra las aletas de control de capacidad y descarga el compresor a medida que la presión de succión se aproxima a niveles - inseguros.
Temporizador de prelubr <u>i</u> cación	60 seg.	Prelubrica los cojinetes del - compresor por un tiempo mínimo antes del arranque.
Temporizador de la bomba de aceite	1 minuto	Detiene la bomba de aceite si el compresor falla en el arranque.
Temporizador de retraso para la bomba de aceite	30 seg.	Mantiene la bomba de aceite fun cionando 30 seg. después que el compresor se apaga.
Retraso de operación cí- clica	15 minutos	Previene el re-arranque del com presor por 15 minutos, después de la operación anterior.
Interruptor de cierre de aletas.	30 psig diferencial (2.07x10 ⁵ Pa)	Previene el arranque del compresor a menos que las aletas de control de capacidad estén cerradas.
Detector de condiciones anormales de operación	Ajustado en fábrica	Detiene el compresor en condi- ciones de cabezal de presión - muy alto.

FUENTE: Catálogo 960.2 de McQUAY

6.3.2 Torre de Enfriamiento

Cuando la carga de enfriamiento del hospital disminuye, el agua que sale del condensador del enfriador sale menos caliente; y, por lo tanto, tendrá menos energía que disipar - en la torre de enfriamiento. Hay diversas maneras de evitar el sobre-enfriamiento del agua del circuito de la torre, y el método usado por la torre seleccionada es mediante la operación de los motores de sus ventiladores a dos velocidades, 1800 y 900 RPM. Este tipo de control nos da tres puntos de operación de la torre: al 10,60 y 100% de su capacidad de enfriamiento, con los motores apagados, a media velocidad (900 RPM) y velocidad máxima (1800 RPM), respectiva mente.

6.3.3 Bomba de Calor

La capacidad de calentamiento de la bomba de calor depende de la temperatura de entrada y salida del agua usada como - fuente de calor, una vez que se ha logrado una condición es table en la temperatura de salida del agua caliente.

Obtendré tres puntos de operación a partir de las curvas de performance de la bomba de calor seleccionada, cuando la - temperatura del agua caliente generada es 140°F (60°C).

Estos puntos corresponderán con la operación del enfriador al 10, 60 y 100% de su capacidad.

La temperatura de salida del agua del condensador del enfria dor de aqua se calculará en base a la siguiente relación:

$$T_{sal} (°F) = \frac{Q_{cond} (MBTU/H)}{0.5 \times GPM} + T_{ent} (°F),$$

donde:

$$Q_{cond}$$
 (MBTU/H) = Q_{evap} (MBTU/H) + W (KW) x 3.413 (MBTU/Kw-h)

0.500 = 8.33 lb/gal x 60 min/hr x
$$\frac{1 \times 10^{-3} \text{ MBTU}}{\text{lb x °F}}$$

$$T_{ent} = 90 \, ^{\circ}F \, (32.2 \, ^{\circ}C).$$

Usando datos proporcionados por el fabricante del enfriador y con la fórmula anterior, podemos resumir los cálculos hechos en la tabla 6-10.

TABLA 6-10

PUNTOS DE OPERACION DEL ENFRIADOR DE AGUA

A 10, 60 y 100% DE LA CARGA DE ENFRIAMIENTO

% CARGA EN FRIAMIENTO	TON. REFRIG.	KW COMPRESOR	Qcond. (MBTU/H)	T _{sal} Cond.
10	35	21.7	494.1	90.94
60	210	121.8	2935.7	95.60
100	350	276.8	5144.7	99.80

Si el flujo de agua desviado hacia la bomba de calor es 50 GPM, entrando a las temperaturas calculadas de 90.94, 95.60 y 99.80°F, entonces es posible determinar tres puntos de operación que nos darán tres capacidades de calentamiento de la bomba de calor.

En la figura 6-8 se encuentran dibujadas las curvas de performance de la bomba de calor seleccionada cuando ésta gene ra agua caliente a 140°F (60°C). Las rectas de pendiente - negativa representan el proceso de enfriamiento de la fuen te de calor a las tres temperaturas obtenidas. La intersección de cada una de estas rectas con la curva de enfriamien to de la bomba de calor, nos da los puntos de operación en las tres condiciones de carga de aire acondicionado y que están presentados en la tabla 6.11.

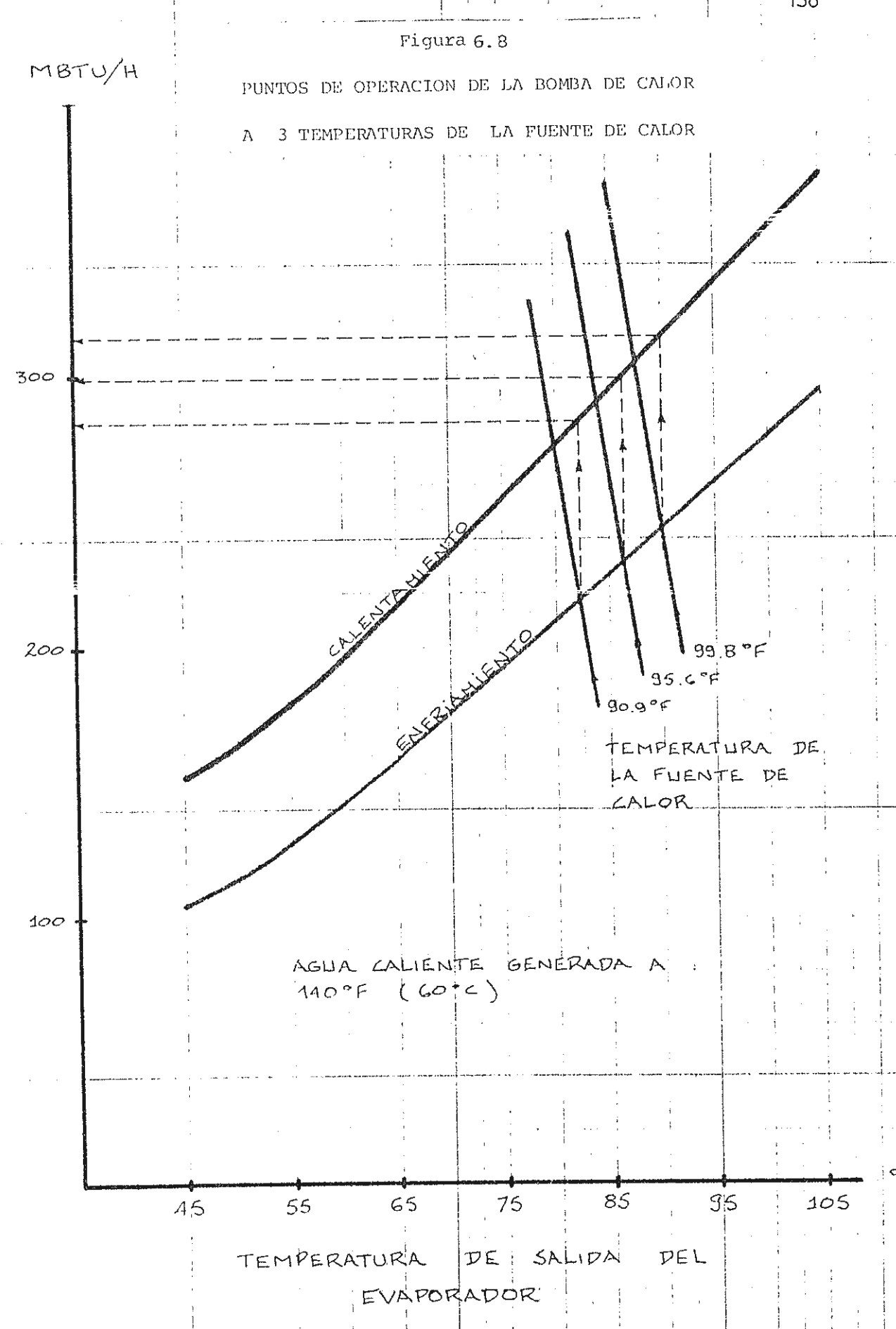


TABLA 6-11

PUNTOS DE OPERACION DE LA BOMBA DE CALOR
A 10, 60 Y 100% DE LA CARGA DE ENFRIAMIENTO

% CARGA EN FRIAMIENTO	T.ENT. EVAP. (°F)	T.SAL. EVAP. (°F)	CAPAC. ENFRIAM. (MBTU/H)	CAPAC. CALENT. (MBTU/H)	GPM CALENTADOS DE 130 A 140°F (GAL/MIN.)
10	90.94	82.2	217	283	56.6
60	95.60	86.3	232	300	60.0
100	99.80	90.0	244	314	62.8

Cabe anotar que la bomba de calor tendrá incontables puntos de operación, pues en su funcionamiento influyen un gran número de variables; sin embargo, lo importante del análisis hecho es que una vez obtenido el estado estable, la bomba de calor será capaz de satisfacer la demanda de agua caliente del hospital, sin importar las condiciones de carga de enfriamiento impuestas al enfriador de agua del sistema central de aire acondicionado.

Cuando dicho enfriador se apague debido a que la carga de - aire acondicionado sea inferior a 35 toneladas de refrigeración, la bomba de calor también deberá apagarse y los requerimientos de agua caliente del hospital se satisfacerán gracias al tanque de almacenamiento de agua caliente.

CAPITUIO 7

ANALISIS ECONOMICO DEL SISTEMA RECUPERADOR DE CALOR Y COMPARACION CON UN SISTEMA CONVENCIONAL DE CALENTAMIENTO DE AGUA

Un sistema diseñado en base a ingeniería debe ser económicamente satisfactorio. La evaluación económica es difícil de calcular, debido a la complejidad que rodea a la administración efectiva del dinero y a la dificultad inherente de predecir los costos de operación y mante nimiento en el futuro. El valor del dinero y las políticas económicas de un país pueden afectar seriamente la decisión ingenieril.

Aunque haya factores intangibles que puedan afectar la decisión final, la alternativa normal a escoger es la que tenga el menor costo total.

El costo total se divide en dos categorías; los costos de inversión $\underline{\underline{i}}$ niciales y los costos de operación.

Este capítulo hará un análisis económico que comparará el sistema de calentamiento de agua propuesto en esta tesis con un sistema convencional que use un intercambiador de calor vapor-agua, con vapor procedente de una caldera que funcione con diesel como combustible.

7.1 COSTO INICIAL. - EQUIPO E INSTALACION

Antes de entrar en el análisis del costo inicial, es necesario se leccionar el equipo tipo convencional, con el cual se comparará la bomba de calor industrial.

7.1.1 Selección del Sistema Convencional

Con el fin de hacer una mejor comparación económica, he se leccionado un intercambiador de calor de tubo y carcasa, con haz de tubos en U renovable, vapor en la carcasa, agua en los tubos, equipado con soportes para montaje.

El intercambiador será capaz de calentar 60 GPM (3.785 1/s) de agua desde 130°F (54.4°C) hasta 140°F (60°C) con vapor - a 50 psig (3.45 x 10^5 Pa).

Las características técnicas del intercambiador seleccionado son:

- Máxima velocidad en los tubos, 7.5 pies/s (2.29 m/s).
- Máxima caída de presión: 1 pie de agua (30.48 cm.).
- Mínimo factor de incrustación: 0.002 $\frac{\text{pie-F-h}}{\text{BTU}}$ (0.4 $\frac{\text{m}^2-\text{°C}}{\text{KW}}$)

- Mínimo diámetro de la carcasa: 6 pulg (15.24 cm).
- Máxima longitud de los tubos: 2.4 pies (73.15 cm).
- Minima superficie de los tubos: $8 pie^2$ (0.74 m^2).
- Diámetro exterior de los tubos: 3/4 pulg (19 mm).
- Número de pasos: 2

La carca**s**a, los cabezales, espejos y soportes de tubos son de acero, y los tubos son de cobre.

Aunque en un hospital los requerimientos de vapor corresponden a varios tipos de servicios, tales como: esterilización, suministro a lavachatas, etc., consideré únicamente la generación de vapor que sería necesaria para el sistema de agua caliente, con el único fin de poder establecer una comparación más real desde el punto de vista económico.

La demanda de vapor para el sistema convencional de agua ca liente puede ser abastecida por un caldero de 10 BHP, cuya capacidad de generación es 345 lb/h (157 Kg/h) de vapor a 212°F (100°C) y cuya salida de calor es de 335000 Btu/h - (98.15 Kw). La presión máxima de vapor es de 125 Psig - (8.625 x 10⁵ Pa) y la mínima 15 psig (1.035 x 10⁵ Pa). El

caldero trabajará con diesel y el sistema de control autom<u>á</u> tico funcionará con 220 V, 1 fase.

7.1.2 Costo Inicial

La tabla 7-1 resume el costo inicial de compra e importación considerando para ambos casos un 20% de impuesto ad-valorem sobre el valor CIF. La tabla 7-2 presenta el costo total inicial incluyendo compra y montaje de ambos sistemas. La instalación de tubería fue calculada a 300 sucres por Kg, - el cual incluye materiales y mano de obra; la hora-hombre - se calculó a 79.50 sucres por hora, según aplicación al Registro Oficial No. 779 de Febrero de 1984, para trabajado - res de la construcción, categoría 3. En el cálculo se in cluyeron todos los beneficios contemplados por la ley.

En la tabla 7-2 se excluyen los costos comunes y aproximada mente iguales para ambas alternativas como son: la tubería de agua caliente entre el equipo y el tanque, la instrumentación necesaria, el tanque de almacenamiento y las bombas de circulación de agua caliente entre el tanque y el equipo.

Los costos de materiales como tubería, aislamiento, líneas eléctricas, etc., se calcularon en base a precios del merca do local, e incluyen mano de obra.

TABLA 7-1 CASTOS DE COMPRA E IMPORTACION

BOMBA DE	E CALOR	SISTEMA CO	SISTEMA CONVENCIONAL
Bomba de Calor	9476.00 dólares (FOB)	Intercambiador Calor Caldera 10 BHP	888.50 dólares (FOB) 7477.50 " (FOB) 8366.00 dólares (FOB)
Aprox. flete 10%	947.60 dolares	Aprox. flete 10%	dólares
	10423.60 dólares (C& F)		9202.60 d6lares (C&F)
1% Seguro	104.24	1% Seguro	92.03 dólares
	10527.84 dólares (CIF)		9294.63 dólares (CIF)
Cambio a S/.86.5 por dólar	910657.81 sucres	Cambio a S/.86.5 por dólar	803985.50 sucres
20% Arancel	182131.56 "	20% Arancel	160797.10 "
8% Estab. Monet.	72852.63 "	8% Estab. Monet.	64318,84 "
1% Tasas Servicio	9106.58 "	1% Tasas Servicio	8039.86 "
	1174748.58 sucres		1037141.30 sucres
6% Trans. Merc.	70484.91 "	6% Trans. Merc.	62228.48 "
	1245233.50 sucres		1099369.78 sucres
Gastos desaduanización y transporte a la obra	20000.00 "	Gastos desaduanización y transporte a la obra	25000.00 "
	1265 2 33.50 sucres		1124369.78 sucres

TABLA 7-2

COSTO INICIAL TOTAL

Bomba de Calor	1265233.50	Caldero e Intercambiador	1124369.78
Instalación (16 horas-hombre)	1272.00	Instalación (32 horas-hombre)	2544.00
Línea eléctrica	3300.00	Linea de vapor 1 1/2", 12 m.	14580.00
Linea de agua fuente de calor 2 1/2", 12 m.	31068.00	Línea de condensado, 1", 6 m.	4500.00
Válvula mariposa 8"	32000.00	Aislam. línea vapor 1 1/2"	10800.00
	1332873.50		1156793.78

DIFERENCIA: 1332873.50 - 1156793.78

= 176079.72 SUCRES

7.2 COSTO OPERACIONAL

Los costos de operación son los que resultan del funcionamiento - del sistema, siendo los más importantes: energía eléctrica, com bustibles, agua, vapor y servicio de mantenimiento.

En esta sección calcularé los principales costos operacionales - que resultarían en el primer año de operación, tomando como datos precios vigentes para el mes de Noviembre de 1984.

El análisis económico-ingenieril para varios años se desarrollará en la sección 7.3 de este capítulo.

7.2.1 Energía y Combustibles

Para poder estimar el costo por energía eléctrica y combustibles, consideraré la demanda promedio diaria calculada en el capítulo 4, que es de 2208 galones (8357.3 lts), la cual representa una carga térmica de 1103.5 MBTU/día (323.3 Kw/día), o 402798.8 MBTU/año (118019 Kw/año), calculando 365 días al año.

Para poder establecer los costos se usaron los siguientes - datos:

- Costo de	la energía	eléctrica:	S/.	2.73/Kw-h
------------	------------	------------	-----	-----------

- Eficiencia térmica del interc. de calor:0.90

- Capacidad de la bomba de calor (estado estable): 300 MBTU/h (87.90 Kw)

El costo por hora del consumo de energía eléctrica de la bomba de calor estará dado por la relación:

$$\frac{\text{Sucres}}{\text{hora}} = \frac{\text{Capacidad (MBTU/h) x S/./Kw-h}}{\text{COP x 3.413 MBTU/Kw-h}}$$

$$\frac{\text{Sucres}}{\text{Hora}} = \frac{300 \times 2.73}{4.05 \times 3.413} = 59.25 \text{ S/./hora}$$

El costo por hora para el sistema convencional estará dado por la relación:

$$\frac{\text{Sucres}}{\text{Hora}} = \frac{\text{Capacidad (MBTU/h) x S/./gal}}{138 \text{ MBTU/gal x 0.63}}$$

$$\frac{\text{Sucres}}{\text{Hora}} = \frac{300 \times 21}{138 \times 0.63} = 72.46 \text{ S/./hora}$$

El costo de energía eléctrica consumida por la bomba de ca lor durante el primer año de operación será:

$$\frac{402798.8 \text{ MBTU}}{\tilde{a}\tilde{n}o} \times \frac{\text{hora}}{300 \text{ MBTU}} \times \frac{\text{S}.59.25}{\text{hora}} = \text{S}.79552.8$$

El costo de diesel quemado durante el primer año de operación del sistema convencional será:

402798.8
$$\frac{\text{MBTU}}{\text{año}} \times \frac{\text{hora}}{300 \text{ MBTU}} \times \frac{\text{S/.72.46}}{\text{hora}} = \text{S/. 97289.3}$$

7.2.2 Mantenimiento

Para este caso, he asumido que los gastos de mantenimiento son iguales para ambas alternativas, ya que en un caso tene mos el mantenimiento de la bomba de calor, que es muy pare cido al de un enfriador de agua usado en aire acondicionado y que consiste en el chequeo periódico de temperaturas, pre

siones, amperaje de los motores, lubricación y detección de fugas de refrigerante; también es necesario mantener limpias las superficies de transferencia de calor, tanto en el evaporador como en el condensador.

En el sistema convencional de calentamiento, es necesario - considerar el mantenimiento de la caldera con todos sus com ponentes, como son: bombas, quemador, purgas, controles, - instrumentación y superficie de transferencia de calor; y también el servicio que debe darse al intercambiador de calor, que consiste en la limpieza periódica de los tubos, para eliminar las incrustaciones.

Debido a que todo hospital debe tener un departamento de mantenimiento de todas sus instalaciones, el trabajo necesario para el mantenimiento del sistema de agua caliente, es
aproximadamente el mismo para ambas alternativas.

7.3 ANALISIS DEL COSTO-BENEFICIO DEL SISTEMA RECUPERADOR DE CALOR

Existen varios métodos usados para hacer un análisis económico evaluativo a proyectos de Ingeniería en general, de los cuales los
más importantes son: el del valor presente, el del costo anual,
el de la tasa de retorno y el del costo-beneficio.

El método a usarse depende del caso de estudio, y del criterio -

del ingeniero; sin embargo, por lo general, todos ellos nos llevan a la misma alternativa, la que represente el menor costo total.

El método del Costo-Beneficio establece una relación entre los be neficios y los costos de diferentes alternativas para un proyecto, tomando en cuenta el valor del dinero con el tiempo.

A continuación serán explicados los datos y relaciones necesarios para hacer el análisis económico; sin embargo, si el lector tuviese alguna duda o quisiera profundizar más sobre el tema, sería ne cesario que consultase un libro sobre evaluación de proyectos o ingeniería económica.

7.3.1 Datos Necesarios para Hacer el Análisis Económico

Años de Análisis

El número de años de análisis depende principalmente de la confiabilidad de los datos usados y de las proyecciones futuras sobre diversos costos como electricidad, combustibles, etc.

Debido a que actualmente nuestro país, y en general Latinoamé rica, tiene una situación económica muy inestable y cambian te, que depende principalmente de decisiones políticas, no

es posible hacer un análisis a largo plazo, razón por la -cual haré el presente estudio para cinco años de análisis.

Costo de la Electricidad y Porcentaje de Aumento Anual

La tarifa eléctrica promedio para abonados al servicio in dustrial con demanda facturable de 10 Kw a 2000 Kw durante el año de 1984 es de S/.2.48/Kw-h, sin contar el 10% de recargo por electrificación rural.

Las tarifas eléctricas en general, han venido incrementándos se en un 2% mensual, equivalente a un 26.82% anual.

Según un estudio hecho por el DOSNI de INECEL en 1984, se prevee que este incremento deberá seguir hasta el año de - 1987, y que después de este año las tarifas se incrementa - rían en un 10% anual.

Basándome en los datos anteriores, la tabla 7-3 presenta - las tarifas promedio esperadas hasta el año de 1989, para los abonados del sector industrial, en donde está incluído el recargo del 10% por electrificación rural.

TABLA 7-3

TARIFA PROMEDIO ESPERADA PARA EL SECTOR INDUSTRIAL

AÑO	TARIFA PROMEDIO ESPERADA (SUCRES/KW/H)
1984	2.73
1985	3.51
1986	4.39
1987	5.56
1988	6.73
1989	8.14

Costo de Instalación

Este costo fue calculado en el numeral 7.1 e incluye la com pra y el montaje de ambos sistemas.

Bomba de Calor	Sistema Convencional
S/.1332873.50	S/.1156793.78

Costo de Capital

Representa el valor del dinero con el tiempo y en base a él se establece la tasa mínima de retorno a la inversión, que deberá ser mayor o igual al costo del capital, dependiendo de los riesgos de la inversión.

Para el presente estudio consideraré un 23% como costo de - capital, en base al interés a plazo fijo que dan los bancos en cuentas de ahorro; de esta manera, el retorno a la inversión deberá ser mayor al 23%, como condición para que una inversión sea rentable en el país.

Costo del Diesel y Porcentaje de Aumento Anual

La última modificación del gobierno anterior con respecto a los precios de los derivados del petróleo, consistió en fijar un alza gradual en el precio del diesel, que se detuvo en S/.21.0 por galón.

Según la Ley de Hidrocarburos reformada, los precios de los combustibles sólo podrán ser alterados si existe modificación en los costos de producción. En teoría, por lo tanto, cada año debería haber un aumento de precios, pues los costos de producción siempre suben.

Por otro lado, en los últimos años, la demanda del diesel ha sido mayor que la oferta, razón por la cual el país se ha visto en la obligación de importar diesel a precios internacionales, lo cual aumenta el precio ponderado del diesel.

Según estadísticas hechas por el Ministerio de Recursos Na turales y Energéticos, el costo de producción local del die

sel a nivel de distribuidor es de 25.33 sucres por galón, y el del diesel importado de 67.98 sucres por galón.

Considerando las cantidades de diesel producido e importado, se llega a un precio promedio ponderado de 33.11 sucres por galón, siendo éste el precio que deberíamos pagar los ecuatorianos por el diesel, sin causarle perjuicios al Estado.

Para el presente estudio partiré del precio actual de 21 su cres por galón para 1984, 33 sucres por galón para 1985 y en adelante un aumento del 25% anual, que representa aproximadamente el aumento anual de los costos de producción.

En la tabla 7-4 están los precios esperados para el diesel hasta el año 1989.

TABLA 7-4
PRECIOS ESPERADOS PARA EL DIESEL

AÑO	PRECIO AL CONSUMIDOR (SUCRES POR GALON)
1984	21.00
1985	33.00
1986	41.25
1987	51.56
1988	64.45
1989	80.56

Coeficiente de Performance de la Bomba de Calor

Consideraré un COP = 4.05, que es el correspondiente a la \underline{o} peración en estado estable.

Eficiencia Térmica Global del Sistema Convencional

$$\gamma_t = 0.80 \times 0.875 \times 0.9 = 0.63$$

donde 0.80 es la eficiencia térmica de la caldera, 0.875 la eficiencia térmica de distribución de vapor y 0.90 la eficiencia térmica del intercambiador de calor.

Capacidad del Sistema

Q = 300 MBTU/hora para ambos sistemas.

7.3.2 Parámetros Calculados en el Análisis Económico

Ahorros de Energía

De acuerdo al procedimiento presentado en el numeral 7.2.1 para calcular el costo por hora de los dos sistemas en estudio, y considerando los precios de energía eléctrica y diesel proyectados, la tabla 7-5 presenta los costos por hora de cada sistema, el ahorro por hora de la bomba de calor - con relación al sistema convencional, y el ahorro total anual que se obtendría.

TABLA 7-5

AHORRO EN COSTOS DE ENERGIA

<u>AÑO</u>	COSTO HORA BOMBA CALOR (SUCRES/H)	COSTO HORA SIST. CONV. (SUCRES/H)	AHORRO HORA (SUCRES/H)	AHORRO ANUAL TOTAL (SUCRES)
19 84	59.25	72.46	13.21	17736.57
1985	76.18	113.87	37.69	50604.96
1986	95.28	142.34	47.06	63185.71
1987	120.67	177.92	57.25	76867.44
1988	146.06	222.39	76.33	102485.44
1989	176.67	277.98	101.31	136025.15

Valor Presente de los Ahorros de Energía

El valor presente de una cantidad cualquiera futura, se calcula mediante la relación:

Valor presente =
$$\frac{\text{Valor futuro}}{(1 + c)^{\frac{1}{2}}}$$

donde:

c = % costo de capital

i = año de análisis

La tabla 7-6 nos da el valor presente de los ahorros de energía calculados anteriormente, con un 23% de costo de ca pital.

TABLA 7-6

VALOR PRESENTE DE LOS AHORROS DE ENERGIA

AÑO	AHORRO ANUAL (SUCRES)	VALOR PRESENTE DEL AHORRO (SUCRES)
1984	17736.57	14419.98
1985	50604.96	33448.98
1986	63185.71	33954.98
1987	76867.44	33583.19
1988	102485.44	36402.95
1989	136025.15	39281.54

Período de Pago

El período de pago es el número de años requeridos para - que el valor presente de los ahorros o beneficios sea equivalente a la diferencia del costo inicial entre las dos al ternativas.

Para nuestro caso de estudio, en un período de cinco años se obtiene un beneficio en términos de ahorro en costos de energía (diesel contra electricidad) de 151810.08 sucres, - ya convertidos a valor presente; mientras que la diferencia entre los costos iniciales de ambas alternativas es de - 176079.72 sucres. Por lo tanto, en cinco años no se igua-

lan beneficios con diferencia de costos, pero en un año más, los beneficios sumarían 191091.62 sucres, superando la diferencia de costos.

En conclusión, nuestro período de pago es de seis años, - siempre y cuando se mantengan las hipótesis presentadas sobre aumentos de precios del diesel y de la energía eléctrica.

Relación Costo-Beneficio

El análisis del costo-beneficio establece que un sistema es rentable sobre otro cuando la relación beneficio sobre costo es mayor que 1. En esta relación, los beneficios deben ser puestos en su valor presente.

En un análisis de cinco años, la relación de beneficio sobre costo es 0.86, mientras que en un período de seis años dicha relación es 1.09.

Estas cifras nos indican que nuestro sistema recuperador de calor se vuelve rentable durante el sexto año de uso; es de cir, que los ahorros que representa el sistema propuesto pa garían la inversión inicial durante los seis primeros años de operación, y en adelante el sistema propuesto empezaría a dar verdaderos beneficios en términos de dinero como ahorro energético.

CONCLUSIONES Y RECOMENDACIONES

CONCLUSIONES

- 1. La adecuada zonificación de las unidades manejadoras de aire y una buena filtración de acuerdo al área del hospital, permiten usar aire recirculado mezclado con aire exterior, ahorrándose mucha energía en comparación con sistemas 100% aire exterior, sin afectar la calidad y la pureza del aire dentro del hospital. Sin embargo, este sistema requiere un diseño muy cuidadoso de la ubicación de las tomas de aire fresco, de manera que estén lo suficientemente aleja das de salidas de aire contaminado y de humos. También es muy importante el mantenimiento adecuado de las unidades manejadoras de aire y el reemplazo periódico de los filtros de aire.
- 2. Desde un punto de vista energético, la eficiencia del sistema propuesto (bomba de calor) es del 400% según puede verse en la figura 7-1; es decir que, por cada unidad de energía eléctrica consumida, toma 3 unidades de calor rechazado por el sistema de aire acondicionado central y entrega en total 4 unidades de energía térmica al agua que circula por el condensador de la bomba de calor (sistema de agua caliente).

Por otro lado, el sistema convencional, según puede verse en la fi

gura 7-2, tiene una eficiencia energética que es del 63%, considerando un 30% de pérdidas en la caldera y en el sistema de distribución de vapor, y el 7% restante en el intercambiador de calor.

Por lo tanto, mientras el sistema propuesto (bomba de calor) tiende a aprovechar toda la energía que le llega, el sistema convencional tiende a generar pérdidas que se traducen en una disminución de la eficiencia energética.

Fig. 8.1 EFICIENCIA DEL SISTEMA RECUPERADOR DE CALOR

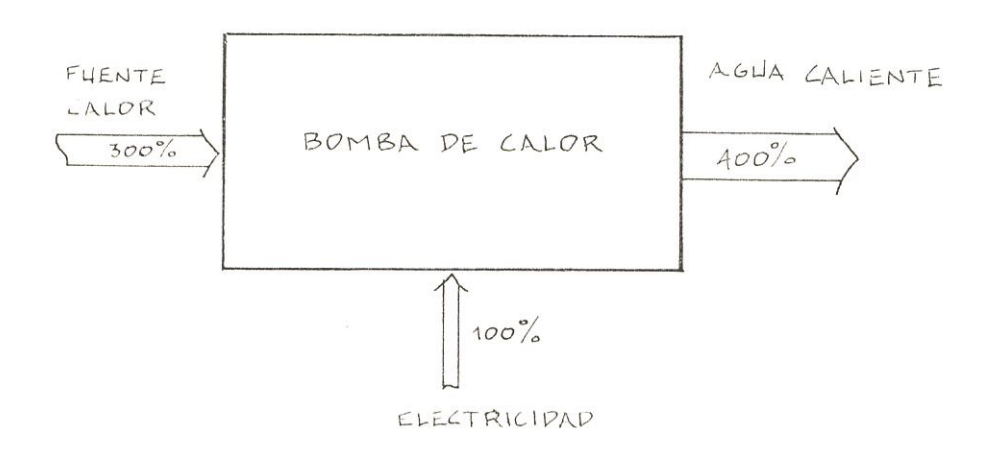
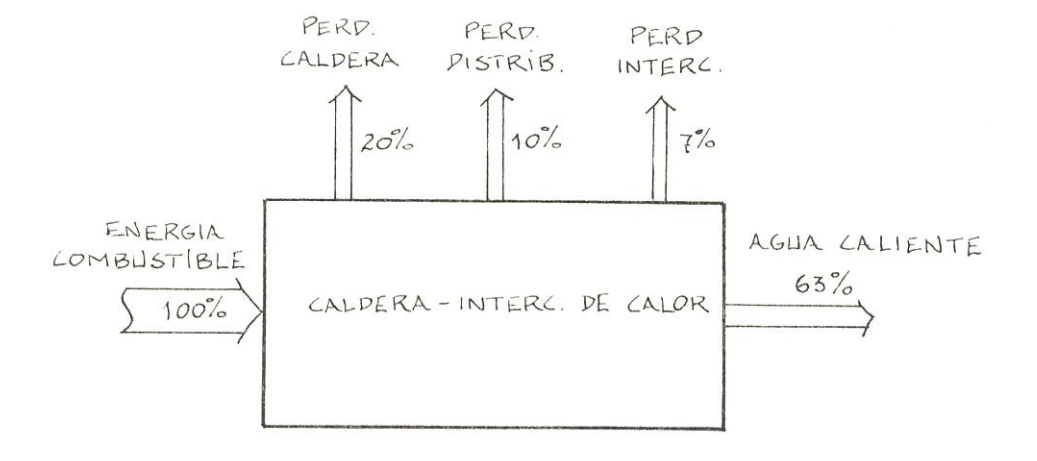


Fig. 8.2 EFICIENCIA DEL SISTEMA CONVENCIONAL



3. El sistema propuesto ahorra el consumo anual de 4633 galones de diesel, equivalentes a 110 barriles de petróleo, que representarían 3080 dólares anuales que entrarían al país en términos de exportación de crudo.

Aunque la cifra no es muy grande, pensando en el gran número de em presas industriales que podrían implementar el uso de bombas de ca lor, se alcanzaría talvez un ahorro de diesel 1000 veces mayor, lo cual sí es significativo.

También pensemos que un día el Ecuador dejará de ser exportador de petróleo, y entonces el ahorro de cualquier combustible derivado - de él será de vital importancia para el país.

- 4. El uso de bombas de calor que utilicen refrigerantes del grupo 1 (R-11, R-12, R-22, R-500, R-114) para calentar agua, es totalmente seguro con respecto a la posible contaminación del agua calentada. Esto se debe a que:
 - Estos refrigerantes son prácticamente insolubles en agua.
 - Hay un incremento mínimo de la tasa de formación de ácidos hidrofluóricos en la reacción con el agua.
 - Los gases y vapores de estos refrigerantes no son más tóxicos que el bióxido de carbono y además no se inflaman.

En adición a lo anterior, para los seres humanos, la toxicidad de los vapores de estos refrigerantes es mínima, y aunque estos vapores desplazan al oxígeno, lo cual podría causar asfixia, generalmente la carga de refrigerante no es tan grande como para originar este tipo de problema.

Finalmente, el refrigerante 12 es usado en otros países para producir congelamiento de alimentos por contacto directo, lo cual demuestra las cualidades no tóxicas de este refrigerante.

- 5. El uso de bombas de calor operadas por compresores movidos por electricidad no contribuye a la contaminación atmosférica, a diferencia del uso de sistemas convencionales que consumen combustibles, los cuales generan gases de escape que sí contaminan el aire.
- 6. Cuando la fuente de calor es el agua de enfriamiento de un sistema de aire acondicionado, es muy importante estudiar si bajo la míni ma carga de aire acondicionado, el calor a rechazarse es suficien te para satisfacer la demanda de la bomba de calor, ya que de lo contrario sería necesario tener un calentador de emergencia, acoplado en serie con el circuito de agua caliente.
- 7. A pesar de todas las ventajas que nos ofrece el sistema recuperador de calor, el análisis económico presentado nos da un período de pago de seis años, lo cual puede parecer un tiempo un poco largo para recuperar la diferencia de costos iniciales en términos

de ahorro de diesel. Sin embargo, si por ejemplo fuera posible la exoneración del impuesto ad-valorem, debido a que se trata de la importación de un equipo de conservación energética, y se mantie nen las hipótesis presentadas, el costo inicial del sistema propuesto sería incluso menor que el del sistema convencional, y por lo tanto la mejor alternativa bajo todo punto de vista sería la de implementar el sistema de agua caliente con la bomba de calor.

RECOMENDACIONES

- 1. Con el fin de ahorrar energía eléctrica consumida por el sistema de aire acondicionado, es recomendable tratar de disminuir la ganancia solar a través de ventanas, mediante el uso de cortinas interiores y también arborizando los patios del hospital.
- 2. Con respecto al uso de bombas de calor en el sector industrial, la mejor aplicación de ellas es en procesos de fabricación que requie ran simultáneamente enfriamiento y calentamiento de fluídos, de tal manera que la bomba de calor proporcione utilidad tanto en su evaporador como en su condensador.

La industria alimenticia puede beneficiarse mucho con el uso de--bombas de calor.

3. Otra importante aplicación de la bomba de calor que podría ser in vestigada, es su uso junto con un colector solar; es decir que la

fuente de calor de la bomba sería agua calentada en un colector solar, de tal manera de poder amplificar su temperatura a nivel del condensador y obtener agua caliente a temperaturas entre los 80°C y los 100°C.

A P E N D I C E S

APENDICE A

TABLA A-1

PROPIEDADES TERMICAS DE MATERIALES USADOS EN CONSTRUCCION

	ESPESOF	Y PROP	IEDADES	TEF	RMICAS
DESCRIPCION	X	k	p	С	R
Resistencia fílmica ext.					0.333
Ladrillo de Acabado (4")	0.333	0.75	130	0.22	0.444
Resistencia de un Espacio de aire					0.91
Bloque de Concreto Liviano (4")	0.333	0.22	38.0	0.20	1.51
Bloque de Concreto Pesado (4")	0.333	0.47	61.0	0.20	0.71
Ladrillo Común (4")	0.333	0.42	120	0.20	0.79
Concreto Pesado (4")	0.333	1.0	140	0.20	0.333
Bloque de Concreto Liviano (8")	0.667	0.33	38.0	0.20	2.02
Bloque de Concreto Pesado (8")	0.667	0.60	61.0	0.20	1.11
Ladrillo Común (8")	0.667	0.42	120	0.20	1.59
Concreto Pesado (8")	0.667	1.0	140	0.20	0.667
Concreto Pesado (12")	1.0	1.0	140	0.20	1.00
Concreto Pesado (6")	0.50	1.0	140	0.20	0.50
Concreto Liviano (4")	0.333	0.1	40	0.20	3.33
Concreto Liviano (6")	0.50	0.1	40	0.20	5.0
Concreto Liviano (8")	0.667	0.1	40	0.20	6.67
Resistencia Fílmica Interior					0.685
Enlucido (0.75")	0.0625	0.42	100	0.20	0.149
Espacio de Aire en un Tumbado					1.0
Tumbado Acústico	0.0625	0.035	30	0.20	1.786

 $\underline{\text{NOTA}}$: Unidades: x = pie; $k = BTU/h-\text{pie}^2-^\circ F$; $p = lb/\text{pie}^3$;

 $c = BTU/lb-°F; R = h-pie^2-°F/BTU$

FUENTE: ASHRAE Handbook of Fundamentals, 1977

TABLA A-2

DIFERENCIA DE TEMPERATURA EQUIVALENTE PARA TECHOS PLANOS

VALIDAS PARA:

- TECHOS DE COLOR OSCURO TEMPERATURA EXTERIOR DE DISEÑO
 TEMPERATURA INTERIOR DE DISEÑO DE 92°F
 DE 75°F 20 GRADOS DE RANGO DIARIO
- 21 DE DICIEMBRE

- 2.19 GRADOS DE LATITUD SUR

ECHO	U										TI	EMFO :	BOLAR,	HR											
¥6.		1	2	3	4	5	6	7	8	9	10	11	12	13	14	15	16	17	18	19	20	21	22	23	24
										S.	IN TU	MEIADO	SUSFE	ND1D0)			10 MM MM MM MAN AND A	- 14 84 41 141						
1	.213	22	22	22	21	21	21	24	33	43	52	57	59	60	58	52	42	33	26	25	24	24	23	23	22
2	. 17	18	17	17	17	17	17	19	26	34	41	46	47	48	46	41	34	26	21	20	20	19	19	18	18
3	.213	22	22	22	21	21	21	24	33	43	52	57	59	60	58	52	42	33	26	25	24	24	23	23	22
4	.266	21	21	21	21	21	21	23	32	41	50	56	57	58	56	50	41	32	25	24	24	23	22	22	22
2	.169	11	11	11	11	11	11	12	17	22	27	29	30	30	30	26	22	17	13	15	13	12	12	12	11
Ł	. 158	16	10	16	16	16	16	18	24	32	38	43	43	44	43	38	31	24	19	19	18	18	17	17	17
7	.13	13	13	13	13	13	13	15	20	26	32	35	36	36	35	32	26	20	16	15	15	15	14	14	14
8	.126	13	13	13	13	13	13	14	19	25	31	34	35	35	34	31	25	19	16	15	14	14	14	13	13
9	.2	21	20	20	20	20	20	23	31	40	49	54	55	56	55	49	40	31	25	24	23	22	22	21	21
10	.093	10	10	9	9	9	9	11	14	19	23	25	26	26	25	23	19	14	11	11	11	10	10	10	10
11	.106	11	11	11	11	11	11	12	16	21	26	29	29	30	29	26	21	16	13	13	12	12	12	11	11
17	.192	20	20	19	19	19	19	22	29	39	47	52	53	54	52	47	38	30	24	23	22	21	21	20	20
13	.106	11	11	11	11	11	11	12	16	21	26	29	29	30	29	26	21	16	13	13	12	12	12	11	11
			50 WK 601.00 W- 1			eri dese man man man man		or not rescare 1,0 to		C	ON TU	MEIADO	SUSFE	NDIDU)			Principo de decisio a							
1	.134	14	14	14	13	13	13	15	21	27	33	36	37	37	37	33	27	21	17	16	15	15	15	14	14
2	.115	12	12	12	12	12	12	13	18	23	28	31	32	32	31	28	23	18	14	14	13	13	13	12	12
3	.134	14	14	14	13	13	13	15	21	27	33	36	37	37	37	33	27	21	17	16	15	15	15	14	14
4	.131	14	13	13	13	13	13	15	20	26	32	35	36	37	36	32	26	20	10	16	15	15	14	14	14
5	.083	9	8	8	8	8	8	9	13	17	20	22	23	23	23	20	17	13	10	10	10	9	9	9	9
6	.109	11	- 11	11	11	11	11	12	17	22	27	29	30	30	30	26	22	17	13	13	13	12	12	12	11
7	.096	10	10	10	10	10	16	11	15	19	23	26	26	27	26	23	19	15	12	11	11	11	10	10	10
8	.093	10	10	9	9	9	9	11	14	19	23	25	26	26	25	23	19	14	11	11	11	10	10	10	10
9	.128	13	13	13	13	13	13	14	20	26	31	35	35	36	35	31	26	20	16	15	15	14	14	14	13
10	.072	7	7	7	7	7	7	8	11.		18	19	20	20	20	17	14	11	9	9	8	8	8	8	8
11	.032	8	8	8	8	8	8	9	13	16	20	22	23	23	22	20	16	13	10	10	9	9	9	9	9
			13	13	13	13	13	14	19	25	30	34	34	35	34	30	25	19	15	15	14	14	14	13	13
12	. 117	13	10	10	10																				

FUENTE: Tesis del Ing. G. Acosta, 1982

TABLA A-3

DIFERENCIA DE TEMPERATURA EQUIVALENTE PARA PAREDES

VALIDAS PARA:

- DE 75°F
- 21 DE DICIEMBRE
- PAREDES DE COLOR OSCURO TEMPERATURA EXTERIOR DE DISEÑO
 TEMPERATURA INTERIOR DE DISEÑO DE 92°F
 - 20 GRADOS DE RANGO DIARIO
 - 2.19 GRADOS LATITUD SUR

OSICION					-		7	0	0			OLAK,		1.0	15	17	17	30	10	20	21	22	23	24
SOLAR	1	2	3	4	5	6	7	8	9	10	11	12	13	14	15	16			17					<u></u>
						PARE	D # 1		PESU	= 13	U LE		U =	.154	ETU/h	K-FT2	?~F			1 0.0 mg 100 NA 10				
N	16	16	15	15	15	15	16	17	17	18	19	23	20	20	20	20	26	19	18	18	17	17	10	1 Ú
NE	16	16	16	15	15	15	17	19	19	19	19	22	20	20	20	20	20	19	18	18	17	17	14	10
E	16	16	15	15	15	15	21	25	25	23	21	19	20	20	20	20	20	19	18	18	17	17	16	16
SE	16	16	16	15	15	15	21	25	26	25	24	19	20	20	20	20	20	19	18	18	17	17	16	10
S	16	16	16	15	15	15	18	19	20	21	22	19	20	20	20	20	20	19	18	18	17	17	16	10
SO	16	16	16	15	15	15	16	17	17	18	19	19	24	26	26	29	27	20	18	18	17	17	16	14
0	16	16	16	15	15	15	16	17	17	18	19	19	21	24	27	28	27	20	18	18	17	17	16	16
MO	16	16	16	15	15	15	16	17	17	18	19	22	20	20	21	22	22	19	18	18	17	17	16	16
				a 70,000 kg 00 0		PARE	ED # 2	2	FESC) = 88	LE		U =	.111	B1U/i	nk-FT	2-F							
N	12	11	11	11	11	11	12	12	12	13	19	17	14	15	15	15	14	14	13	13	12	12	12	12
NE	12	11	11	11	11	11	13	19	14	13	14	16	14	15	15	15	14	14	13	13	12	12	12	12
E	12	11	11	11	11	11	15	18	18	17	15	14	14	15	15	15	14	14	13	13	12	12	12	12
SE	12	11	11	11	11	11	15	18	19	13	17	14	14	15	15	15	19	14	13	13	12	12	12	12
S	12	11	11	11	11	11	13	14	15	15	16	14	14	15	15	15	14	14	13	13	12	12	12	12
\$0	12	11	11	11	11	11	12	12	12	13	19	14	17	19	20	21	19	14	13	13	12	12	12	12
0	12	11	11	11	11	11	12	12	12	13	14	14	15	17	19	20	19	14	13	13	12	12	12	12
NO	12	11	11	11	1:	11	12	12	12	13	14	16	14	15	15	16	16	14	13	13	12	12	11	12
						PAR	ED #	3	PES	0 = 8	3 LE		U =	.358	eTU/	HK-F7	[2 - F							
N	37	37	36	36	36	36	37	39	40	42	44	53	46	47	47	47	46	44	42	41	40	39	38	38
NE	37	37	36	36	36	36	41	44	44	43	44	50	46	47	47	47	46	44	42	41	40	39	38	33
E	37	37	36	36	36	36	48	57	58	54	49	45	46	47	47	47	46	44	42	41	40	39	38	38
SE	37	37	36	36	36	36	48	58	60	58	55	45	46	47	.47	47	46	44	42	41	40	39	38	38
S	37	37	36	36	36	36	41	45	48	50	51	45	46	47	47	47	46	44	42	41	40	39	38	38
SO	37	37	36	36	36	36	37	39	40	42	44	45	55	61	66	67	63	46	42	41	40	39	38	38
0	37	37	36	36	36	36	37	39	40	42	44	45	49	58	63	66	63	46	42	41	40	39	38	38
OM	37	37	36	36	36	36	37	39	40	42	44	50	46	47	50	51	51	45	42	41	40	39	38	38
						PA	ED #	4	PES	30 = 9	0 LB		U :	.415	s etu.	/HK- F	T2-F							
N	43	42	42	42	42	42	43	45	47	49	51	62	54	55	55	54	53	51	49	43	46	45	44	44
NE	43	42	42	42	42	42		51	51	50	51	58	54	55	55	54	53	51	49	48	46	45	44	44
E	43	42	42	42		42		67	67	63	57	52	54	55	55	54			49	48				44
SE	43	42		40		42	56	67	70	0.7	44	52	54	55	55	54	53	51	49	48	46	45	4 i	99
S	43	42				42	47	52	55	57	۵۵	52	54	55	55	54			47	70				
SO	43	42		42	42	42	43	45	47	49	11		64	71	70									
0	43	42		42	42	42	43	45	47	49	51	52	57	55										
NO	43	42		42	42	42	43	45	47	47	51	58	54	55	58	59	59	52	49	48	46	45	44	44

FUENTE: Tesis del Ing. G. Acosta, 1982

TABLA A-4

POSICION SOLAR, INTENSIDAD Y FACTOR DE GANANCIA SOLAR
PARA 2.19 GRADOS LATITUD SUR

v	TIEMFO	POSICION ALTITUD	AZIMUTH	IDN										TIENF
	SOLAR			EITIJ		F	ACTOR D	E GANAN	CIA SOL					SOLAR
FECHA	A.M	CKADOS	GRADOS	HR-FT2	И	NE	E	SE	0	SO	0	MO	HORIZON.	P.M
ENE . 21	7	8	70.2	89	4.5	30.	71.	72.	22.	4.5	4.5	4.5	9.4	5
	8	22	69.3	229	11.	68.	183	179	57.	11.	11.	11.	67.	4
	9	35.9	66.8	279.5	14.	63.	191	193	67.	14.	14.	14.	142	3
	10	49.4	61.3	302.9	15.	40.	149	105	71.	15.	15.	15.	212	2
	11	61,9	49.3	314.5	16.	19.	87.	121	73.	16.	16.	16.	254	1
	12	70.8	0	319.5	16.	16.	16.	54.	80.	16.	16.	10.	249	12
FEB.21	7	7.3	79.4	81.5	4.1	38.	53.	61.	10.	4.1	4.1	4.1	7.0	5
LEGILI	8	22.1	79.3	230	11.	99.	185	161	27.	11.	11.	11.	66.	4
	9	36.8	78.2	280.7	14.	98.	202	157	32.	14.	14.	14.	144	3
	10	51.4	75.4	303.6	15.	71.	153	137	33.	15.	15.	15.	217	2
	11	65.7	68.3	314.9	16.	36.	93.	91.	34.	16.	16.	16.	253	1
	12	78.3	0	319.8	16.	16.	16.	32.	45.	16.	16.	16.	201	12
MAR.21	7	8.7	89.6	118.3	6.0	72.	60.	73.	4.6	6.0	6.0	6.0	11.	5
I WW. + Z. I	8	23.6	89	246.6	12.	134	195	140	10.	12.	12.	12.	73.	4
	9	38.6	88.2	288.8	14.	125	203	136	12.	14.	14.	14.	153	3
	10	53.6	86.9	307.8	15.	91.	153	104	13.	15.	15.	15.	224	2
	11	68.6	84.2	317.1	16.	47.	84.	61.	14.	16.	16.	16.	248	1
	12	83.3	180	320.9	24.	19.	16.	16.	16.	16.	16.	19.	16.	12
AER - 21	7	10.1	167.9	147.9	104	109	18.	7.5	7.5	7,5	7.5	63.	7.5	5
	8	24.7	166.2	250.5	195	173	33.	12.	12.	12.	12.	90.	12.	4
	9	39.2	163.1	295.1	186	168	39.	14.	14.	14.	14.	73.	14.	3
	10	53.3	157.2	300.8	133	134	43.	15.	15.	15.	15.	41.	15.	2
	11	66.5	143.8	309.4	67.	88.	45.	15.	15.	15.	15.	13.	15.	1
	12	75.6	180	311.3	48.	32.	15.	15.	15.	15.	15.	32.	15.	12
MAY.21	7	10	159.3	150.7	117	117	35.	7.7	7.7	7.7	7.7	43.	7.7	5
	8	23.9	157	247	185	186	60.	12.	12.	12.	12.	57.	12.	4
	9	37.5	152.6	279.4	170	186	70.	11.	11.	11.	17.	10.	17.	3
	10	50.3	144.5	294.1	120	154	76.	15.	15.	15.	15.	17.	15.	2
	11	61.3	128.6	301.2	58.	109	79.	11.	15.	15.	15.	15.	15.	1
	12	67.6	180	303.8	81.	51.	15.	15.	15.	15.	15.	51.	15.	1
JUN-21	7	8.4	156	133.2	103	102	38.	8.8	6.8	8.8	6.8	32.	6.8	5
	8	22	153.6	240.8	178	186	71.	12.	12.	12.	12.	45.	12.	4
	9	35.2	149.1	275	166	193	83.	14.	14.	14.	14.	30.	14.	3
	10	47.5	140.9	290.2	119	165	89.	14.	14.	14.	14.	11.	14.	2
	11	57.9	126	297.6	60.	122	93.	13.	15.	15.	15.	15.	15.	1
	12	64	180	300.4	96.	60.	15.	15.	15.	15.	15.	60.	15.	1
					N	NO	0	SO	S	SE	ε	NL	HORIZON	. F.

(Cont.)

TABLA A-4

POSICION SOLAR, INTENSIDAD Y FACTOR DE GANANCIA SOLAR PARA 2.19 GRADOS LATITUD SUR

		FOSICIO	N SUITH											***
	TIEMFO SOLAK	ALTITUO	AZIMUTH	IDN ETU			FACTOR E	C Grissin	CIA SOL	Aa (ETI	J/HR-FT	2)		TIEN
EECHA	n.M	GRADOS	GRADUS	HEN-FTS	N	NE	E	SE	0	50	U	NU	HORIZUH.	F.M
FECHA	7	7.6	158.9	120	92.	93.	29.	6.1	6.1	6.1	6.1	39.	6.1	5
JL.21	6	21.5	156.9	238.2	181	182	55.	12.	12.	12.	12.	Si.	12.	4
	9	35.1	152.8	274.1	173	188	71.	14.	14.	14.	14.	91.	19.	3
	10	48	145.4	259.8	127	101	77.	14,	14.	14.	14.	18.	14.	2
	11	59.3	131.2	297.9	57.	117	86.	6.8	15.	15.	15.	15.	15.	1
	12	60.5	180	300.5	25.	53.	15.	15.	15.	15.	15.	53.	15.	12
		9	167.2	143,2	99.	105	18.	7.3	7.3	7.3	7.3	57.	7.3	S
AGO,21	7		165.6	249.9	194	174	33.	12.	12.	12.	12.	87.	12.	4
	8	23.0				170	40.	14.	14.	14.	14.	71.	14.	3
	9	38	152.5	283.4	187	137	43.	15.	15.	15.	15.	40.	15.	2
	13	52.1	156.7	298.3	135				15.	15.	15.	12.	15.	1
	11	65.2	143.8	305.5	09+	91.	45.	15.			15.	32.	15.	12
	12	74.6	180	309.3	50.	32.	15.	15.	15.	15.	10.	321		
SEP.21	7	12.2	89.5	177.9	9.1	105	110	197	5.4	9.1	9.1	9.1	22.	5
	8	27.2	88.8	204.0	13.	135	207	145	8.5	13.	13.	13.	91.	4
	9	42.2	87.9	295.1	15.	116	192	128	9.9	15.	15.	15.	169	3
	10	57.1	86.5	309.2	15.	77.	134	91.	10.	15.	15.	15.	232	2
	11	72.1	82.9	316	16.	35,	64.	47.	11.	16.	16.	15.	233	1
	12	86.4	180	319.4	13.	12.	16.	10.	16.	16.	16.	12.	16.	12
OCT, 21	7	14.5	79.8	187.8	9.6	85.	140	135	20.	9.6	9.6	9.6	31.	67
001763	8	29.2	79.2	266.7	13.	104	207	171	27 .	13.	13.	13.	103	4
	9	43.9	77.6	297.4	15.	85.	185	153	29.	15.	15.	15.	181	3
	19	58.4	73.4	312.1	16.	52.	125	112	30,	16.	16.	16.	241	2
	11	72.4	61.3	319.2	16.	20.	57.	54.	30.	16.	16.	10.	233	1
	12	81.7	0	321.4	15.	16.	10.	22.	30.	16.	16.	16.	162	1.
NÚV. Ž1	/	13,9	70.2	175	8.9	56.	140	140	42.	8.9	8.9	8.9	29.	5
NOT LEA	8	28	68.7	259.9	13.	69.	197	193	61.	13.	13.	13.	98.	4
	9	41.8	65.2	294.1	15.	54.	177	184	67.	15.	15.	15.	173	3
	10	55	57.6	310.7	15.	28.	122	147	70.	15.	15.	15.	234	2
	11	66.5	40.5	318.8	16.	16.	59.	98.	70.	16.	16.	16.	256	1
	12	72.4	0 .	321.4	16.	15.	16.	48.	71.	16.	16.	16.	242	1
DIC.21	7	11	66.6	135.7	6.9	37.	110	110	41.	6.9	6.9	6.9		5
210111	8	24.7	55.2	244	12.	57.	187	192	72.	12.	12.	12.	81.	4
	9	38.1	61.6	286	14.	46.	179	198	83.	14.	14.	14.		3
	10	50.8	54.4	306.1	15.	26.	131	148	87.	15.	15.	15.	219	2
	11	61.9	39.4	316.1	16.	16.	70.	121	89,	16.	16.	16.		1
	12	68.4	0	319.9	16.	16.	16.	61.	91.	16.	16.	16.	256	

FUENTE: Tesis del Ing. G. Acosta, 1982

TABLA A-5

GANANCIA DE CALOR POR PERSONAS

VALIDAS PARA:

- CONDICIONES DEL AMBIENTE ACONDICIONADO: 75°F BULBO SECO Y 50% DE HUMEDAD RELATIVA
- ESTATURA DE PERSONAS: 1.40 1.70 METROS
- PESO PROMEDIO DE PERSONAS: 70 KILOS

ACTIVIDAD	SENSIBLE	LATENTE	TOTAL
DESCANSANDO			
Durmiendo	339.11	121.79	460.90
Reclinado	339.11	124.64	463.74
Sentado-quieto	341.45	135.51	476.96
Parado-relajado	368.96	199.98	568.95
CAMINANDO			
A 2 MPH	368.96	222.75	591.71
A 3 MPH	368.96	239.82	608.78
A 4 MPH	383.07	302.81	685.88
DIFERENTES OCUPACIONES			
Panadería	341.45	163.96	505.41
Embotelladora	341.45	175.34	516.79
Serruchando con máquina	341.45	169.65	511.10
Serruchando a Mano	383.07	331.26	714.33
Armando	383.07	376.79	759.85
Usando martillo neumático	383.07	291.43	674.50
Hornos	383.07	393.86	776.92
Garajes	368.96	251.20	620.16
Trabajo de Laboratorio	341.45	158.27	499.72
Trabajo Mecánico Liviano	368.96	234.13	603.09
Trabajo Mecánico Pesado	383.07	322.73	705.79
Ventas	368.96	222.75	591.71
Profesor	341.45	152.58	494.03
Relojero	341.45	138.35	479.80
Conduciendo carro	341.45	149.73	491.18
Conduciendo vehículo pesado	383.07	285.74	668.81
Conduciendo avión	341.45	146.89	488.34
Conduciendo inst. de planeo	341.45	158.27	499.72
Conduciendo avión de combate	368.96	234.13	603.09
TRABAJO DOMESTICO			
Aseando casa	368.96	262.58	631.54
Cocinando	341.45	163.96	505.41
Lavando o planchando	368.96	268.27	637.23
Comprando	341.45	158.27	499.72

(Cont.) TABLA A-5

GANANCIA DE CALOR POR PERSONAS

ACTIVIDAD	SENSIBLE	LATENTE	TOTAL
TRABAJO DE OFICINA			
Escribiendo a máquina	341.45	146.89	488.34
Diferentes trabajos	341.45	144.04	485.49
Dibujando	341.45	144.04	485.49
ACTIVIDADES DE OCIO		•	
Bailando	368.96	291.03	659.99
Tennis	383.07	325.57	708.64
Squash	383.07	399.55	782.61
Basquetball	383.07	410.93	794.00

FUENTE: Tesis del Ing. G. Acosta, 1982.

TABLA A-6

DENSIDAD DE PERSONAS

(PERSONAS/1000 PIE2 O 100 M2 DE AREA DE PISO)

Cuartos de Pacientes	10					
Areas de Trabajo Médico	10					
Quirófanos y Salas de Parto	20					
Recuperación y Cuidados Intensivos	30					
Autopsias	20					
Areas de Terapia Física	20					
Aulas, Salones de Clase	50					
Laboratorios						
Bibliotecas	20					
Corredores	30					
Salas de Espera	30					
Sala de Usos Múltiples	50					
Oficinas	10					
Consultorios*	10					
Cuarto Oscuro*	25					
Cuartos de Computadora	10					
Gimnasios	30					
Comedor*	50					

(*) Obtenidas por criterio personal.

FUENTE: ASHRAE Handbook of Fundamentals, 1977.

TABLA A-7
TABLA DE ILUMINACION RECOMENDADA

LUGAR	LM/P2	BTU/HR-P2
JBRERIAS		
Lugar de Lectura	70	14.28
Repisas	30	6.12
Reparación de Libros	70	14.28
Chequeo de Catálogos	70	14.28
Kardex	100	20.40
GLESIAS	100	20.40
Altar	100	20.40
Público	15	
Púlpito	50	3.06
ORTE DE JUSTICIA	50	10.20
Area de Público	30	(10
Area de Publico Area de Jurados		6.12
OSPITALES	70	14.28
	100	00.40
Autopsias	100	20.40
Cuarto de Emergencias Cuarto de Exámenes	100	20.40
	50	10.20
Laboratorio	50	10.20
Cuarto de Pacientes	20	4.08
Cuarto de Recuperación	30	6.12
Quirófanos	200	40.80
Quirófanos Suplementarios	250	51.00
Cuarto de Espera	20	4.08
OTELES	7.0	
Dormitorios	10	2.04
Lobby	10	2.04
Lugar de Lectura	30	6.12
FICINAS	0.00	Q 52 S3.
Diseños-Dibujos	200	40.80
Administración	150	30.60
Trabajo Regular	7	1.43
Leyendo-Escribiendo	100	20.40
ESTAURANTES		
Area de Comida	50	10.20
Cajera	50	10.20
Ambiente Intimo	3	0.61
Cocina	70	14.28
EATRO	-	
En Intermedio	5	1.02
En Presentación	0.1	0.02
Lobby	20	4.08

(Cont.) TABLA A-7
TABLA DE ILUMINACION RECOMENDADA

LUGAR	LM/P2	BTU/HR-P2
COLEGIOS		
Leyendo Impresos	30	6.12
Leyendo Escritos a Lápiz	70	14.28
Leyendo Duplicados	100	20.40
Cuarto de Clases	150	30.60
Cuarto de Dibujo	100	20.40
Hall de Estudio	70	14.28
ALMACENES		
Areas de Circulación	30	6.12
Areas de Mercadería	30	6.12
Areas Self-Service	200	40.80
Cuarto de Almacenamiento	30	6.12

FUENTE: Tesis del Ing. G. Acosta, 1982.

TABLA A-8

RELACIONES GENERALES DE PRESION Y VENTILACION

PARA DIFERENTES AREAS DE HOSPITALES

Area	Presión	Minimos Cambios de aire exte- rior por hora al cuarto	Minimos Cambios de aire totales por hora al cuarto	Aire Extraído directamente al exterior	Recirculado dentro de las unidades de cuarto
Quirótano (100% aire exterior)	-1	15	15	SI	OM
Quirófano (sistema con recirculación)	+	5	25	OPCIONAL	ОИ
Cuarto de Recuper <u>a</u> ción	+	2	6	OPCIONAL	OM
Cuidados Intensivos	+	2	6	OPCIONAL	NO
Cuarto de Paciente	0	2	2	OPCIONAL	OPCIONAL
Corredor de Cuartos de Pacientes	0	2	4	OPCIONAL	OPCIONAL
Cuarto Aislado	0	2	6	SI	OM
Cuarto de Exámenes	0	2	6	OPCIONAL	OPCIONAL
Consultorio	+	2	4	OPCIONAL	OPCIONAL
Farmacia	+	2	4	OPCIONAL	OPCIONAL
Cuarto de Tratamiento	+	2	6	OPCIONAL	OPCIONAL
Rayos X,Fluorescopia	-	2	6	SI	NO
Rayos X, Cuarto Trat.	0	2	6	OPCIONAL	OPCIONAL
Terapia física e h <u>i</u> droterapia	-	2	6 .	OPCIONAL	OPCIONAL
Autopsias	-	2	12	SI	NO
Cuarto Oscuro	_	2	10	OPCIONAL	0/1
Laboratorio(General)	-	2	6	OPCIONAL	OPCIONAL
Laboratorio (Media transfer.)	+	2	4	OPCIONAL	Ott
Areas Generales		2 (Opcional	10		

NOTAS GENERALES

- Las unidades de recirculación deben tener los filtros adecuados para las áreas sensitivas.
- Las cantidades de aire exterior para sistemas centrales que usan recirculación y sirven a más de un área, deben determinarse sumando los requerimientos individuales de cada área. Esto no se aplica a áreas sensitivas como quirófanos, cuartos de recuperación, cuidados intensivos y salas de parto.
- Para máxima conservación energética, el uso de aire recirculado es preferido.
- Todos los sistemas de suministro y extracción, deben ser operados mecánicamente.
- Las relaciones de presión se obtienen removiendo un 10% menos del aire de mando para cuartos con presión positiva (+) y removiendo un 10% más del aire de mando, para cuartos con presión negativa (-). Para quirófanos, remueva un 15% menos.

FUENTE: ASHRAE Handbook of Applications, 1982.

TABLA A-9

FACTOR DE CARGA SENSIBLE PARA ARTEFACTOS SIN CAMPANA

HDRAS TOTALES	HORAS DESPUES DE QUE LOS ARTEFACTOS SON PRENDIDOS																							
DENTRO ESPACIO	1	2	3	4	5	6	7	8	9	10	11	12	13	14	15	16	17	18	19	20	21	22	23	24
2	,56	.69	.15	,11	.08	.07	.06	.05	.04	.04	.03	.Ú3	+02	.02	.02	.02	.01	.01	.01	.01	.01	.01	,01	.01
4	.57	, 65	.71	.75	.23	.18	.14	. 12	.12	.10	.08	+07	.06	.05	.05	.04	+04	•03	.03	•02	.02	.02	.01	.01
ć	,57	,65	.71	.76	.79	.82	.29	+22	.18	.15	.13	.11	.10	.08	.07	+06	.06	.05	.04	.04	.03	.03	.03	.02
8	.58	,66	.72	.76	.80	.82	.85	.87	+33	.26	•21	.18	.15	.13	.11	.10	.09	.03	.07	• 06	.05	+04	.04	.03
10	.60	.68	.73	.77	.81	.83	.85	.87	.89	.90	<u>،</u> 36	.29	.24	.20	.17	.15	.13	,11	.10	.08	.07	.07	.06	.05
12	,62	.69	.75	.79	.82	.84	.86	.88	.89	.91	+92	,93	•38	.31	,25	.21	.18	.16	.14	+12	.11	.09	.03	.07
14	+64	.71	.76	.80	.83	.85	.87	.89	.9b	•92	.93	• 93	.94	, 95	.40	.32	•27	,23	.19	. 17	.15	. 13	.11	10
16	, 67	.74	.79	.82	.85	.87	.89	.90	,91	,92	.93	.94	.95	.96	.96	, 97	.42	.34	.28	,24	.20	.18	.15	i .13
18	,71	78	.82	. 85	. 87	.89	.90	.92	.93	.94	,94	+95	.96	.96	· 97	•97	•97	.98	.43	•30	+29	+24	.21	1 .1

FUENTE: Tesis del Ing. G. Acosta, 1982.

TABLA A-10

PROPIEDADES FISICAS DE TUBERIA SIN COSTURA ASTM A53, CEDULA 40

Fuente: Piping Design and Engineering, 1981.

APENDICE B

PROGRAMA DE CALCULO DE CARGA PARA
EL 21 DE DICIEMBRE EN GUAYAQUIL

```
10 ACM PROGRAMA FARE CALCULO DE CARGA FOR EL METODO DE LA TEMPERATURA EDUTVALENT
E BASADO EN LAS CONDICIONES DE GUAYAQUIL PARA EL 21 DE DICIEMBRE ENTRE LAS 7 Y L
AS 17 HURAS
TO KEM ESTE PROGRAMA FUE HECHO POR FRANCISCO RUMAY EN BASE A LA TESIS DEL ING. 6
USTAVO ACOSTA
30 OPITUN BASE 1
40 DIM DDFE1(1/), DDTE2(17), DDTE3(8,17), FD6S(9,17)
50 DEF ENEIX) = INT (x+100+,5)/100
60 FUE 1=7 10 17
TO HEAD DUTEL(1)
BU READ DD(E2(1)
90 BB18 14,11,19,14,25,19,31,23,34,25,35,26,35,26,34,25,31,23,25,19,19,14
100 NEXT 1
110 FUR J=1 10 6
120 Füh K=7 10 17
130 READ DDIE3(J,K)
140 NEXT K: NEXT J
150 Dala 43,45.47,49,51,62,54,55,55,54,53,47,51,51,50,51,58,54,55,55,54,53
160 PHIA 56,67,67,63,57,52,54,55,55,54,53,56,67,70,67,64,52,54,55,55,54,53
1/0 Data 4/,52,55,5/,60,52,54,55,55,54,53,43,45,4/,49,51,52,64,71,76,78,73
180 DHTH 43,45,47,49,51,52,57,65,73,76,73,43,45,47,49,51,58,54,55,58,59,59
198 FOR L=1 1U 9
200 FUE M=7 TO 17
210 READ FDGS (L.M)
220 DHTA 6.9,12,14,15,16,16,16,15,14,12,6.9,37,57,46,26,16,16,16,15,14,12,6.9
230 DATA 110,187,179,131,70,16,16,15,14,12,6.9,110,192,198,168,121,61,16,15,14
 240 DATA 12.6.9,11,72,83,87,89,91,99,87,83,72,41,6.9,12,14,15,16.15,101.160.100
250 0614 192,110,6.9,12,14,15,16,16,70,131,179,187,110,6.9,12,14,15,16,16,16,26
 200 NEXT M: NEXT L
 270 DATA 46,57,37,18,81,154,219,255,256,255,219,154,81,18
 280 INPUT "A CUANTAS SECCIONES SE VA A CALCULAR"; W
 190 CLS
 300 @1=0:U2=0:U3=0:U54=0:0L4=0:05=0:0S6=0:QL6=0
 310 Q7=0:08=0:Q9=0:QS10=0:QS11=0:QS12=0:QL12=0
 320 INPUT "NUMBRE DE LA SECCION"; SEC$
 330 INFUT "HERA DE DISEZO";H
 340 INPUT "AREA DE PISO EN M2"; AT
 350 AIP=10.76*A1
 TOU INPUT "LE DA EL SOL AL TECHO (S/N)"; R$
 370 IF RIND"S" AND RICE"N" THEN 360
 380 IF R$="N" THEN 450
 390 INPUT "TIENE EL TECHO TUMBADO SUSPENDIDO"; F$
 ADD IF PARTY HAD PARTY THEN 390
 410 IF P$="N" THEN 440
 420 Q1=.093*A1F*DDTE2(H)
 430 GUTO 450
 440 01=.126*A1F*DD1E1(H)
 450 INPUT "A CUANTAS PAREDES LES DA EL SOL";X
 Acc FUR Y=1 TO X
 470 INPUT "SELECCIONE LA ORIENTACION DE LA PARED SI N=1,NE=2,E=3,SE=4,S=5,S0=6.0
```

```
=7.NO=8":081
480 INPUT "AREA DE PARED EXTERIOR EM M2"; A2(Y)
490 02(Y)=10.76*.415*A2(Y)*DD1E3(URL,H)
500 02=02+02(Y)
510 NEXT Y
520 INPUT "A LUANTAS FACHADAS LES DA EL SOL"; XI
530 FOR YI=1 TO X1
540 INTUI "SELLECTURE EA ORIENTACION DE EN FACHADA SI Nº1, NE-2, E-3, SE-4, S-5, SU-0
.0=7.NO=8.HUR17.=9";F
550 INPUL "AREA DE FACHADA EN M2"; A3(Y1)
560 Q3(Y1)=10.76*A3(Y1)*(FDG5(F,H)+1.13*17)
570 03=03+03(Y1)
580 NEXT YI
590 INPUT "BENSIDAD DE PERSONAS (PERSOFIEZ)"; D
BOU INFUT "EALUR SENSIBLE (BTU/H)"; CS
SIO INFUT "CALOR LATENTE (BTU/H)";CL
570 NP=A1P+D
530 US4-NF*CS:UL4=NF*CL
540 INFUL "ILUMINACION (BIU/H-PIE2)"; ILUM
OTO BE-AIPAILUM
880 INPUT "SE CONSIDERA CARBA POR VENTILACION (5/N)";⊕$
670 IF 010 "S" AND U1 7"N" THEN 660
680 INPUT "AIRE EXTERIOR POR AREA (AR) O POR PERSONA (PE)"; S$
175 Hahi " - F - T 170 170
700 IF S$ . "PE" THEN 680
710 INPUT "CFM/PERSONA"; CFMP:GOTO 750
720 INPUT "CAMBIOS POR HORA"; CPH
730 INPUT "ALTURA ENTRE PISO Y LOSA EN METROS"; ALT
740 AE=A1P*CPH*ALT*3.28/60:60T0 760
750 AE=CFMP*NP
750 IF W#="N" THEN 780
770 QS6=18.7*AE:QL6=48.1*AE:GOTO 790
780 QSo=0: UL6=0
790 INFUI "AREA DE PAREDES INTERIORES EN M2"; A4
800 97=10.75*84*.415*12
810 INPUT "AREA DE VIDRIOS INTERIORES EN M2"; A5
820 Q6=10.76*A5*1.13*12:CLS
830 IF R$="S" THEN 850
840 09-A1P*1.5:CLS
850 PRINT "GANANCIA POR EQUIPOS" :PRINT :PRINT
860 FRINI "1.-OFICINAS GENERALES"
820 PRINT "2. OFFCINAS CUN TERMINALES DE COMPUTADORA"
880 PRINT "3.-DEPARTAMENTOS DE COMPRAS Y COBRANZAS"
840 FRINT "4. - AREA DE COMPUTADOR"
900 PRINT "5. -EQUIPOS DE LABORATORIO EN GENERAL"
 910 PRINT "5. NINGUNU DE LOS ANTRIORES": PRINT
 920 INPUT "SELECCIONE UNA DE LAS ALTERNATIVAS ANTERIORES (1-6)"; Z
 930 ON 2 GOTU 940.950.960.970,980,990
 940 US10=A1P*4:60IU 99J
 950 US10-61P*15:6UID 790
```

```
950 US10=A1F#/:501U 990
970 US10-AIF*125:6010 990
980 USIO=AIP*50:GOTO 990
THING: THING OFF
TODO INPUT "FIENE EL AMBIENTE EQUIPUS MUVIDOS POR MOTORES ELECTRICOS (S/N)";M$
1010 IF M#<>"S" AND M#<>"N" THEN 990
1020 IF M$()"S" THEN 1070
1030 INPUT "HP DE PLACA";HP
1040 INPUT "EFTETENCIA"; EFTC
1050 INPUT "FACTOR DE CARGA SENSIBLE (ASHRAE)";FCS1
1050 DS11=HP*FCS1*2545/EF1C
1070 PRINT: PRINT
1080 INFUL "CONSIDERA ALGUN EQUIPO EN ESPECIAL (5/N)";E$
 1090 IF E$⊖"S" HND E$+ . "N" THEN 1070
 1100 IF E$="N" THEN 1150
 1110 INPUT "CALOR SENSIBLE (BTU/H)"; CS1
 1120 INPUT "CALOR LATENTE (BTU/H)";CL1
 1130 INPUT "FACTOR DE CARGA SENSIBLE";FCS2
 1140 GS12=CS1*fCS2:QL12=CL1
 1150 PRINT: PRINT: INPUT "CORRIGE (S/N)";C$
 1100 H C4="S" THEN 290
 1170 IF C$()"N" THEN 1150
 1150 @ST=01+02+03+054+05+05+07+08+09+0510+0511+0512
 1190 QLT=QL4+QL6+QL12
  1200 QT=QST+QLT
  1210 SET0=051/01
  1220 LPRINT CHR#(27); "W"; CHR#(1); CHR#(27); "E"; "CALCULO DE CARGA MAXIMA"
  1230 LPRINT
  1240 LPRINT "Seccion:";CHR$(27);"F";CHR$(27);"W";CHR$(0);SEC$
  1250 LPRINT : LPRINT
  1260 LPKINT "AREA IN METROS CUADRADOS.....="FNR(A1)
  1270 LPRINT
  1280 LPRINT "AIRE EXTERIOR EN CFM.....="FNR(AE):LPRINT
  1290 LPRINT "NUMERO DE PERSONAS ESTIMADAS.....="INT(FNR(NF)):LP
  1300 LPRINT "CARBA PUR TECHO (MBTU/H).....="FNR(Q1/1000):LP
  RINT
  1310 LPRINT "CARGA POR PAREDES EXTERIORES.....="FNR(Q2/1000):LP
  RINT
   1320 LPRINT "CARGA POR FACHADAS EXTERIORES.....="FNR(Q3/1000):LP
   1330 LPAINT "CARGA SENSIBLE DE PERSONAS.....="FNR(QS4/1000):L
   FRINT
   1340 LPRINT "CHREA LATENTE DE PERSONAS.....="FNR(QL4/1000):L
   1350 LPRINT "CARGA POR LUCES.....="FNR(U5/1000):LP
   1360 LPRINT "CARGA POR VENTILACION SENSIBLE.....="FNR(QS6/1000):L
   FRINI
```

BIBLIOGRAFIA

- 1. ACOSTA GUSTAVO; Desarrollo del Sistema de Cálculo de Carga por el Método de Temperatura Equivalente (o Método de los Factores) y Applicaciones a Nuestro Medio; Tesis de Grado; ESPOL; 1982; Págs. 39 a 41, 58, 59, 69 a 73, 84 a 87, 95 a 99, 123, 130, 135, 136, 138, 141 a 144.
- 2. AMERICAN HOSPITAL ASSOCIATION; Manual de Ingeniería de Hospitales; Limusa; Méjico; 1976; Págs. 177 a 182, 186 a 204, 211 a 229, 260 a 266.
- 3. ASHRAE; ASHRAE Handbook of Fundamentals; Ashrae; USA; 1977; Págs. 21-13 a 21-21, 19-1 a 19-8, 22-8.
- 4. ASHRAE; ASHRAE Handbook of Fundamentals; Ashrae; USA; 1981; Págs. 26-1 a 26-34, 34-1 a 34-3.
- 5. ASHRAE; ASHRAE Handbook of Applications; Ashrae; USA; 1982; Págs. 3-2, 3-3, 7-1 a 7-12, 14-1 a 14-3.
- 6. ASHRAE; ASHRAE Handbook of Equipment; Ashrae; USA; 1979; Págs. 18-1 a 18-13, 30-1 a 30-10, 33-1 a 33-16.
- 7. ASHRAE; ASHRAE Handbook of Systems; Ashrae; USA; 1984; Págs. 3-1, 3-2, 7-4, 7-5, 10-1 a 10-13, 34-1 a 34-20, 42-1 a 42-8.
- 8. ASHRAE; Energy Conservation in New Building Design; Ashrae; USA; 1980; Págs. 32, 33, 34.

- 9. BELL & GOSSETT; Heat Exchangers: Application and Installation; Boletín TEH-265; Bell & Gossett; USA; 1984; Págs. 10 a 17.
- 10. BELL & GOSSETT; Pump and System Curve Data for Centrifugal Pumps. Selection and Application; Boletín TEH-375; Bell & Gossett; USA; 1984; Págs. 3 a 10.
- 11. Cámara de la Construcción de Guayaquil; Boletín Informativo; No. 24; Guayaquil; Marzo/Abril 1984; Págs. 31, 32.
- 12. CHURCH JAMES; Practical Plumbing Design Guide; McGraw Hill; USA; 1979; Págs. 4-65 a 4-78.
- 13. DANISH CHRIS; Pipe Insulation Choices; Revista HPAC; USA; Octubre 1983; Págs. 81 a 84.
- 14. ITT Grinell Industrial Piping; Piping Design and Engineering; ITT Grinell Industrial Piping; USA; 1981; Págs. 82, 83, 103, 104.
- 15. Joint Venture of Building Systems Development and Stone, Marraccini y Patterson; VA Hospital Building System; U.S. Government Printing Office; Washington DC; 1977; Págs. 1-189, 1-197 a 1-200.
- 16. KHASHAB A.M.; Heating. Ventilating and Air Conditioning Systems Estimating Manual; McGraw Hill; USA; 1977; Págs. 23 a 27, 65, 43 a 47, 50 a 52.
- 17. McGUINNESS, STEIN, REYNOLDS; Mechanical and Electrical Equipment for Buildings; John Wiley & Sons; USA; 1980; Págs. 380 a 420.
- 18. McQUISTON, PARKER; Heating, Ventilating and Air Conditioning, Analysis and Design; John Wiley and Sons; USA; 1982; Págs. 60 a 65, 185 a 252, 255 a 285, 288 a 327.

- 19. MILLER RALPH; Valves: Selection, Specification and Application; Revista HPAC; USA; Octubre 1983; Págs. 99 a 118.
- 20. PEFLEY, NEWMAN; Mechanical Engineering License Review; Engineering Press Inc.; USA; 1980; Págs. 299 a 352.
- 21. REAY D.A.; Heat Recovery Systems; E & F.N. Spon; USA; 1979; Págs. 179 a 215.
- 22. WESTHINGHOUSE; Templifier Heat Pump Files; Westinghouse; USA; TAP 1-006A 3/82, TAP 2-001 12/82, TAP 2-002 4/78, TAP 4-001 5/80, TAP 4-005 1/79, TAP 4-009B 4/77, TAP 4-009G 12/82, TAP 4-014A 11/80, TAP 4-019 9/81, TAP 4-022 8/80 y TAP 4-026 3/81.
- 23. BELL & GOSSETT; Type "SU" Heat Exchangers, Boletin C-120.1; Bell & Gossett; USA; 1984.
- 24. EVAPCO; Closed Circuit Evaporative Coolers; Boletín 202-A; EVAPCO; USA; 1983.
- 25. McQUAY; Centrifugal Dual Compressor Packaged Water Chillers; Catá logo 960-2; McQUAY; USA; 1984.
- 26. McQUAY; Heat Recovery Water Heaters (Templifier); Catálogo 1200; McQUAY; USA; 1982.